



ใบรับรองวิทยานิพนธ์

บัณฑิตวิทยาลัย มหาวิทยาลัยเกษตรศาสตร์

วิศวกรรมศาสตร์บัณฑิต (วิศวกรรมคอมพิวเตอร์)

ปริญญา

วิศวกรรมคอมพิวเตอร์

สาขาวิชา

วิศวกรรมคอมพิวเตอร์

ภาควิชา

เรื่อง หลักวิธีการปรับปรุงและวิเคราะห์ภาพริ้วแสงสำหรับการสร้างภาพสามมิติ

Method of Image Enhancement and Analysis of Fringe Projection Display for
3D Reconstruction

นามผู้วิจัย นายศศิน เที่ยนดี

ได้พิจารณาเห็นชอบโดย

อาจารย์ที่ปรึกษาวิทยานิพนธ์หลัก

(ผู้ช่วยศาสตราจารย์จเร เลิศสุดวิชัย, Ph.D.)

อาจารย์ที่ปรึกษาวิทยานิพนธ์ร่วม

(อาจารย์จันทร์จริรา สินธนา โยธิน, Ph.D.)

อาจารย์ที่ปรึกษาวิทยานิพนธ์ร่วม

(อาจารย์ศรัณย์ ส้มฤทธิ์เดชชจร, Ph.D.)

หัวหน้าภาควิชา

(ผู้ช่วยศาสตราจารย์กุชชก อุทโยกาศ, Ph.D.)

บัณฑิตวิทยาลัย มหาวิทยาลัยเกษตรศาสตร์รับรองแล้ว

(รองศาสตราจารย์กัญจนा ธีระกุล, D.Agr.)

คณบดีบัณฑิตวิทยาลัย

วันที่ เดือน พ.ศ.

สิงหาคม ๒๕๖๗

วิทยานิพนธ์

เรื่อง

หลักวิธีการปรับปรุงและวิเคราะห์ภาพริ้วแสงสำหรับการสร้างภาพสามมิติ

Method of Image Enhancement and Analysis of Fringe Projection Display for 3D Reconstruction

โดย
นายศศิน เทียนดี

เสนอ

บัณฑิตวิทยาลัย มหาวิทยาลัยเกษตรศาสตร์
เพื่อความสมบูรณ์แห่งปริญญาวิศวกรรมศาสตรบัณฑิต (วิศวกรรมคอมพิวเตอร์)
พ.ศ. ๒๕๕๔

สิงหนาท นิตาวิทยาลัยเกษตรศาสตร์

คศิน เที่ยนดี 2554: หลักวิธีการปรับปรุงและวิเคราะห์ภาพรีวีและสำหรับการสร้างภาพสามมิติ
ปริญญาศึกกรรมศาสตรมหาบัณฑิต (วิศวกรรมคอมพิวเตอร์) สาขาวิชกรรมคอมพิวเตอร์ ภาควิชา
วิศวกรรมคอมพิวเตอร์ อาจารย์ที่ปรึกษาวิทยานิพนธ์หลัก: ผู้ช่วยศาสตราจารย์จร. เลิศสุดวิชัย, Ph.D.
91 หน้า

การถ่ายภาพรีวีและดิจิตอล โดยใช้เครื่องถ่ายภาพแบบกล้องเหลวเป็นเทคนิคที่ใช้อย่างกว้างขวาง
สำหรับข้อมูลภาพสามมิติ ภาพรีวีและถ่ายภาพด้วยเครื่องถ่ายภาพแบบกล้องเหลว และใช้เทคนิคดิจิตอลเพื่อ
เชิงตัวแทนสำหรับวิเคราะห์รีวีและถ่ายภาพซึ่งมีความสำคัญต่อการสร้างภาพสามมิติ งานวิจัยนี้ทำการศึกษาและ
นำเสนอหลักวิธีการปรับปรุงและวิเคราะห์ภาพรีวีและถ่ายภาพสำหรับการสร้างภาพสามมิติใน 2 ปัญหา คือ แก้ไขปัญหา
สกรีนคอร์เรอเฟกและแก้ไขปัญหาความผิดพลาดของค่าแกมมาไม่เป็นเช่นเดือนของเครื่องถ่ายภาพแบบกล้อง
เหลว

ปัญหาแรก งานวิจัยนี้นำเสนอวิธีการปรับเปลี่ยนสีให้อยู่ในจุดไฟกัส ซึ่งปรับได้ยากกว่าการทำการ
เดือนออกจากจุดไฟกัส โดยอาศัยการสังเกตเห็นลายตามข้อของสกรีนคอร์เรอเฟกที่ชัดเจน วิธีการนี้ภาพรีวีและ
จะมีความคมชัด และได้ทำการทดลองเบื้องต้นเพื่อแยกสัญญาณรบกวนลายตามข่ายออกด้วยการแปลงข้อมูลภาพ
ด้วยฟูเรียร์ พนับว่ามีความยาก ขับช้อนและใช้เวลามาก จึงได้นำเสนอเทคนิคดิจิตอลเพื่อแก้ไขปัญหา
ปรับปรุงภาพรีวีและถ่ายภาพซึ่งมีความรวดเร็วและง่ายกว่าการแปลงฟูเรียร์ อีกทั้งให้ภาพผลลัพธ์ที่ดีและสะดวกต่อการ
ประยุกต์ใช้งาน ปัญหาที่สอง เป็นมาจากแกมมาไม่เป็นเช่นเดือนของเครื่องถ่ายภาพแบบกล้องเหลว ทำให้ภาพ
สามมิติมีพื้นค่าเป็นรีวัคลีน งานวิจัยนี้ได้นำเสนอขั้นตอนวิธีการชดเชยค่าเฟก โดยอาศัยบริเวณพื้นหลังที่เป็น
ระนาบของข้อมูลภาพในแนวแกน y และภาพไม่มีการบิดเบือน ดำเนินการนำค่าเฟลจจิ่งที่บันทึกไว้ในอุปกรณ์ที่
คิดที่คำนวณจากสมการคณิตศาสตร์และสร้างเป็นตารางคืนหา ลดลงนำค่าความกว้างของค่าเฟลจจิ่งมาคำนวณ
ตารางคืนหาดังกล่าวทำให้ได้ค่าเฟลจจิ่งที่ลดลงและสร้างตารางคืนหาสำหรับใช้ชดเชย ได้ภาพสามมิติที่สมจริง วิธีการนี้ไม่ต้องปรับแต่งค่าแกมมาของ
เครื่องถ่ายภาพกล้องเหลว อีกทั้งเป็นการคำนวณแบบเวลาจริงและไม่ขึ้นกับเครื่องถ่ายภาพดิจิตอลหรือกล้อง
ดิจิตอล

ดังนั้นจากการแก้ปัญหาที่สองอย่างที่ได้นำเสนอในงานวิจัยนี้ การแก้ไขภาพรีวีและถ่ายภาพที่ถูกแทรกซ่อน
ด้วยสกรีนคอร์เรอเฟก ได้ถูกลบออกไปจากข้อมูลภาพได้ดีซึ่งให้ค่า SNR ของภาพผลลัพธ์ที่ดีขึ้นกว่าภาพ
ต้นฉบับเกือบทั้งหมด และส่วนของการแก้ไขปัญหาแกมมาไม่เป็นเช่นเดือนทำให้ภาพรีวีลีนหายไปและได้
ภาพสามมิติที่สมจริงพร้อมทั้งค่าช่วงที่บ่งชี้ความรวมเรียบมีค่าลดลง

Sasin Tiendee 2011: Method of Image Enhancement and Analysis of Fringe Projection Display for 3D Reconstruction. Master of Engineering (Computer Engineering), Major Field: Computer Engineering, Department of Computer Engineering. Thesis Advisor: Assistant Professor Charay Lerdsudwichai, Ph.D. 91 pages.

Digital fringe projection using a digital LCD (Liquid Crystal Display) projector is a technique used extensively for 3D surface reconstruction. Fringe pattern images which are projected by digital LCD projector and generated by spatial phase shifting are important procedures of the 3D surface reconstruction. Two major problems of LCD projector namely screen door effect and nonlinear gamma effect are addressed in this research.

First issue, this research proposed how to adjust the lens to the focal point. This could be easily achieved by moving out the focus until the screen door effect patterns are clearly observed. After this method was applied, fringe pattern image appeared to have high contrast. A preliminary experiment was conducted to isolate the net interference pattern by applying Fourier Transform to the image data which had disadvantages of difficulty and time consuming. Therefore, this work presented the technique which used wavelet transform to improve fringe pattern image. This proposed technique is faster and easier than the conversion Fourier Transform method. The result images are also better with the proposed method. Second issue, the problem of the nonlinear gamma effect that causes strips on 3D surface is studied. This research presented an algorithm to compensate phase based on background of the image plane along the y-axis, without image distortion. Firstly, the real phase was compared to the ideal phase which was calculated from the mathematical equations and created a look up table. Next, the width of the actual phase could be search from the table for matching the ideal phase value quickly. Then, the phase difference between the actual and the ideal phase was determined to create a search table for compensation. Finally, the results as 3D surface were shown. As the proposed method doesn't need to adjust the gamma, therefore the calculation is in real-time and does not depend on digital projectors or cameras.

In conclusion, two problems were solved in this study. The Screen Door Effect was removed from the image data as well as the image showed better results than the original image almost doubled. Also the problem of nonlinear gamma that caused the image stripe was disappeared and provided the realistic 3D images as well as the range that indicates the smoothing was reduced.

Student's signature

Thesis Advisor's signature

กิตติกรรมประกาศ

วิทยานิพนธ์ฉบับนี้สำเร็จลุล่วงไปได้อย่างดี เพราะได้รับความเมตตากรุณาจาก
ผู้ช่วยศาสตราจารย์ ดร. เจร เลิศสุคิรชัย อาจารย์ ดร. จันทร์จิรา สินธนา โภชิน และ
อาจารย์ ดร. ศรัณย์ สัมฤทธิ์เดชาจร ที่ได้ให้คำแนะนำ กำปรึกษาให้กับผู้วิจัย และขอบคุณ
สถาบันการศึกษาเป็นระยะมาโดยตลอด ผู้วิจัยขอกราบขอบพระคุณเป็นอย่างสูง

ขอกราบขอบพระคุณ ผู้ช่วยศาสตราจารย์ ดร. สมหญิง ไวยนimit อาจารย์ผู้ประสิทธิ์
ประสาทวิชาให้กับผู้วิจัยและได้ให้คำปรึกษา คำแนะนำเป็นอย่างดีมาโดยตลอด และขอกราบ
ขอบพระคุณ ผู้ช่วยศาสตราจารย์ ดร. ฐิติวรรณ ศรีนาค และอาจารย์ ดร. ดวงรัตน์ แก่นสวัสดิ์ ที่ได้
ให้คำแนะนำและความกรุณาในการตรวจสอบและแก้ไขวิทยานิพนธ์จนกระทั่งเสร็จสมบูรณ์

ขอกราบขอบพระคุณ คุณบิดา นารดา และบุคคลในครอบครัวที่ได้ส่งเสียงให้ผู้วิจัยได้รับ¹
การศึกษาเล่าเรียนจนลึกลงอุดมศึกษา พร้อมทั้งอบรมสั่งสอนให้บุตรเป็นบุคคลที่ดีของสังคม
และเคยเป็นกำลังใจ เป็นที่ปรึกษาที่ดีให้กับผู้วิจัย รวมทั้งคณาจารย์ภาควิชาวิศวกรรมคอมพิวเตอร์
ทุกท่านที่ได้ประสิทธิ์ประสาทวิชา อบรมสั่งสอน ให้ความเอื้อเฟื้อแก่ผู้วิจัยจนกระทั่งได้สำเร็จ
การศึกษาระดับปริญญาวิศวกรรมศาสตรมหาบัณฑิต

กราบขอบพระคุณ สถาบันบัณฑิตวิทยาศาสตร์และเทคโนโลยีไทย (TGIST) สำนักงาน
พัฒนาวิทยาศาสตร์และเทคโนโลยีแห่งชาติ (NSTDA) ที่ให้การสนับสนุนทุนวิจัยและทุนการศึกษา

ขอขอบคุณ พี่น้อง (นลพรวย) พิริน (ศรินทร์) พิพิพย์ (กรรณพิพย์) และพี่ๆ ทุกท่าน ที่หน่วย
ปฏิบัติการวิจัยเทคโนโลยีภาพ (IMG) ศูนย์เทคโนโลยีอิเล็กทรอนิกส์และคอมพิวเตอร์แห่งชาติ และ
พี่ๆ ทุกท่านของโครงการบัณฑิตศึกษา ภาควิชาวิศวกรรมคอมพิวเตอร์ มหาวิทยาลัยเทคโนโลยีราชมงคล
ที่ได้ให้คำแนะนำ คอยให้กำลังใจ และอำนวยความสะดวกตลอดมา

ขอขอบคุณพี่ๆ เพื่อนๆ น้องๆ ทุกคนในภาควิชาวิศวกรรมคอมพิวเตอร์ ที่เป็นกำลังใจและ
ให้ความช่วยเหลือ คำปรึกษา และเป็นเพื่อนที่ดีแก่ผู้วิจัยด้วยดีเสมอมา

ศศิน เทียนดี

มกราคม 2554

สารบัญ

หน้า

สารบัญ	(1)
สารบัญตาราง	(2)
สารบัญภาพ	(3)
คำนำ	1
วัตถุประสงค์	4
การตรวจสอบสาร	6
อุปกรณ์และวิธีการ	22
อุปกรณ์	22
วิธีการ	22
ผลและวิจารณ์	53
ผล	53
วิจารณ์	77
สรุปและข้อเสนอแนะ	80
สรุป	80
ข้อเสนอแนะ	84
เอกสารและสิ่งอ้างอิง	87
ประวัติการศึกษาและการทำงาน	91

สารบัญตาราง

	ตารางที่	หน้า
1	การตรวจแก้ค่าเฟสโดยการมอดูลอด้วยค่า 2π	13
2	การเปรียบเทียบวิธีการแก้ไขปัญหาแกมมาไม่เป็นเชิงเส้น	18
3	รายชื่อเวฟเล็ตฟังก์ชันที่นิยม	31
4	เวฟเล็ตฟังก์ชัน 10 อันดับแรกที่มีค่าเบี้ยงเบนมาตรฐานจากน้อยไปมาก	34
5	การเปรียบเทียบกระบวนการระหว่างการแปลงฟูเรียร์และการแปลงเวฟเล็ต	80
6	สรุปเวลาที่ใช้ในการคำนวณของแต่ละขั้นตอน	83

สารบัญภาพ

ภาพที่	หน้า
1 ภาพรวมระบบเทคนิควิธีการรับรูปภาพสามมิติ (Stereo Vision Technique)	7
2 ภาพรวมระบบเทคนิควิธีการกราดวิเคราะห์เส้นเดียว (Single Line Scanning Technique)	7
3 ภาพรวมระบบเทคนิควิธีไทม์อฟไฟล์ท (Time of Flight Technique)	8
4 ภาพรวมระบบเทคนิควิธีเข้ารหัสโครงสร้างแสง (Encoded Structured Light Technique)	8
5 ภาพรวมระบบเทคนิควิธีฉายริ้วแสงรูปไซน์ (Sinusoidal Fringe Projection Technique)	9
6 ภาพรวมของขั้นตอนวิธีการสร้างภาพสามมิติโดยใช้เทคนิควิธีการฉายริ้วแสงรูปไซน์	14
7 ตัวอย่างโมเดลฟันปุ่นปลาสเตอร์ที่มีลักษณะลายตามข่ายสี่เหลี่ยมของปรากฏการณ์สกринดอร์เอฟเฟค (Screen Door Effect) และรักษาอนุญาติ	15
8 ลักษณะข้อมูลภาพ 4 ภาพที่มีค่าแกรมมาไม่เป็นเชิงเส้น	16
9 ลักษณะข้อมูลภาพ 4 ภาพที่มีค่าแกรมมาเป็นเชิงเส้น	16
10 ข้อมูลภาพสามมิติเกิดริ้วคลื่นขึ้นเนื่องมาจากแกรมมาไม่เป็นเชิงเส้น	16
11 วิธีการแยกองค์ประกอบด้วยเวฟเล็ต (Wavelet Decomposition)	19
12 ภาพผลลัพธ์ของการทำวิธีการแยกองค์ประกอบด้วยเวฟเล็ต (Wavelet Decomposition)	19
13 วิธีการสร้างกลับจากองค์ประกอบด้วยเวฟเล็ต (Wavelet Reconstruction)	20
14 ภาพรวมของขั้นตอนวิธีการสร้างภาพสามมิติและวิธีการที่นำเสนอ	23
15 ภาพรวมการจัดวางอุปกรณ์	24
16 การจัดวางอุปกรณ์ในห้องทดลอง	24
17 ภาพตารางที่ถูกบิดเบือนในลักษณะต่างๆ (ก) คือภาพตารางที่ไม่ถูกบิดเบือนภาพ (ข) คือความผิดรูปโป่งกลาง (Barrel Distortion) และ (ค) คือความผิดรูปปอดกลาง (Pincushion Distortion)	25
18 ตัวอย่างภาพที่ถูกบิดเบือน (ก) ภาพด้านหลัง และ (ข) ภาพผลลัพธ์	26

สารบัญภาพ (ต่อ)

ภาพที่	หน้า
19 ความถี่ของภาพริวแสง (ก) ความถี่ของภาพต้นฉบับที่มีสัญญาณรบกวนรายคาน และ (ข) ตัวกรองสำหรับกำจัดสัญญาณรบกวนดังกล่าว	27
20 การเปรียบเทียบภาพริวแสง (ก) ภาพผลลัพธ์ที่ผ่านการปรับปรุง และ (ข) ภาพต้นฉบับ	27
21 ภาพตัวอย่างโมเดลฟัน	28
22 ภาพตัวอย่างส่วนผิวโลหะ	29
23 แผนภาพของเทคนิควิธีการแปลงเฟลเด็ตมาใช้สำหรับปรับปรุงภาพริวแสง	30
24 องค์ประกอบระดับที่ 1 จะสังเกตได้ว่าสัญญาณรบกวนอยู่ในตำแหน่งนี้	32
25 องค์ประกอบระดับที่ 2 จะไม่มีสัญญาณรบกวนหลงเหลืออยู่	32
26 ตัวอย่างภาพสัญญาณรบกวนที่ใช้สำหรับทดลองการเลือกใช้เฟลเด็ตฟังก์ชัน	33
27 ภาพรวมการทดลองสำหรับการแก้ไขปัญหาสกรีนดอร์อฟเฟค	35
28 การเลือกใช้ริวแสงให้เหมาะสมกับวัตถุ	36
29 โมเดลปูนปลาสเตอร์รูปแม่ ขนาดภาพ 500 x 514 พิกเซล	37
30 ภาพสเปกตรัมของโมเดลปูนปลาสเตอร์รูปแม่ที่มีสัญญาณรบกวนรายคาน	38
31 โมเดลปูนปลาสเตอร์รูปปลา ขนาดภาพ 500 x 475 พิกเซล	39
32 โมเดลปูนปลาสเตอร์รูปส่วนโลหะ ขนาดภาพ 350 x 350 พิกเซล	40
33 โมเดลฟันปูนปลาสเตอร์ ชิ้นที่ 1 ขนาดภาพ 350 x 350 พิกเซล	41
34 โมเดลฟันปูนปลาสเตอร์ ชิ้นที่ 2 ขนาดภาพ 350 x 350 พิกเซล	42
35 โมเดลฟันปูนปลาสเตอร์ ชิ้นที่ 3 ขนาดภาพ 350 x 350 พิกเซล	43
36 โมเดลฟันปูนปลาสเตอร์ ชิ้นที่ 4 ขนาดภาพ 350 x 350 พิกเซล	44
37 โมเดลฟันปูนปลาสเตอร์ ชิ้นที่ 5 ขนาดภาพ 660 x 586 พิกเซล	45
38 โมเดลปูนปลาสเตอร์รูปดอกไม้ ขนาดภาพ 500 x 395 พิกเซล	46
39 ผังงานของขั้นตอนวิธีการซัดแซยค่าเฟสที่มีผลกระทบจากแกรมไม่เป็นเชิงเส้น	49
40 ค่าเฟสที่ถูกห่อ (Wrapped Phase) ของเฟสในอุตสาหกรรม	50
41 การเลือกเดินทางของค่าเฟสที่ถูกห่อ (Wrapped Phase) ที่เป็นค่าเฟสจริง (Real Phase)	50

สารบัญภาพ (ต่อ)

ภาพที่	หน้า
42 การหาค่าความกว้างของริ้วแสง (Fringe Pitch) ด้วยการ Thresholding	50
43 การจับคู่ระหว่างค่าความกว้างริ้วแสงกับตารางคืนของค่าเฟสในอุดมคติ	51
44 การเปรียบเทียบหาความต่างระหว่างค่าเฟสจริงกับค่าเฟสในอุดมคติ	51
45 ข้อมูลภาพสามมิติที่ผ่านการแก้ไขแกรมม่าไม่เป็นเชิงเส้น	52
46 การเปรียบเทียบค่า SNR ระหว่างภาพต้นฉบับและผลลัพธ์ของภาพริ้วแสง รูปแบบที่ 1 ของโมเดลรูปแนว	53
47 การเปรียบเทียบค่า SNR ระหว่างภาพต้นฉบับและผลลัพธ์ของภาพริ้วแสง รูปแบบที่ 2 ของโมเดลรูปแนว	54
48 การเปรียบเทียบค่า SNR ระหว่างภาพต้นฉบับและผลลัพธ์ของภาพริ้วแสง รูปแบบที่ 3 ของโมเดลรูปแนว	54
49 การเปรียบเทียบค่า SNR ระหว่างภาพต้นฉบับและผลลัพธ์ของภาพริ้วแสง รูปแบบที่ 4 ของโมเดลรูปแนว	55
50 การเปรียบเทียบค่า SNR ระหว่างภาพต้นฉบับและผลลัพธ์ของภาพริ้วแสง รูปแบบที่ 1 ของโมเดลรูปปลา	55
51 การเปรียบเทียบค่า SNR ระหว่างภาพต้นฉบับและผลลัพธ์ของภาพริ้วแสง รูปแบบที่ 2 ของโมเดลรูปปลา	56
52 การเปรียบเทียบค่า SNR ระหว่างภาพต้นฉบับและผลลัพธ์ของภาพริ้วแสง รูปแบบที่ 3 ของโมเดลรูปปลา	56
53 การเปรียบเทียบค่า SNR ระหว่างภาพต้นฉบับและผลลัพธ์ของภาพริ้วแสง รูปแบบที่ 4 ของโมเดลรูปปลา	57
54 การเปรียบเทียบค่า SNR ระหว่างภาพต้นฉบับและผลลัพธ์ของภาพริ้วแสง รูปแบบที่ 1 ของโมเดลรูปส่วนโถ้ง	57
55 การเปรียบเทียบค่า SNR ระหว่างภาพต้นฉบับและผลลัพธ์ของภาพริ้วแสง รูปแบบที่ 2 ของโมเดลรูปส่วนโถ้ง	58
56 การเปรียบเทียบค่า SNR ระหว่างภาพต้นฉบับและผลลัพธ์ของภาพริ้วแสง รูปแบบที่ 3 ของโมเดลรูปส่วนโถ้ง	58

สารบัญภาพ (ต่อ)

สารบัญภาพ (ต่อ)

ภาพที่	หน้า
70 การเปรียบเทียบค่า SNR ระหว่างภาพด้านฉบับและผลลัพธ์ของภาพรีวิวแสง รูปแบบที่ 1 ของโนมเดครูปฟัน ชิ้นที่ 4	65
71 การเปรียบเทียบค่า SNR ระหว่างภาพด้านฉบับและผลลัพธ์ของภาพรีวิวแสง รูปแบบที่ 2 ของโนมเดครูปฟัน ชิ้นที่ 4	66
72 การเปรียบเทียบค่า SNR ระหว่างภาพด้านฉบับและผลลัพธ์ของภาพรีวิวแสง รูปแบบที่ 3 ของโนมเดครูปฟัน ชิ้นที่ 4	66
73 การเปรียบเทียบค่า SNR ระหว่างภาพด้านฉบับและผลลัพธ์ของภาพรีวิวแสง รูปแบบที่ 4 ของโนมเดครูปฟัน ชิ้นที่ 4	67
74 การเปรียบเทียบค่า SNR ระหว่างภาพด้านฉบับและผลลัพธ์ของภาพรีวิวแสง รูปแบบที่ 1 ของโนมเดครูปฟัน ชิ้นที่ 5	67
75 การเปรียบเทียบค่า SNR ระหว่างภาพด้านฉบับและผลลัพธ์ของภาพรีวิวแสง รูปแบบที่ 2 ของโนมเดครูปฟัน ชิ้นที่ 5	68
76 การเปรียบเทียบค่า SNR ระหว่างภาพด้านฉบับและผลลัพธ์ของภาพรีวิวแสง รูปแบบที่ 3 ของโนมเดครูปฟัน ชิ้นที่ 5	68
77 การเปรียบเทียบค่า SNR ระหว่างภาพด้านฉบับและผลลัพธ์ของภาพรีวิวแสง รูปแบบที่ 4 ของโนมเดครูปฟัน ชิ้นที่ 5	69
78 การเปรียบเทียบค่า SNR ระหว่างภาพด้านฉบับและผลลัพธ์ของภาพรีวิวแสง รูปแบบที่ 1 ของโนมเดครูปคลอกไม้	69
79 การเปรียบเทียบค่า SNR ระหว่างภาพด้านฉบับและผลลัพธ์ของภาพรีวิวแสง รูปแบบที่ 2 ของโนมเดครูปคลอกไม้	70
80 การเปรียบเทียบค่า SNR ระหว่างภาพด้านฉบับและผลลัพธ์ของภาพรีวิวแสง รูปแบบที่ 3 ของโนมเดครูปคลอกไม้	70
81 การเปรียบเทียบค่า SNR ระหว่างภาพด้านฉบับและผลลัพธ์ของภาพรีวิวแสง รูปแบบที่ 4 ของโนมเดครูปคลอกไม้	71
82 ภาพสามมิติของ โนมเดลปุนปลาสเตอร์รูปแนว	72
83 ภาพสามมิติของ โนมเดลปุนปลาสเตอร์รูปปลา	72
84 ภาพสามมิติของ โนมเดลปุนปลาสเตอร์ส่วนโถ้ง	73

สารบัญภาพ (ต่อ)

ภาพที่	หน้า
85 โ้มเดลฟันปูนปลาสเตอร์ ชิ้นที่ 1	73
86 โ้มเดลฟันปูนปลาสเตอร์ ชิ้นที่ 2	74
87 โ้มเดลฟันปูนปลาสเตอร์ ชิ้นที่ 3	74
88 โ้มเดลฟันปูนปลาสเตอร์ ชิ้นที่ 4	75
89 โ้มเดลฟันปูนปลาสเตอร์ ชิ้นที่ 5	75
90 โ้มเดลปูนปลาสเตอร์รูปดอกไม้	76
91 การเปรียบเทียบค่าซ่างระหว่างภาพสามมิติด้านฉบับและผลลัพธ์	76
92 การแยกองค์ประกอบข้อมูลภาพด้วยเวฟเล็ตฟิงก์ชั้น ‘dmey’ 3 ระดับ	78
93 การแยกองค์ประกอบข้อมูลภาพด้วยเวฟเล็ตฟิงก์ชั้น ‘rbio3.3’ 3 ระดับ	78
94 ภาพสเปกตรัมของข้อมูลภาพที่ผ่านเวฟเล็ตฟิงก์ชั้น ‘dmey’ และ ‘db15’	79
95 การเปรียบเทียบภาพสามมิติที่แก้ไขโดย (ก) การแปลงฟูเรียร์ (ข) การแปลงเวฟเล็ต	81
96 หน้ากากรัดวงความถี่เปลี่ยนไปตามความกว้างของริ้วแสง	82
97 ภาพสามมิติที่ได้จากค่าเฟสหลายระดับ (Multiresolution)	85
98 ภาพสามมิติในหลายมุมมอง	86

หลักวิธีการปรับปรุงและวิเคราะห์ภาพริ้วแสงสำหรับการสร้างภาพสามมิติ

Method of Image Enhancement and Analysis of Fringe Projection Display for 3D Reconstruction

คำนำ

การได้มาซึ่งข้อมูลภาพสามมิติของวัตถุโดยไม่สัมผัสมีเทคนิควิธีการที่หลากหลาย อาทิ เช่น เทคนิควิธีการรับรู้ภาพสามมิติ (Stereo Vision Technique) คือการจำลองการมองเห็นของตามนุյย์ โดยใช้กล้อง 2 ตัวเก็บข้อมูลภาพ หากำดำเน้นจุดที่มีความสัมพันธ์กันและคำนวณค่าความสูงของวัตถุ เทคนิควิธีการคาดวิเคราะห์เส้นเดียว (Single Line Scanning Technique) ใช้แหล่งกำเนิดแสงที่มีความคมชัดสูง เช่น แสงเลเซอร์ (Laser) เก็บภาพในมุมมองหนึ่งและคำนวณหากำดำเน้นความสูงด้วยทฤษฎีสามเหลี่ยม เทคนิควิธีไทม์อฟไฟล์ท (Time of Flight Technique) ใช้หลักการส่งสัญญาณพลังส์ไปยังวัตถุที่สนใจ คำนวณเวลาการสะท้อนกลับของสัญญาณดังกล่าวและนำมาคำนวณหากำดำเน้นความลึกของวัตถุ เทคนิควิธีการเข้ารหัสโครงสร้างแสง (Encoded Structured Light Technique) เป็นการเข้ารหัสโครงสร้างแสงซึ่งเป็นสีหรือขาวดำก็ได้ โดยลดคราบสีโครงสร้างแสงที่ฉายไปยังวัตถุ หากำดำเน้นความสัมพันธ์ของดำเน้นจุดและคำนวณค่าความสูง และเทคนิควิธีการฉายริ้วแสงรูปไซน์ (Sinusoidal Fringe Projection Technique) เป็นเทคนิคที่ใช้การสร้างริ้วแสงที่มีลักษณะเป็นคลื่นรูปไซน์ (Sinusoidal Wave) และฉายไปยังวัตถุจากนั้นคำนวณเพื่อหาค่าเฟส (Phase Value) ซึ่งมีความสัมพันธ์กับการคำนวณหากำดำเน้นความสูงของวัตถุ เป็นต้น

งานวิจัยขึ้นนี้เลือกใช้เทคนิควิธีการฉายริ้วแสงรูปไซน์ ซึ่งอยู่บนพื้นฐานของการฉายแสดงผล (Projection Display-Based) เนื่องจากมีความรวดเร็วและความแม่นยำในการสร้างภาพสามมิติ โดยเลือกใช้เครื่องฉายภาพแบบหลีดเหลว (LCD Projector) เป็นแหล่งกำเนิดแสงสำหรับฉายแสดงผลริ้วแสงที่สร้างจากโปรแกรมคอมพิวเตอร์ และเลือกใช้เทคนิควิธีการเลื่อนเฟสเชิงดำเน้นจุด (Spatial Phase Shifting Technique) สำหรับวิเคราะห์ริ้วแสง (Fringe Analysis) ซึ่งมีความสำคัญต่อการสร้างภาพสามมิติ

โดยปกติสำหรับเครื่องฉายภาพแบบผลึกเหลว ขณะฉายแสดงผลภาพมักเกิดเหตุการณ์ที่เห็นภาพมีลักษณะเป็นลายตารางแทรกช้อนอยู่หรือเรียกว่า “สกรีนดอร์อฟเฟค (Screen Door Effect)” ซึ่งมีผลต่อการสร้างภาพสามมิติ เพราะทำให้เกิดความผิดพลาดของภาพพื้นผิววัตถุสามมิติอย่างมีนัยสำคัญ ปัญหาของการเลือกใช้เครื่องฉายภาพแบบผลึกเหลว กับเทคนิควิธีการฉายรีวแสงรูปไข่น์ที่ทำการวิเคราะห์รีวแสงด้วยเทคนิคการเลื่อนเฟส เชิงตำแหน่ง สามารถแบ่งออกเป็น 2 ประเด็นคือ ความผิดพลาดของคลื่นรูปไข่น์ (Sinusoidal Wave) ที่ไม่เป็นคลื่นรูปไข่น์ เนื่องมาจากแกมมาไม่เป็นเชิงเส้น (Nonlinear Gamma) ของเครื่องฉายภาพแบบผลึกเหลว ซึ่งส่งผลต่อการแสดงผลภาพสามมิติของวัตถุที่เห็นเป็นริ้วคลื่นปรากฏอยู่ และความผิดพลาดของการเลื่อนเฟส เชิงตำแหน่ง (Spatial Phase Shift Error) ซึ่งในประเด็นนี้ เครื่องฉายภาพแบบผลึกเหลวทำงานได้ปกติ

งานวิจัยขึ้นนี้ มีวัตถุประสงค์เพื่อศึกษาและนำเสนอวิธีการปรับปรุงและวิเคราะห์ภาพรีวแสงสำหรับการสร้างภาพสามมิติเพื่อแก้ไขปัญหาที่เกิดขึ้นใน 2 ประเด็น คือ ปัญหาสกรีนดอร์อฟเฟค (Screen Door Effect) และปัญหาความผิดพลาดของค่าแกมมาที่ไม่เป็นเชิงเส้นของเครื่องฉายภาพแบบผลึกเหลว (Nonlinear Gamma)

สำหรับการแก้ไขปัญหาสกรีนดอร์อฟเฟค ผู้วิจัยนำเสนอบรรลุผลลัพธ์ที่ห้องในจุดโฟกัส (Focus) ซึ่งสามารถปรับได้่ายกิจวัตรการทำการเลื่อนออกจากจุดโฟกัส (Defocus) โดยอาศัยการสังเกตเห็นลายตาข่ายของสกรีนดอร์อฟเฟคที่ชัดเจน วิธีการนี้ทำให้ภาพรีวแสงมีความคมชัดไม่เบลอ แต่ข้อมูลภาพรีวแสงที่บันทึกมาได้ยังคงมีลายตาข่ายแทรกช้อนอยู่ จึงได้ทำการทดลองเบื้องต้นด้วยการแปลงข้อมูลภาพด้วยฟูเรียร์และวิเคราะห์ค่าสัมประสิทธิ์ของสัญญาณรายคาน ซึ่งวิธีการนี้มีความยากและซับซ้อนในการหาสัญญาณรบกวนและใช้เวลามาก จึงได้นำเสนอเทคนิค วิธีการแปลงเวฟเล็ตมาใช้สำหรับปรับปรุงภาพรีวแสง เพราะเห็นว่าการแปลงเวฟเล็ตในสองมิตินี้จะแยกสัมประสิทธิ์ในแนวการตั้ง แนวการนอนและแนวทแยง ซึ่งตรงกับธรรมชาติของสัญญาณรบกวนรายคานที่เกิดจากสกรีนดอร์อฟเฟค มีความรวดเร็วและให้ภาพผลลัพธ์ที่ดีกว่าการแปลงฟูเรียร์ อีกทั้งยังสะดวกต่อการประยุกต์ใช้งาน

สำหรับการแก้ไขปัญหาความผิดพลาดของค่าแกมมาที่ไม่เป็นเชิงเส้นของเครื่องฉายภาพแบบผลึกเหลว โดยเทคนิควิธีการชดเชยค่าเฟส (Phase Compensation) ผู้วิจัยนำเสนอบรรลุผลลัพธ์ที่อาศัยเทคนิคการเก็บข้อมูลภาพ กล่าวคือ ในขั้นตอนการเก็บข้อมูลภาพให้เก็บข้อมูลที่มีบริเวณของวัตถุที่สนใจและบริเวณพื้นหลังที่เป็นระนาบ โดยมองว่าข้อมูลภาพเป็นภาพที่สมบูรณ์คือภาพไม่มีการบิดเบือน จากนั้นเลือกข้อมูลภาพของบริเวณพื้นหลังที่เป็นระนาบในแนวแกน y ของภาพมาทำ

การคำนวณตามขั้นตอนวิธีที่ได้ออกแบบโดยใช้การเปรียบเทียบระหว่างค่าเฟสจริง (Real Phase) กับค่าเฟสในอุดมคติ (Ideal Phase) ซึ่งค่าเฟสจริงได้มาจากการเลือกพื้นที่สนใจ (Region of Interest) บนข้อมูลภาพที่ผ่านการแก้ค่าเฟสที่ถูกต้องแล้ว และนำค่าเหล่านี้มาทำการคำนวณหาความกว้างของริ้วแสง และทำการเตรียมตารางคืนหา (Look-up Table) ของค่าเฟสในอุดมคติโดยคำนวณจากสมการคณิตศาสตร์ นำค่าความกว้างของค่าเฟสจริงมาคืนหาในตารางคืนหาดังกล่าวจะทำให้ได้ค่าเฟสในอุดมคติอย่างรวดเร็ว จากนั้นนำมาหาค่าความต่างระหว่างค่าเฟสจริงและค่าเฟสในอุดมคติมาสร้างตารางคืนหาสำหรับใช้ชุดเซย์ค่าเฟสอันเนื่องมาจากปัญหาแกรมไม่เป็นเชิงเส้น นำตารางที่ได้มาใช้ชุดเซย์กับค่าเฟสจริงจะได้ภาพสามมิติที่ไม่มีลูกคลื่นรบกวนและได้พื้นผิวภาพจริงกลับคืนมา การทดลองในงานวิจัยนี้ได้แสดงภาพสามมิติก่อนและหลังการแก้ไขด้วยวิธีดังกล่าว ซึ่งผลลัพธ์ที่ได้สามารถแก้ไขปัญหาดังกล่าวได้ ทำให้ได้ภาพสามมิติที่สมจริงยิ่งขึ้น และได้ทำการพิสูจน์ความรวมเรียงของพื้นผิวด้วยตัวกรองช่วง ค่าที่ได้สอดคล้องกับผลภาพที่มองเห็น ซึ่งวิธีการนี้ง่ายและสะดวกต่อการประยุกต์ใช้งานและยังไม่ต้องทำการปรับแต่งค่าแกรมมากของเครื่องฉายภาพพลีกเหลว (LCD Projector) อีกด้วย วิธีการนี้ทำการคำนวณเป็นแบบออนไลน์ (Online Processing) และไม่ขึ้นกับเครื่องฉายภาพดิจิตอลและกล้องดิจิตอล

ดังนั้นจากการแก้ปัญหาทั้งสองอย่างที่ได้นำเสนอในงานวิจัยนี้ การแก้ไขภาพริ้วแสงที่ถูกแทรกซ้อนด้วยสกรีนคอร์อฟเฟค ได้ลูกคลื่นออกไปจากข้อมูลภาพได้ดีซึ่งให้ค่า SNR ของภาพผลลัพธ์ที่ได้ขึ้นกว่าภาพต้นฉบับเกือบทั้งหมด และส่วนของการแก้ไขปัญหาแกรมไม่เป็นเชิงเส้นนั้น ทำให้ภาพริ้วคลื่นหายไปและได้ภาพสามมิติที่สมจริงพร้อมทั้งค่าช่วงที่บ่งชี้ความรวมเรียงมีค่าลดลง

วัตถุประสงค์

- ศึกษาและนำเสนอเทคโนโลยีการแปลงเวฟเล็ต (Wavelet Transform) สำหรับวิเคราะห์ และปรับปรุงภาพการฉายแสดงผลของรีวีແສที่ถูกกรบกวนด้วยสัญญาณรายคาบ (Periodic Noise) ที่มีลักษณะเหมือนตาข่ายหรือ “สกรีนดอร์เอฟเฟค (Screen Door Effect)” ซึ่งเกิดขึ้นจากคุณสมบัติของเครื่องฉายภาพแบบพลีกเหลา (LCD Projector) ขณะนี้เมื่อนำภาพรีวีແສงดังกล่าวมาทำการคำนวณเพื่อสร้างภาพสามมิติจะทำให้เกิดความผิดพลาดของการแสดงผลภาพพื้นผิวของวัตถุ
- ศึกษาและนำเสนอเทคโนโลยีการชดเชยค่าเฟส (Phase Compensation) สำหรับวิเคราะห์ และปรับปรุงภาพค่าเฟสที่คำนวณได้จากภาพรีวีແສงอันเนื่องมาจากปัญหาค่าแกนมาที่ไม่เป็นเชิงเส้น (Nonlinear Gamma) ของเครื่องฉายภาพแบบพลีกเหลา ซึ่งส่งผลต่อการแสดงผลภาพสามมิติที่ผิดพลาด ทำให้มองเห็นพื้นผิววัตถุเป็นริวคลื่น
- สร้างภาพสามมิติที่มีการแสดงผลภาพสามมิติที่ดีขึ้นและสมจริง

ข้อจำกัดและขอบเขต

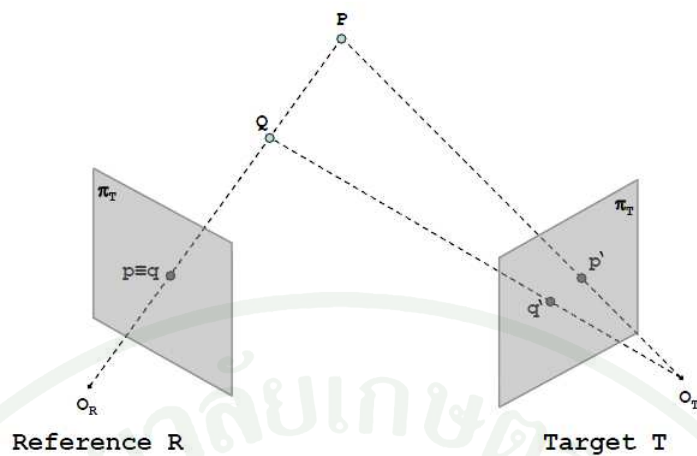
1. งานวิจัยชิ้นนี้สร้างภาพสามมิติจากการฉายแสดงผลริ้วแสงไปยังวัตถุในมุมมองด้านบน (Top View) และเก็บข้อมูลภาพริ้วแสงในหนึ่งมุมมอง
2. งานวิจัยชิ้นนี้ทำการวิเคราะห์และปรับปรุงภาพเพื่อลดผลกระทบของปัญหาสกรีนดอร์เอฟเฟก (Screen Door Effect) และแกมมาไม่เป็นเส้น (Nonlinear Gamma) และทำให้การแสดงผลภาพสามมิติที่ดีขึ้นและสมจริง ซึ่งเป็นคนละประเด็นกับค่าความแม่นยำ (Accuracy) เพราะค่าความแม่นยำจะขึ้นอยู่กับการเทียบมาตรฐาน (Calibration) ระหว่างเครื่องฉายภาพแบบหลักแหล่ง (LCD Projector) และกล้องดิจิตอล (Digital Camera) ของระบบ
3. งานวิจัยนี้ไม่ได้เป็นการออกแบบระบบอาร์ดแวร์สำหรับสร้างภาพสามมิติ สนใจเฉพาะขั้นตอนก่อนการประมวลผล (Pre-processing) ที่เกิดจากผลกระทบของการวิชวัลไ�เซชัน (Visualization) ดังนั้นการวัดผลจึงไม่สามารถเปรียบเทียบกับงานวิจัยอื่นๆ ได้ เพราะงานวิจัยอื่นๆ นั้นจะทำการวัดผลงานพื้นฐานของระบบอาร์ดแวร์ที่ออกแบบมาเฉพาะตนเอง
4. งานวิจัยชิ้นนี้ประยุกต์ใช้เครื่องฉายภาพแบบหลักแหล่งที่หาได้ในสถานที่ทำงานทั่วไป ซึ่งประกอบปัญหาสกรีนดอร์เอฟเฟกและแกมมาไม่เป็นเส้นดังที่กล่าวมาแล้วข้างต้น
5. งานวิจัยชิ้นนี้ไม่พิจารณาข้อมูลภาพที่เกิดการบิดเบือน (Distortion) ของเลนส์กล้องดิจิตอลและข้อมูลภาพที่เกิดความคลาดสี (Chromatic Aberration) กล่าวคือ ข้อมูลภาพที่ใช้มีความสมบูรณ์
6. งานวิจัยชิ้นนี้ทำการทดลองและเก็บข้อมูลภาพในห้องปฏิบัติการวิจัยที่ควบคุมแสง

การตรวจเอกสาร

หัวขอนี้กล่าวถึงความรู้พื้นฐานและงานวิจัยที่เกี่ยวข้อง อันได้แก่ วิธีการได้มาซึ่งข้อมูลภาพสามมิติของวัตถุโดยไม่สัมผัส การสร้างภาพสามมิติโดยใช้เทคนิควิธีการฉายริ้วแสงรูปไข่ ปรากฏการณ์สกรีนดอร์เอฟเฟกต์ (Screen Door Effect) แคมมาไม่เป็นเส้น (Nonlinear Gamma) การแปลงเวฟเล็ตแบบดีศรีท 2 มิติ (2D Discrete Wavelet Transform) ตัวกรองช่วง (Range Filtering) และงานวิจัยอื่นๆ ที่เกี่ยวข้อง

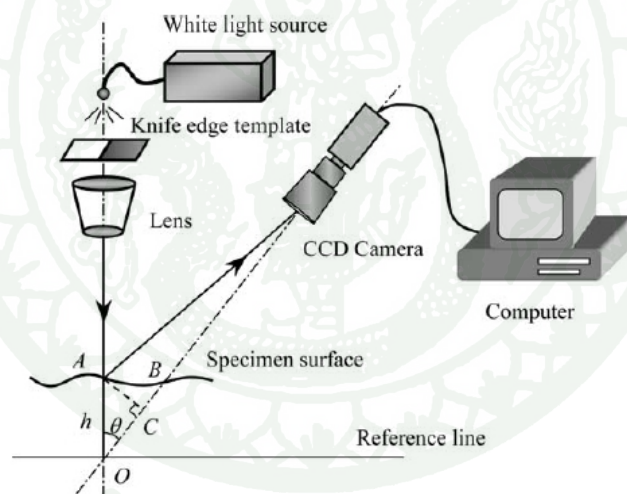
1. วิธีการได้มาซึ่งข้อมูลภาพสามมิติของวัตถุโดยไม่สัมผัส

วิธีการสร้างภาพสามมิติของวัตถุโดยไม่สัมผัสมีหลากหลายวิธี อาทิเช่น เทคนิควิธีการรับรู้ภาพสามมิติ (Stereo Vision Technique) (Mattoccia, 2010) คือการจำลองการมองเห็นของตามนุյย์ โดยใช้กล้อง 2 ตัวเก็บข้อมูลภาพ หากค่าตำแหน่งจุดที่มีความสัมพันธ์กันและคำนวณค่าความสูงของวัตถุ ดังแสดงภาพรวมของระบบดังกล่าวในภาพที่ 1 เทคนิควิธีการกราดวิเคราะห์เส้นเดียว (Single Line Scanning Technique) (ศศิน และคณะ, 2549; Miao et al., 2005) ใช้แหล่งกำเนิดแสงที่มีความคมชัดสูง เช่น แสงเลเซอร์ (Laser) เก็บภาพในมุมมองหนึ่งและคำนวณหาค่าความสูงด้วยทฤษฎีสามเหลี่ยม ดังแสดงภาพรวมของระบบดังกล่าวในภาพที่ 2 เทคนิควิธีไทม์ออฟไฟล์ท (Time of Flight Technique) (Gokturk et al., 2004) ใช้หลักการส่องสัญญาณพัลส์ไปยังวัตถุที่สนใจ คำนวณเวลาการสะท้อนกลับของสัญญาณดังกล่าวและนำมาคำนวณหาค่าความลึกของวัตถุ ดังแสดงภาพรวมของระบบดังกล่าวในภาพที่ 3 เทคนิควิธีการเข้ารหัสโครงสร้างแสง (Encoded Structured Light Technique) (Valkenburg and McIvor, 1998; Hsieh, 2001; Wu et al., 2006) เป็นการเข้ารหัสโครงสร้างแสงซึ่งจะเป็นสีหรือขาดำก็ได้ โดยจะทำการถอดรหัสโครงสร้างแสงที่ฉายไปยังวัตถุ หากค่าความสัมพันธ์ของตำแหน่งและคำนวณค่าความสูง ดังแสดงภาพรวมของระบบดังกล่าวในภาพที่ 4 และเทคนิควิธีการฉายริ้วแสงรูปไข่ (Sinusoidal Fringe Projection Technique) (ศศิน และคณะ, 2549; Quan et al., 2001; Yen et al., 2006; Schreiber and Bruning, 2007) เป็นเทคนิคที่ใช้การสร้างริ้วแสงที่มีลักษณะเป็นคลื่นรูปไข่ (Sinusoidal Wave) และฉายไปยังวัตถุจากนั้น คำนวณเพื่อหาค่าเฟส (Phase Value) ซึ่งมีความสัมพันธ์กับการคำนวณหาค่าความสูงของวัตถุ ดังแสดงภาพรวมของระบบดังกล่าวในภาพที่ 5 เป็นต้น



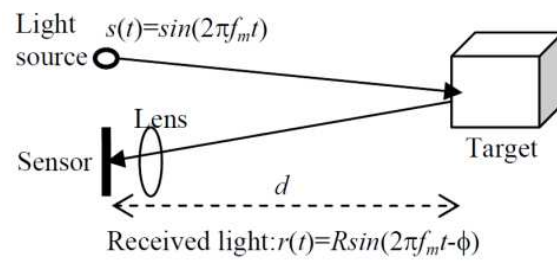
ภาพที่ 1 ภาพรวมระบบเทคนิควิธีการรับรู้ภาพสามมิติ (Stereo Vision Technique)

ที่มา: Mattoccia (2010)



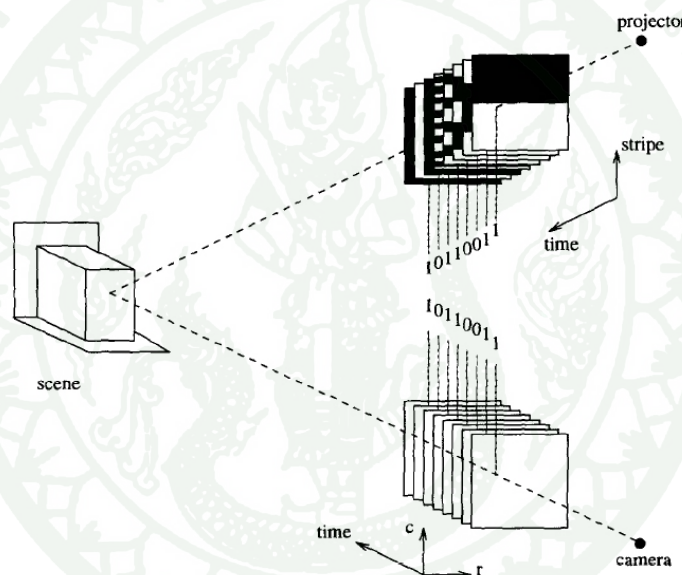
ภาพที่ 2 ภาพรวมระบบเทคนิควิธีการกราดวิเคราะห์เส้นเดี่ยว (Single Line Scanning Technique)

ที่มา: Miao et al. (2005)



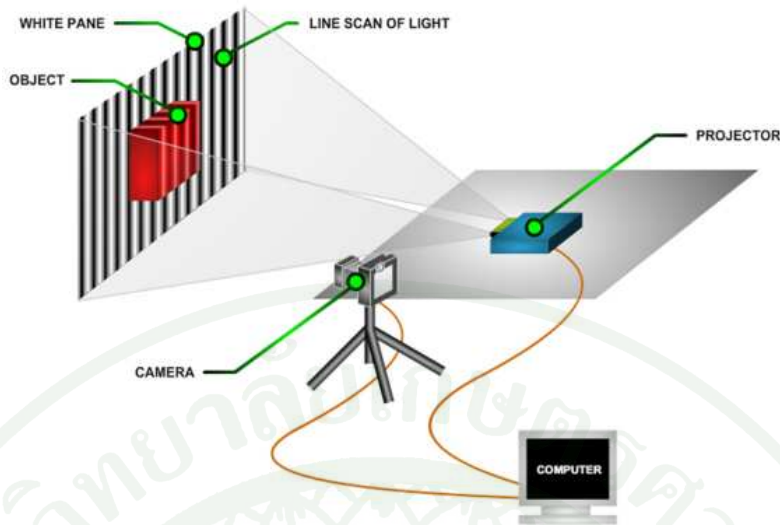
ภาพที่ 3 ภาพรวมระบบเทคนิควิธีไทม์อฟไฟล์ท (Time of Flight Technique)

ที่มา: Gokturk et al. (2004)



ภาพที่ 4 ภาพรวมระบบเทคนิควิธีเข้ารหัสโครงสร้างแสง (Encoded Structured Light Technique)

ที่มา: Valkenburg and McIvor (1998)



ภาพที่ 5 ภาพรวมระบบเทคนิคไวชีลารีแสรงรูปไชน์ (Sinusoidal Fringe Projection Technique)

ที่มา: ศศิน และคณะ (2549)

งานวิจัยชิ้นนี้เลือกใช้เทคนิคไวชีลารีแสรงรูปไชน์ ซึ่งอยู่บนพื้นฐานของการฉายแสงคงผล (Projection Display-Based) เนื่องจากมีความรวดเร็วและความแม่นยำในการสร้างภาพสามมิติ เทคนิคไวชีนี้จะทำการคำนวณค่าเฟสจากข้อมูลภาพพิกเซลต่อพิกเซล ถ้าเปรียบเทียบกับวิธีอื่นๆ ดังที่กล่าวมาแล้วจะเห็นได้ว่าเทคนิคไวชีลารีแสรงรูปไชน์มีความซับซ้อนในการคำนวณน้อยกว่าและง่ายต่อการนำมาใช้งาน กล่าวคือ เทคนิคไวชีลาร์ภาพสามมิติ (Stereo Vision Technique) จะมีความยุ่งยากและซับซ้อนในการหาความสัมพันธ์ของตำแหน่งจุดที่ได้จากการถ่าย 2 ตัว จึงทำให้ใช้เวลาในการคำนวณนานและจะเกิดการผิดพลาดของตำแหน่งจุดที่สัมพันธ์กันได้ง่าย เทคนิคไวชีลาร์ราดิวิเคราะห์เดือนเดียว (Single Line Scanning Technique) จะเห็นได้ว่าใช้แสงเดือนเดียวในการกราดวิเคราะห์จะทำให้ใช้เวลาการคำนวณนาน เทคนิคไวชีไทม์ออฟไฟล์ท (Time of Flight Technique) วิธีการนี้ต้องออกแบบอุปกรณ์รับและส่งสัญญาณพร้อมทั้งต้องมีการคำนวณระยะเวลาที่แม่นยำซึ่งจะเป็นจุดที่มีความยากต่อการคำนวณและพัฒนาระบบ เทคนิคไวชีลาร์เข้ารหัสโกรงสร้างแสง (Encoded Structured Light Technique) ใช้ข้อมูลภาพในการเข้ารหัสอย่าง 8 ภาพเพื่อใช้ในการเข้ารหัส 8 บิต ด้วยเหตุนี้จึงใช้เวลาในการคำนวณสูงและมีความซับซ้อนในการถอดรหัส

งานวิจัยขึ้นนี้เลือกใช้เทคนิควิธีการเลื่อนเฟสเชิงตำแหน่ง (Spatial Phase Shifting Technique) สำหรับวิเคราะห์ริ้วแสง (Fringe Analysis) ซึ่งมีความสำคัญต่อการสร้างภาพสามมิติ เพราะมีการคำนวณที่ไม่ซับซ้อนจึงทำให้ใช้เวลาอ้อยกว่าวิธีอื่นๆ การวิเคราะห์ริ้วแสงมีหลายเทคนิควิธี (Quan et al., 2010) อาทิเช่น การวัดข้อมูลการแปลงฟูเรียร์ (Fourier Transform Profilometry) การแปลงเฟล็ตแบบต่อเนื่อง (Continuous Wavelet Transform) และการแปลงฟูเรียร์เวลาสั้นสองมิติ (2D Short-Time Fourier Transform) เป็นต้น เทคนิควิธีดังกล่าวจะอาศัยการทำงานบนโดเมนความถี่ (Frequency Domain) ซึ่งมีการคำนวณที่ซับซ้อนยุ่งยากและถ้าคำนวณไม่ดีสามารถเกิดผลกระทบลักษณะวงเหวน (Ringing Effect) บนข้อมูลภาพได้อีกด้วย และได้เลือกใช้เครื่องฉายภาพแบบหลักแหลม (LCD Projector) เป็นแหล่งกำเนิดแสงสำหรับฉายแสดงผลริ้วแสงที่สร้างจากโปรแกรมคอมพิวเตอร์ ข้อดีของอุปกรณ์ชิ้นนี้ คือ เป็นอุปกรณ์ที่มีมาตรฐานและสามารถทำการเลื่อนเฟสเชิงตำแหน่งได้ดี อีกทั้งสะดวกในการใช้งานและหาได้ตามสถานที่ทำงานทั่วไป

2. ขั้นตอนวิธีการสร้างภาพสามมิติโดยใช้เทคนิควิธีการฉายริ้วแสงรูปไข่น'

การสร้างภาพสามมิติโดยใช้เทคนิควิธีการฉายริ้วแสงรูปไข่น' ภาพรวมแสดงดังภาพที่ 6 และมีรายละเอียดขั้นตอนดังนี้ (Schreiber and Bruning, 2007)

2.1 การสร้างภาพริ้วแสงด้วยสมการพื้นฐานของการเลื่อนเฟสเชิงตำแหน่ง

$$I(x, y, t) = I' + I'' \cos[\phi(x, y) + \delta(t)] \quad (1)$$

โดยที่ $I(x, y, t)$ คือ ค่าความเข้มของแสง ณ จุด (x, y) และที่เวลา t

$$I' \text{ คือ } \text{ค่าเฉลี่ยของความเข้มของแสง } \text{ ในที่นี่ให้ค่าเท่ากับ } \frac{255}{2}$$

$$I'' \text{ คือ } \text{ค่าการลดอัลตร้าซาวด์ของความเข้ม } \text{ ในที่นี่ให้ค่าเท่ากับ } \frac{255}{2}$$

$$\phi(x, y) \text{ มีค่าเท่ากับ } \frac{2\pi}{T} \text{ เมื่อ } T \text{ คือ } \text{ค่าความ} \text{ และ } t \text{ คือ } \text{เวลา}$$

$$\delta(t) \text{ คือ } \text{ค่าเฟสที่ทำการเลื่อนไปครึ่งละ } \frac{\pi}{2}$$

จากสมการที่ (1) สามารถนำมาเขียนใหม่ได้ดังนี้

$$I_1(x, y) = \frac{255}{2} \left[1 + \cos\left(\frac{2\pi x}{T_x}\right) \right] \quad (2)$$

$$I_2(x, y) = \frac{255}{2} \left[1 + \cos\left(\frac{2\pi x}{T_x} + \frac{\pi}{2}\right) \right] \quad (3)$$

$$I_3(x, y) = \frac{255}{2} \left[1 + \cos\left(\frac{2\pi x}{T_x} + \pi\right) \right] \quad (4)$$

$$I_4(x, y) = \frac{255}{2} \left[1 + \cos\left(\frac{2\pi x}{T_x} + \frac{3\pi}{2}\right) \right] \quad (5)$$

โดยที่ $I(x, y)$ คือ ค่าความเข้มของรูป $I(x, y)$ ของภาพ
 x คือ กำลังของพิกเซลในแนวแกน x ของภาพ
 T_x คือ ค่าคงของรูป $I(x, y)$ โดยอ้างอิงตามแนวแกน x ของภาพ

2.2 การวิเคราะห์ภาพริ้วแสงด้วยเทคนิควิธีการเลื่อนเฟสเชิงตำแหน่ง ซึ่งจะทำการนำภาพริ้วแสงมาวิเคราะห์เพื่อให้ได้มาซึ่งค่าเฟสกลับคืน (Phase Retrieval) จากสมการที่ (2) ถึง (5) ตามคุณสมบัติทางตรีโกณมิติ สามารถเปลี่ยนรูปได้ดังนี้

$$I_1 = I' + I'' \cos[\phi(x, y)] \quad (6)$$

$$I_2 = I' - I'' \sin[\phi(x, y)] \quad (7)$$

$$I_3 = I' - I'' \cos[\phi(x, y)] \quad (8)$$

$$I_4 = I' + I'' \sin[\phi(x, y)] \quad (9)$$

นำสมการที่ (9) – (7) จะได้

$$I_4 - I_2 = 2I''(x, y)\sin[\phi(x, y)] \quad (10)$$

นำสมการที่ (6) – (8) จะได้

$$I_1 - I_3 = 2I''(x, y)\cos[\phi(x, y)] \quad (11)$$

นำสมการที่ (10)/(11) จะได้

$$\frac{I_4 - I_2}{I_1 - I_3} = \frac{2I''(x, y)\sin[\phi(x, y)]}{2I''(x, y)\cos[\phi(x, y)]} \quad (12)$$

$$\tan[\phi(x, y)] = \frac{I_4 - I_2}{I_1 - I_3} \quad (13)$$

จากสมการที่ (13) นำมาทำการอินเวิร์ส (Inverse) จะได้ค่าเฟสกลับคืน (Phase Retrieval) ดังสมการที่ (14)

$$\phi(x, y) = \tan^{-1}\left[\frac{I_4 - I_2}{I_1 - I_3}\right] \quad (14)$$

2.3 การนำค่าเฟสกลับคืนที่คำนวณได้ในขั้นตอนที่ 4 มาทำการตรวจสอบแก้ค่าเฟส (Phase Correction) เพราะค่าเฟสกลับคืนที่คำนวณได้ถูกจำกัดอยู่ในช่วง $-\frac{\pi}{2}$ ถึง $\frac{\pi}{2}$ ซึ่งเหตุการณ์นี้อาจจำกัดการสร้างภาพสามมิติที่มีช่วงยาวกว่า $\frac{\pi}{2}$ จึงต้องทำการปรับแก้ให้เข้ากับช่วงค่าเฟสให้อยู่ระหว่าง 0 ถึง 2π โดยใช้วิธีการดังตารางที่ 1

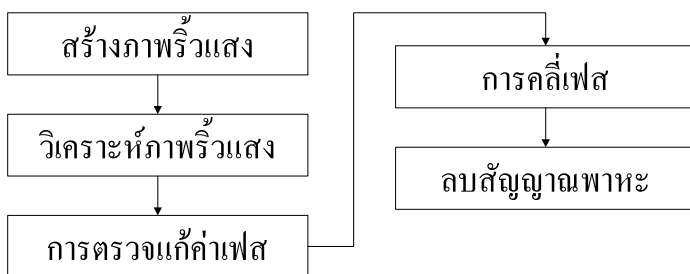
2.4 การคลี่เฟส (Phase Unwrapping) เป็นขั้นตอนเพื่อทำการลบความไม่ต่อเนื่องของค่าเฟสกลับคืนที่ผ่านขั้นตอนที่ 3 มาแล้วโดยการตรวจสอบค่าเฟสของพิกเซลก่อนหน้าที่ยังกันปัจจุบัน ถ้ามีค่ามากกว่า π จะทำการเพิ่มค่าเฟสเข้าไป 2π ดังสมการที่ (15)

$$\phi(x, y) = \begin{cases} \phi(x, y) + 2\pi & ; \phi(x-1, y) - \phi(x, y) > \pi \\ \phi(x, y) & ; otherwise \end{cases} \quad (15)$$

2.5 การลบสัญญาณพาหะ (Carrier Removal) คือการนำข้อมูลค่าเฟสกลับคืนของระนาบอ้างอิง (Reference Plane) มาลบกับข้อมูลค่าเฟสกลับคืนของวัตถุที่สนใจ ผลลัพธ์ที่ได้จะเป็นภาพสามมิติ (3D Image) ของวัตถุที่สนใจ

ตารางที่ 1 การตรวจแก้ค่าเฟสโดยการมอดูโลดด้วยค่า 2π

ค่าไซน์ (Sine)	ค่าโคไซน์ (Cosine)	ค่าเฟสที่ถูกต้อง (Corrected Phase)	ค่าช่วงเฟส (Phase Range)
0	+	0	0
+	+	$\phi(x, y)$	$[0, \frac{\pi}{2}]$
+	0	$\frac{\pi}{2}$	$\frac{\pi}{2}$
+	-	$\phi(x, y) + \pi$	$[\frac{\pi}{2}, \pi]$
0	-	π	π
-	-	$\phi(x, y) + \pi$	$[\pi, \frac{3\pi}{2}]$
-	0	$\frac{3\pi}{2}$	$\frac{3\pi}{2}$
-	+	$\phi(x, y) + 2\pi$	$[\frac{3\pi}{2}, 2\pi]$



ภาพที่ 6 ภาพรวมของขั้นตอนวิธีการสร้างภาพสามมิติโดยใช้เทคนิควิธีการฉายริวแสงรูปปั๊มน้ำ

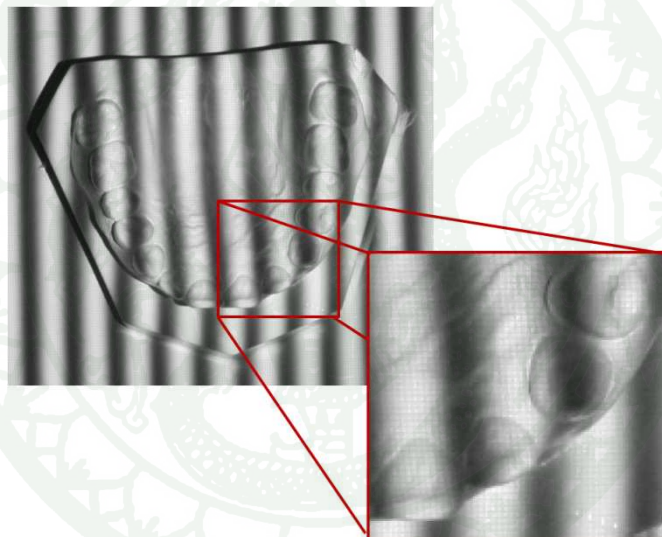
3. ปรากฏการณ์สกรีนดอร์อฟเฟค (Screen Door Effect)

สกรีนดอร์อฟเฟค (Screen Door Effect) (Baker et al., 2005) คือ ปรากฏการณ์การเกิดลักษณะลายตาบ่ำ夷ี่มขณะทำการฉายและคงผลของเครื่องฉายภาพดิจิตอล (Digital Projector) ซึ่งจะทำให้เห็นข้อมูลที่ถูกลายมีลักษณะเป็นลายตารางแทรกช่องอยู่ สามารถมองเห็นได้ด้วยตาเปล่า ดังภาพที่ 7 ปรากฏการณ์นี้เกิดขึ้นจากการออกแบบภายในเชิงเทคนิคของเครื่องฉายภาพดิจิตอล (Digital Projector) ทั่วไป ทำให้ค่าระดับสีต่างๆ ของข้อมูลภาพริวแสงที่ถูกบันทึกขาดความต่อเนื่อง การแก้ไขปัญหานี้โดยทั่วไป (Zhang and Shree, 2006; Kreiser and Jingyi, 2008) จะทำการปรับเลนส์ของเครื่องฉายและคงผลให้เลื่อนออกจากจุดโฟกัส (Defocus) ในทางปฏิบัติการปรับเลนส์เลื่อนออกจากจุดโฟกัส นี้จะต้องทำการปรับเลนส์ให้อยู่ในจุดโฟกัส (Focus) ก่อนและจึงทำการเลื่อนออกจากจุดโฟกัส ซึ่งจะต้องใช้ทักษะส่วนบุคคลและไม่สามารถบอกได้ว่าปรับการเลื่อนออกจากจุดโฟกัส ไปเท่าไหร่ถึงจะพอดีหรือลดการเกิดสกรีนดอร์อฟเฟคได้เหมาะสม

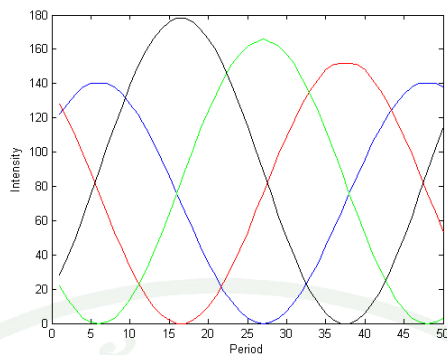
ดังนั้นงานวิจัยนี้จึงนำเสนอวิธีการปรับเลนส์ให้อยู่ในจุดโฟกัส ซึ่งปรับได้ยากกว่าการทำการเลื่อนออกจากจุดโฟกัส โดยอาศัยการสังเกตเห็นลายตาบ่ำ夷ี่มของสกรีนดอร์อฟเฟคที่ชัดเจน วิธีการนี้จะทำให้ภาพริวแสงมีความคมชัดไม่เบลอ แต่ข้อมูลภาพริวแสงที่บันทึกมาได้จะมีลายตาบ่ำ夷ี่มแทรกช่องอยู่ จึงได้นำเสนอเทคนิควิธีการแปลงเวฟเล็ตนาใช้สำหรับปรับปรุงภาพริวแสงร่วมด้วยซึ่งจะกล่าวต่อไป

4. แกรมมาไม่เป็นเชิงเส้น (Nonlinear Gamma)

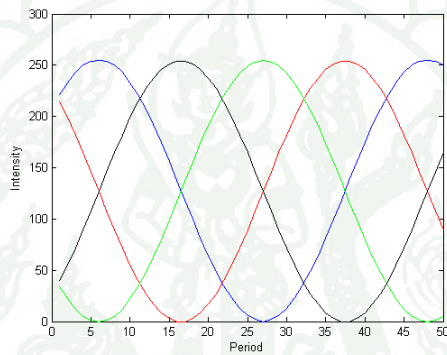
การเก็บข้อมูลภาพริ้วแสงที่ได้จากการฉายแสดงผลของเครื่องฉายภาพดิจิตอล (Digital Projector) จะเกิดเหตุการณ์ที่เรียกว่า “แกรมมาไม่เป็นเชิงเส้น (Nonlinear Gamma)” (Baker et al., 2005) ซึ่งเป็นความผิดพลาดทางเทคนิคอีกอย่างหนึ่งของเครื่องฉายภาพดิจิตอล กล่าวคือ ในการเก็บข้อมูลภาพริ้วแสงแต่ละภาพจะมีค่าแกรมมาที่ต่างกันหรือไม่คงที่นั่นเอง วิธีการที่นำเสนอนี้ในงานวิจัยนี้ทำการเก็บข้อมูลภาพริ้วแสง 4 ภาพเพื่อนำมาใช้ในการคำนวณของเทคนิควิธีการเลื่อนเฟสเชิงตัวหนัง ภาพที่ 8 แสดงดงตัวอย่างภาพแกรมมาไม่เป็นเชิงเส้น ซึ่งแตกต่างจากภาพแกรมมาที่มีลักษณะเชิงเส้นดังแสดงในภาพที่ 9 ผลกระทบของแกรมมาไม่เป็นเชิงเส้นนี้คือทำให้ข้อมูลภาพสามมิติเกิดริ้วคลื่นขึ้นหรือเกิดความผิดพลาดอย่างมีนัยสำคัญในการแสดงผล ดังภาพที่ 10



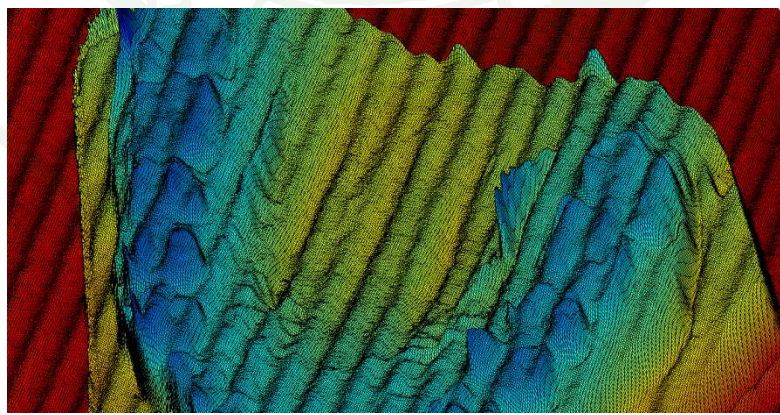
ภาพที่ 7 ตัวอย่างไม่เคลลพันปูนปลาสเตอร์ที่มีลักษณะลายตามร่องรอยของปรากฏการณ์สกรีน-คอร์เอฟเฟก (Screen Door Effect) แทรกซ้อนอยู่



ภาพที่ 8 ลักษณะข้อมูลภาพ 4 ภาพที่มีค่าแกรมมาไม่เป็นเชิงเส้น



ภาพที่ 9 ลักษณะข้อมูลภาพ 4 ภาพที่มีค่าแกรมมาเป็นเชิงเส้น



ภาพที่ 10 ข้อมูลภาพสามมิติเกิดริ้วคลื่นขึ้นเนื่องมาจากแกรมมาไม่เป็นเชิงเส้น

การแก้ไขปัญหานี้ได้ถูกนำเสนอโดย Guo et al. (2004) ซึ่งใช้วิธีการคำนวณหาค่าแกรมมาฟังก์ชันที่เหมาะสมซึ่งได้มาจาก การวิเคราะห์จากค่าสถิติของข้อมูลภาพพรีวิวแสง เทคนิคไวริน์สามารถลดทอนความผิดพลาดจากแกรมมาไม่เป็นเชิงเส้นได้ แต่อ่อน弱 ไร้ความสามารถหากหาค่าแกรมมาฟังก์ชันที่เหมาะสมนั้นมีความยุ่งยากซับซ้อน Skocaj and Leonardis (2000) ได้นำเสนอขั้นตอนวิธีเพื่อชดเชยแกรมมาไม่เป็นเชิงเส้นที่เกิดจากเครื่องจ่ายภาพดิจิตอลสำหรับการหาช่วงของภาพวัตถุ (Range Image) ซึ่งขั้นตอนวิธินี้สามารถทำงานได้ดีแต่ก็จะเสียเวลาในการปรับแต่ง (Calibrate) ฟังก์ชันที่ไม่เป็นเชิงเส้น Baker et al. (2008) ได้นำเสนอการขัดแกรมมาไม่เป็นเชิงเส้น โดยอาศัยหลักวิธีการวัดข้อมูลค่าเฟส (Phase Measuring Profilometry) ซึ่งมีความยุ่งยากซับซ้อนในการปรับแต่งอุปกรณ์ และพารามิเตอร์สำคัญต่างๆ Zhang and Huang (2005) นำเสนอหลักการปรับแต่งค่าแกรมมาของเครื่องจ่ายภาพดิจิตอลก่อนทำการคำนวณหาค่าความผิดพลาดของค่าเฟสและบรรจุลงในโครงสร้างข้อมูลตารางคืนหา (Look-up Table) ซึ่งจะถูกนำมาใช้ในการชดเชยความผิดพลาดต่อไป วิธีการนี้จะเสียเวลาในการปรับแต่งเครื่องจ่ายภาพที่เป็นระบบที่ไม่มีวัตถุและนำข้อมูลภาพที่จุดศูนย์กลางภาพมาทำการคำนวณวิเคราะห์หาค่าความผิดพลาดของค่าเฟสและบรรจุลงในโครงสร้างข้อมูลตารางคืนหา (Look-up Table) เพื่อใช้เป็นชุดข้อมูลทั่วไปในการชดเชยความผิดพลาดของค่าเฟสต่อไป การได้มำซึ่งชุดข้อมูลทั่วไปจะต้องทำการคำนวณการตรวจสอบแก้ค่าความผิดพลาดของเฟส (Phase Error Correction) ก่อน ซึ่งมีความยุ่งยากซับซ้อนและทั้งหมดนี้จะทำก่อนการคำนวณของระบบ (Offline Processing) และอีกทั้งเมื่อทำการเปลี่ยนเครื่องจ่ายภาพดิจิตอลหรือกล้องดิจิตอลก็จะต้องมาคำนวณวิธีการดังกล่าวอีกก็จะทำให้เสียเวลาในการปรับแต่งระบบเพิ่มขึ้น ดังตารางที่ 2 สรุปการเปรียบเทียบวิธีการแก้ไขปัญหาแกรมมาไม่เป็นเชิงเส้น

งานวิจัยชิ้นนี้จึงนำเสนอขั้นตอนวิธีซึ่งอาศัยเทคนิคการเก็บข้อมูลภาพ ก่อร่องรอย ในขั้นตอนการเก็บข้อมูลภาพให้เก็บข้อมูลที่มีบริเวณของวัตถุที่สนใจและบริเวณพื้นหลังที่เป็นระบบ โดยมองว่าข้อมูลภาพเป็นภาพที่สมบูรณ์คือภาพไม่มีการบิดเบือน จากนั้นเลือกข้อมูลภาพของบริเวณพื้นหลังที่เป็นระบบในแนวแกน y ของภาพมาทำการคำนวณตามขั้นตอนวิธีที่ได้ออกแบบโดยใช้การเปรียบเทียบระหว่างค่าเฟสจริงที่ได้จากการถ่ายภาพในห้องทดลองกับค่าเฟสในอุณหภูมิที่ได้จากการคำนวณตามทฤษฎี เพื่อให้ได้มำซึ่งชุดข้อมูลของค่าความต่างของค่าเฟสของข้อมูลชุดนั้นๆ จากนั้นนำไปใช้ในการชดเชยค่าความต่างของค่าเฟสของข้อมูลชุดดังกล่าว ซึ่งการคำนวณเป็นแบบออนไลน์ (Online Processing) และไม่มีขึ้นกับเครื่องจ่ายภาพดิจิตอลและกล้องดิจิตอลที่ใช้งาน

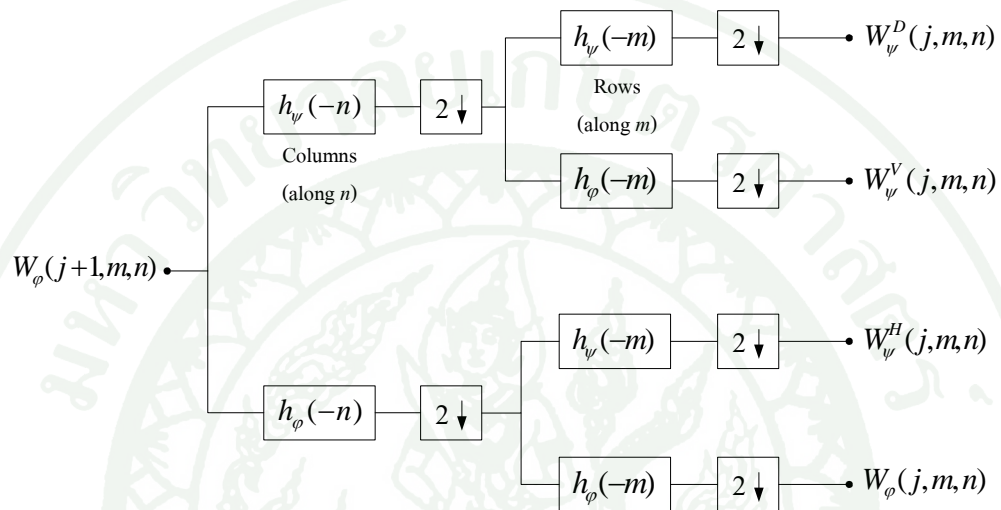
ตารางที่ 2 การเปรียบเทียบวิธีการแก้ไขปัญหาแกมมาไม่เป็นเชิงเส้น

ชื่อผู้นำเสนอ	วิธีการที่นำเสนอ
Skocaj'00	หาฟังก์ชันที่ไม่เป็นเชิงเส้น โดยอาศัยรูปแบบการหาค่าซึ่งของภาพวัดๆ
Guo'04	คำนวณค่าแกมมาจากการวิเคราะห์ค่าทางสถิติของภาพริวแสง
Zhang'05	หลักการปรับแต่งค่าแกมมาของเครื่องจ่ายภาพลึกเหลว
Zhang'07	คำนวณค่าความต่างเฟสระหว่างเฟลาริงและเฟสอุดมคติและนำไปทำให้เป็นค่าทั่วไป (Generalized) และเก็บไว้ในโครงสร้างข้อมูลตารางคืนหา (LUT)
Baker'08	อาศัยหลักวิธีการวัดข้อมูลค่าเฟส (Phase Measuring Profilometry)
งานวิจัยชิ้นนี้	ขั้นตอนวิธีสำหรับคำนวณค่าเฟลาริงและอุดมคติที่รวดเร็วและอัตโนมัติ โดยอาศัยเทคนิคทางการภาพเพื่อลดการคำนวณ และเก็บใน LUT สำหรับใช้ชุดเซย์

5. การแปลงเวฟเล็ตแบบดีสครีท 2 มิติ (2D Discrete Wavelet Transform)

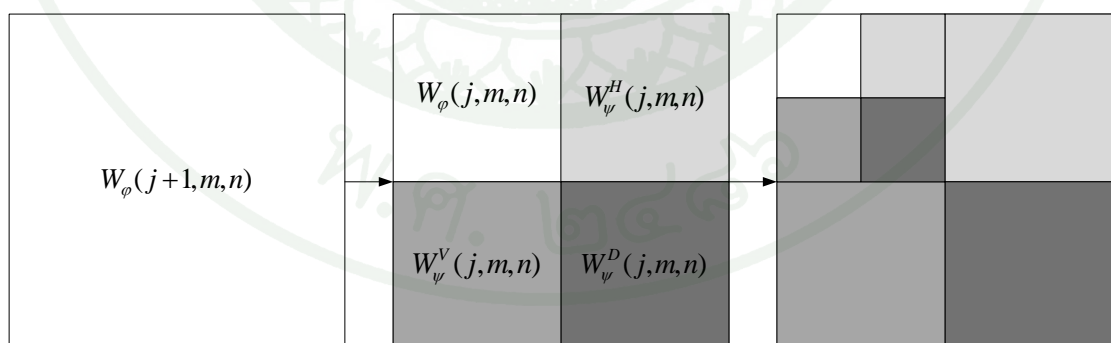
วิธีการแปลงเวฟเล็ตแบบดีสครีท 2 มิติ เป็นการแปลงเวฟเล็ตของข้อมูลภาพ (Gonzalez and Woods, 2002) โดยใช้หลักการแยกองค์ประกอบภาพออกเป็นแบบความถี่ย่อย (Subband Decomposition) ซึ่งวิธีการแยกองค์ประกอบด้วยเวฟเล็ต (Wavelet Decomposition) แสดงดังภาพที่ 11 โดยกำหนดให้ $W_{\psi}(j+1, m, n)$ คือภาพด้านบน $h_{\psi}(-n)$ และ $h_{\psi}(-n)$ คือ ค่าสัมประสิทธิ์ของเวฟเล็ตสำหรับการแยกองค์ประกอบหรือคือตัวกรองความถี่ต่ำและตัวกรองความถี่สูงของแนวคอลัมน์ของภาพตามลำดับ จากนั้นนำความถี่แนวคอลัมน์มาทำการลดการซักตัวอย่าง (Down-Sampling) และนำผลที่ได้มาผ่านตัวกรอง $h_{\psi}(-m)$ และ $h_{\psi}(-m)$ คือ ค่าสัมประสิทธิ์ของเวฟเล็ตสำหรับการแยกองค์ประกอบหรือคือตัวกรองความถี่ต่ำและตัวกรองความถี่สูงของแนว宙ของภาพตามลำดับ และทำการลดการซักตัวอย่าง (Down-Sampling) ก็จะได้ข้อมูลภาพผลลัพธ์ แสดงดังภาพที่ 12 โดยที่ $W_{\psi}(j, m, n)$ คือ ข้อมูลภาพที่ผ่านตัวกรองความถี่ต่ำทั้ง宙และคอลัมน์ $W_{\psi}^D(j, m, n)$ คือ ข้อมูลภาพที่ผ่านตัวกรองความถี่สูงทั้ง宙และคอลัมน์ $W_{\psi}^V(j, m, n)$ คือ ข้อมูลภาพที่ผ่านตัวกรองความถี่ต่ำในแต่ละ宙และผ่านความถี่ต่ำในแต่ละคอลัมน์ จะสังเกตเห็นได้ว่าองค์ประกอบภาพที่เป็นแนวตั้งจะปรากฏชัดเจน $W_{\psi}^H(j, m, n)$ คือ ข้อมูลภาพที่ผ่านตัวกรองความถี่ต่ำในแต่ละ宙และผ่านความถี่สูงในแต่ละคอลัมน์ จะสังเกตเห็นได้ว่าองค์ประกอบภาพที่เป็นแนวอนจะปรากฏชัดเจน เมื่อผ่านการทำวิธีการแยกองค์ประกอบด้วยเวฟเล็ต (Wavelet Decomposition) เรียบร้อยแล้วก็จะสามารถเลือกใช้ข้อมูลภาพที่อยู่ในความถี่ตั้งกล่าวมาประยุกต์ใช้งานต่อไปได้ และจากนั้นสามารถสร้างข้อมูลกลับได้ด้วยวิธีการสร้างกลับจากองค์ประกอบด้วยเวฟ

เล็ต (Wavelet Reconstruction) ซึ่งแสดงดังภาพที่ 13 โดยใช้วิธีการแปลงย้อนกลับของวิธีการแยกองค์ประกอบด้วยเวลเล็ต (Wavelet Decomposition) ก็จะได้ข้อมูลภาพที่มีขนาดเท่ากับข้อมูลภาพขาเข้า (Input) และฟังก์ชันเวลเล็ตมีให้เลือกใช้หลายรูปแบบซึ่งนั้นจะทำให้มีค่า $h_\psi(-m)$ และ $h_\varphi(-n)$ ตามลักษณะของฟังก์ชันเวลเล็ตนั้นๆ ไปด้วย ดังนั้นจึงต้องเลือกฟังก์ชันเวลเล็ตให้เหมาะสมกับงาน



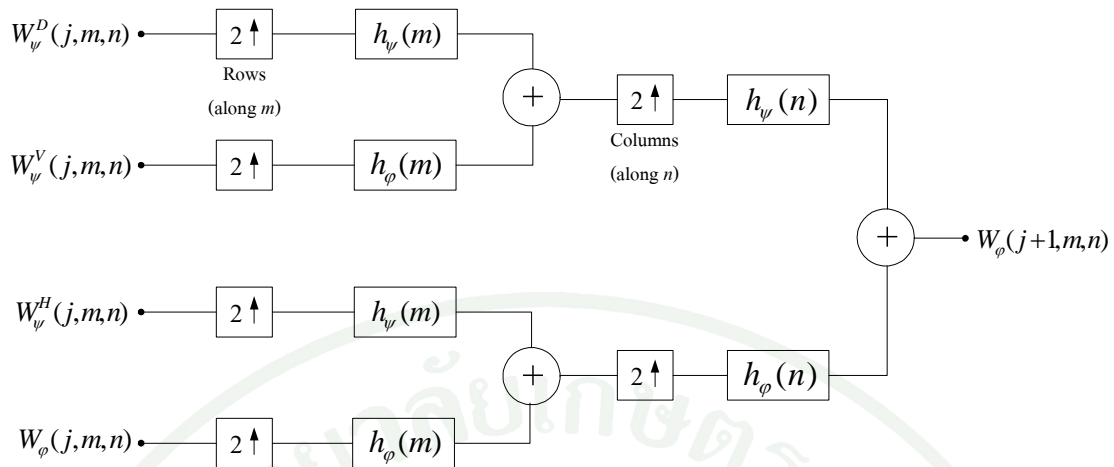
ภาพที่ 11 วิธีการแยกองค์ประกอบด้วยเวลเล็ต (Wavelet Decomposition)

ที่มา: Gonzalez and Woods (2002)



ภาพที่ 12 ภาพผลลัพธ์ของการทำวิธีการแยกองค์ประกอบด้วยเวลเล็ต (Wavelet Decomposition)

ที่มา: Gonzalez and Woods (2002)



ภาพที่ 13 วิธีการสร้างกลับจากองค์ประกอบด้วยเวฟเล็ต (Wavelet Reconstruction)

ที่มา: Gonzalez and Woods (2002)

6. อัตรา率ระหว่างกำลังของสัญญาณเทียบกับสัญญาณรบกวน (Signal to Noise Ratio, SNR)

ค่า SNR ใช้เป็นค่าบ่งชี้ถึงคุณภาพของข้อมูลภาพ ซึ่งได้จากการเปรียบเทียบระหว่างค่าเฉลี่ยของสัญญาณเทียบกับค่าเบี่ยงเบนมาตรฐานของสัญญาณรบกวน (Gonzalez and Woods, 2002) โดยที่ถ้าค่าเบี่ยงสูงแสดงว่าข้อมูลภาพมีคุณภาพสูงหรือดีนั่นเอง ในทางกลับกันถ้าค่าเบี่ยงน้อยแสดงว่า ข้อมูลภาพมีคุณภาพต่ำ สามารถเขียนเป็นสมการที่ (16)

$$SNR = 20 \log \left(\frac{\frac{1}{MN} \sum_{x=0}^M \sum_{y=0}^N f_s}{\sqrt{\frac{1}{MN} \sum_{x=0}^M \sum_{y=0}^N (f_n - \bar{f}_n)^2}} \right) \quad (16)$$

โดย f_s คือข้อมูลภาพผลลัพธ์ที่ผ่านการปรับปรุง f_n คือข้อมูลภาพของสัญญาณรบกวน \bar{f}_n คือค่าเฉลี่ยของข้อมูลภาพสัญญาณรบกวน M และ N คือขนาดกว้างและยาวของข้อมูลภาพ ค่า SNR นี้มีหน่วยเป็นเดซิเบล (dB)

7. ตัวกรองช่วง (Range Filtering)

Range Filter หรือตัวกรองช่วงในการวิเคราะห์พื้นผิว (The MathWorks, Inc, 2010) ซึ่งใช้เป็นตัวบ่งบอกค่าความรำเรียนหรือความชุกระของพื้นผิวภาพค่าเฟสที่ถูกคลี่ (Phase Unwrapped) โดยใช้หน้ากากของตัวกรองเฉลี่ย w ขนาด $m \times n$ พิกเซลกระทำลงบนภาพค่าเฟสดังกล่าว สามารถเขียนได้ดังสมการ (17)

$$g(x, y) = \max_{\substack{-a \leq s \leq a \\ -b \leq t \leq b}} (w(s, t)f(x + s, y + t)) - \min_{\substack{-a \leq s \leq a \\ -b \leq t \leq b}} (w(s, t)f(x + s, y + t)) \quad (17)$$

โดย $g(x, y)$ คือภาพผลลัพธ์, $a = (m - 1)/2$, $b = (n - 1)/2$ ซึ่งเป็นค่าจำนวนเต็มบวก และ $w(s, t) = 1$ สมการนี้จะต้องใช้ $x = 0, 1, 2, \dots, M - 1$ และ $y = 0, 1, 2, \dots, N - 1$ และจะทำการหาค่าเฉลี่ยของค่าสีของภาพผลลัพธ์ $g(x, y)$ และนำค่าที่ได้มาใช้เป็นตัวชี้วัดลักษณะของพื้นผิว โดยค่าตัวเลขยิ่งน้อยจะหมายถึงพื้นผิวที่มีความรำเรียนมาก ในทางตรงกันข้าม ถ้าค่าตัวเลขยิ่งมากแสดงว่าพื้นผิวมีความชุกรามาก เช่นกัน

อุปกรณ์และวิธีการ

อุปกรณ์

1. ฮาร์ดแวร์ระบบ

1.1 เครื่องคอมพิวเตอร์ (Computer) มีรายละเอียดดังนี้

Intel(R) Core(TM) 2 Duo CPU P7450 @ 2.13 GHz, 2.96 GB of RAM

1.2 เครื่องฉายภาพแบบหลักเหลว (LCD Projector) รุ่น EPSON-EMP1700

1.3 กล้องดิจิตอล (Digital Camera) รุ่น Canon 450D

2. ซอฟต์แวร์ระบบ

2.1 ระบบปฏิบัติการwin โดวส์

2.2 MATLAB® และ Scilab

2.3 Borland C++ Builder™

2.4 Canon Digital Camera SDKs

วิธีการ

กล่าวถึงภาพรวมขั้นตอนวิธีการสร้างภาพ 3 มิติ การจัดวางแผนอุปกรณ์และวิธีการที่นำเสนอ
แบ่งตามปัญหาที่ต้องการแก้ไข ดังนี้

1. ภาพรวมขั้นตอนวิธีการสร้างภาพ 3 มิติ

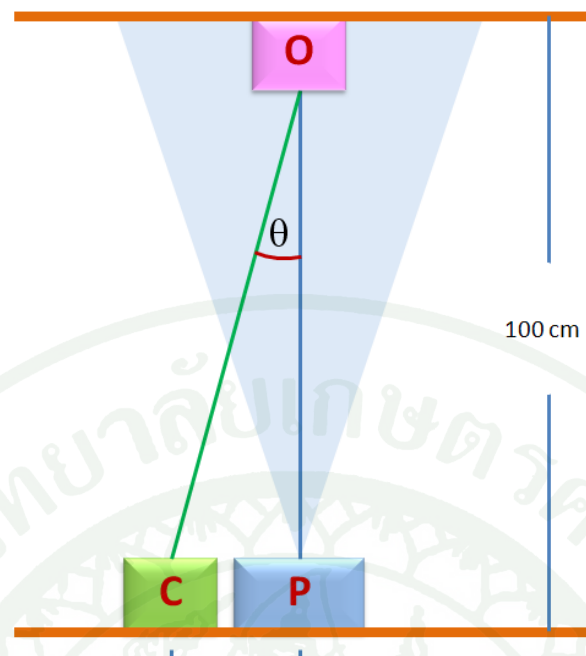
ภาพรวมขั้นตอนวิธีการสร้างภาพ 3 มิติ แสดงดังภาพที่ 14 เริ่มต้นด้วยการสร้างภาพริวแสง
ช่องถูกนยาด้วยเครื่องฉายภาพหลักเหลวแลบันทึกภาพด้วยกล้องดิจิตอล จากนั้นทำการแก้ไขสกรีน
คอร์โอเฟค ลำดับต่อมาทำการวิเคราะห์ภาพริวแสง ตรวจแก้ไขค่าเฟส แก้ไขแกรมมาไม่เป็นเชิงเส้น
และการคลี่เฟส สุดท้ายทำการลบสัญญาณพาหะ โดยที่กล้องสีเขียวเป็นส่วนที่ได้ทำการนำเสนอด้วย
และเพิ่มเข้าไปในขั้นตอนวิธีการสร้างภาพ 3 มิติ



ภาพที่ 14 ภาพรวมของขั้นตอนวิธีการสร้างภาพสามมิติและวิธีการที่นำเสนอ

1. การจัดวางอุปกรณ์

งานวิจัยนี้ได้เลือกใช้เครื่องฉายภาพหลักเหลว (LCD Projector) รุ่น EPSON-EMP1700 สำหรับฉายภาพริ้วแสง และกล้องดิจิตอล รุ่น Canon 450D สำหรับเก็บข้อมูลภาพริ้วแสง ในการจัดวางอุปกรณ์ได้ทำการวางแผนกล้องดิจิตอลและเครื่องฉายภาพหลักเหลวอยู่ในระนาบเดียวกันและมีระยะห่างระหว่างกันประมาณ 15 เซนติเมตร ส่วนระยะห่างระหว่างระนาบที่มีวัตถุและระนาบที่วางอุปกรณ์มีระยะประมาณ 100 เซนติเมตร เมื่อนำมาคำนวณหาค่ามุมได้ประมาณ 8.5313 องศา ซึ่งเป็นมุมเล็กๆ เพียงได้กับการถ่ายภาพในมุมมองด้านบน (Top View) ตามที่กล่าวไว้ในส่วนของขอบเขตและข้อจำกัด ภาพรวมการจัดวางอุปกรณ์แสดงดังภาพที่ 15 และการจัดวางอุปกรณ์ในห้องทดลองแสดงดังภาพที่ 16



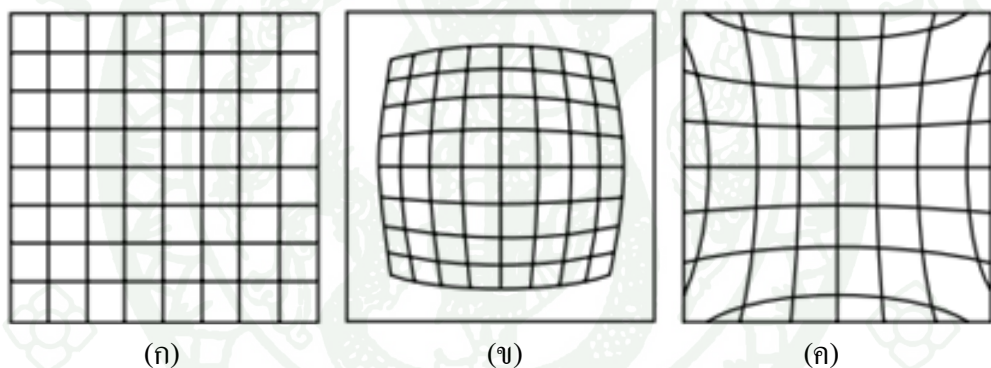
O = Object, C = Camera, P = Projector
 θ = Angle between Camera and Projector

ภาพที่ 15 ภาพรวมการจัดวางอุปกรณ์



ภาพที่ 16 การจัดวางอุปกรณ์ในห้องทดลอง

ในบางกรณีถ้าเลือกใช้กล้องสำหรับเก็บข้อมูลภาพริวั่งราคากลุ่มหรือใช้กล้องเวนแคมจะทำให้เกิดภาพบิดเบือน (Image Distortion) ได้ เนื่องมาจากคุณสมบัติของเลนส์กล้อง ซึ่งลักษณะของการบิดเบือน แสดงดังภาพที่ 17 การแก้ปัญหาของภาพบิดเบือนสามารถแก้ปัญหาได้ด้วยการใช้ไลบรารีที่มีชื่อว่า OpenCV ซึ่งมีฟังก์ชันการทำงานสำหรับแก้ไขภาพบิดเบือนอยู่พร้อมแล้วและมีการใช้งานที่ง่าย (Bradski, Gary and Adrian Kaehler, 2008) เริ่มต้นจากการใช้ภาพตารางหมากรุก (Checkerboard) เพื่อทำการเทียบมาตรฐาน (Calibration) ด้วยฟังก์ชัน cvCalibrateCamera2() เมื่อผ่านฟังก์ชันนี้แล้วจะได้ค่าสัมประสิทธิ์การบิดเบือน (Distortion Coefficient) ซึ่งค่านี้จะนำมาใช้กับฟังก์ชัน cvUndistort2() ในฟังก์ชันนี้แบ่งออกเป็นสองส่วนคือ cvInitUndistortionMap() สำหรับสร้างแผนที่การบิดเบือนและ cvRemap() เป็นการนำแผนที่การบิดเบือนมาใช้กับข้อมูลภาพที่ต้องการแก้ไข ตัวอย่างภาพผลลัพธ์ที่ผ่านการแก้ไขแสดงดังภาพที่ 18 การแก้ไขภาพบิดเบือนต้องทำก่อนการแก้ไขสกรีนคอร์เรฟเฟค



ภาพที่ 17 ภาพตารางที่ถูกบิดเบือนในลักษณะต่างๆ (ก) คือภาพตารางที่ไม่ถูกบิดเบือน
 ภาพ (ข) คือความผิดรูปโป่งกลาง (Barrel Distortion) และ (ค) คือความผิดรูปคอดกลาง
 (Pincushion Distortion)

ที่มา: Vass, Gergely and Tamás Perlaki (2003)



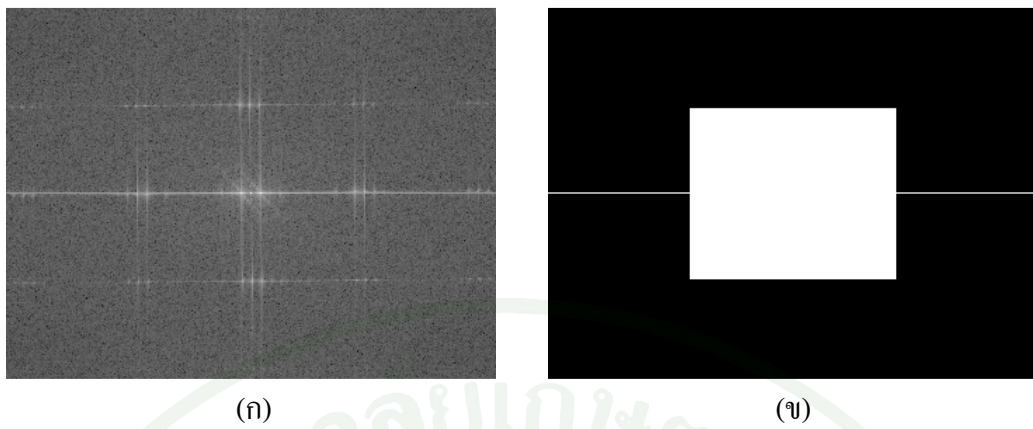
ภาพที่ 18 ตัวอย่างภาพที่ถูกบิดเบือน (ก) ภาพด้านฉบับ และ (ข) ภาพผลลัพธ์

ที่มา: Bradski, Gary and Adrian Kaehler (2008)

2. ปัญหาสกรีนดอร์อฟเฟค (Screen Door Effect)

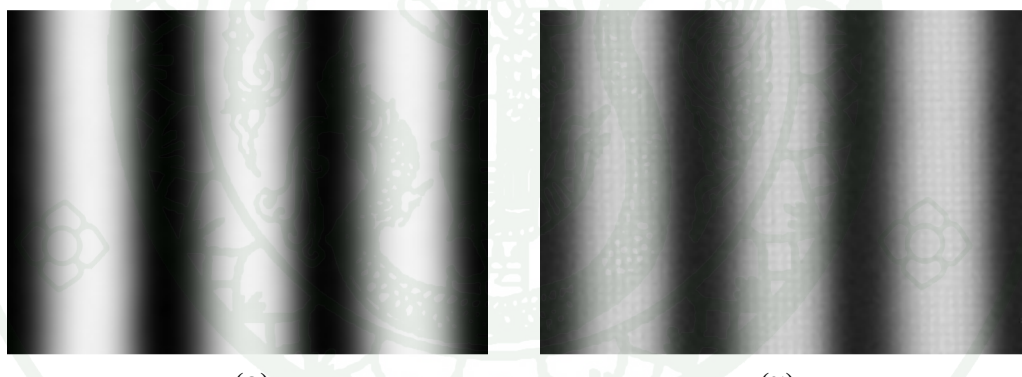
งานวิจัยชิ้นนี้นำเสนอวิธีการปรับเลนส์ให้อยู่ในจุดโฟกัส (Focus) ซึ่งปรับได้ยากกว่าการทำการเลื่อนออกจากจุดโฟกัส (Defocus) โดยอาศัยการสังเกตเห็นลายตาข่ายของสกรีนดอร์อฟเฟคที่ชัดเจน วิธีการนี้จะทำให้ภาพริวัส่งมีความคมชัดไม่เบลอ แต่ข้อมูลภาพริวัส่งที่บันทึกมาได้จะมีลายตาข่ายแทรกซ้อนอยู่

การทดลองเบื้องต้นในส่วนของการปรับปรุงและวิเคราะห์ภาพที่ถูกกรอบกวนด้วยปรากฏการณ์สกรีนดอร์อฟเฟคโดยการใช้การแปลงฟูเรียร์ (Fourier Transform) (ศศิน และคณะ, 2553ก) แปลงข้อมูลภาพให้อยู่ในโดเมนความถี่ และออกแบบตัวกรองແฉบความถี่ (Band Reject Filtering) และดังภาพที่ 19 ต่อมาทำการเกลี่ยรายละเอียดของสัญญาณรบกวนด้วยตัวกรองเฉลี่ย (Average Filtering) ดังภาพที่ 20 และแสดงผลข้อมูลภาพ 3 มิติเปรียบเทียบระหว่างภาพด้านฉบับที่ยังไม่ผ่านการปรับปรุงกับภาพผลลัพธ์ที่ผ่านการปรับปรุงแล้ว ดังภาพที่ 21 และ 22 จะเห็นว่าภาพ 3 มิติมีลักษณะลูกคลื่นปรากฏชิ้นซึ่งเกิดมาจากแกรมไม่เป็นเรียงเส้น และจากการทดลองพบว่าการออกแบบตัวกรองແฉบความถี่ด้วยหลักวิธีการของ การแปลงฟูเรียร์นี้ มีความซับซ้อนและยุ่งยากใน การหาสัมประสิทธิ์ของสัญญาณรบกวน งานวิจัยชิ้นนี้ ได้นำเสนอวิธีการของการแปลงเวฟเล็ตแทน การแปลงฟูเรียร์



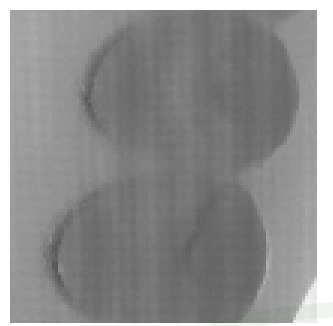
**ภาพที่ 19 ความถี่ของภาพริ้วแสง (ก) ความถี่ของภาพตันฉบับที่มีสัญญาณรบกวนรายการ
และ (ข) ตัวกรองสำหรับกำจัดสัญญาณรบกวนดังกล่าว**

ที่มา: ศศิน และคณะ (2553ก)

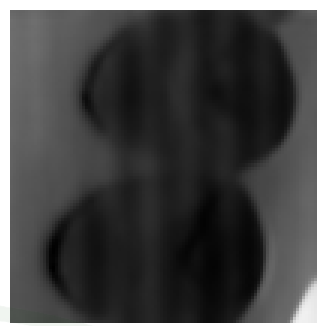


ภาพที่ 20 การเรียกแทนที่ในภาษาพิริยา (ก) ภาพผลลัพธ์ที่ผ่านการปรับปรุง และ (ข) ภาพต้นฉบับ

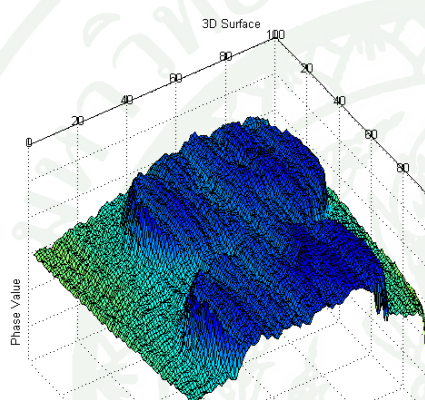
ที่มา: ศศิน และคณะ (2553ก)



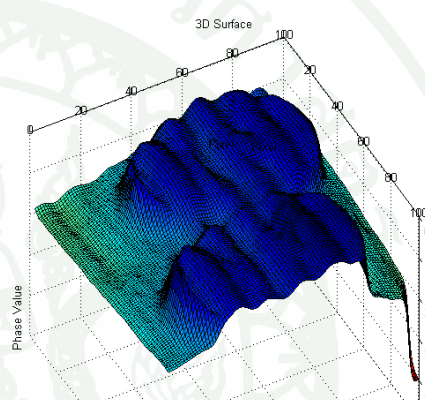
(ก) ภาพค่าเฟสต้นฉบับ



(ข) ภาพค่าเฟสผลลัพธ์



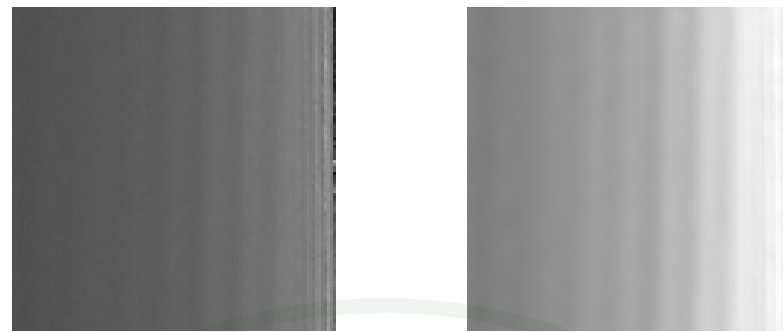
(ก) ภาพ 3 มิติต้นฉบับ



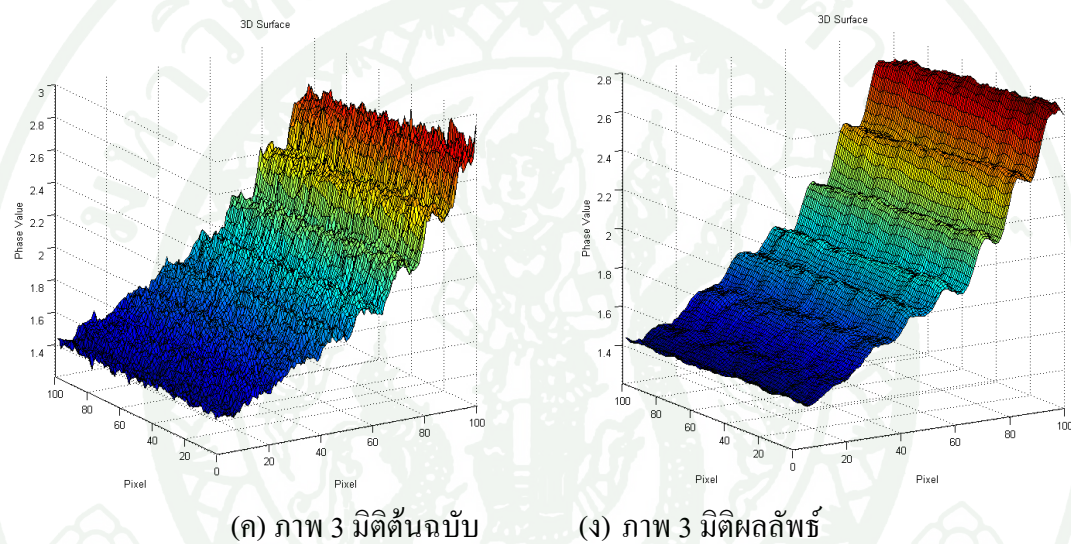
(ข) ภาพ 3 มิติผลลัพธ์

ภาพที่ 21 ภาพตัวอย่างโมเดลฟัน

ที่มา: ศศิน และคณะ (2553ก)



(ก) ภาพค่าเฟสต้นฉบับ (ข) ภาพค่าเฟสผลลัพธ์



ภาพที่ 22 ภาพตัวอย่างส่วนผิวโถง

ที่มา: ศศิน และคณะ (2553ก)



ภาพที่ 23 แผนภาพของเทคนิควิธีการแปลงเวฟเล็ตมาใช้สำหรับปรับปรุงภาพริวแสง

สมมติฐานของการแก้ปัญหานี้ คือ เนื่องจากสัญญาณรบกวนรายคาบ (Periodic Noise) มีลักษณะเป็นลายตามาๆ และเห็นว่าการทำ Wavelet Decomposition ของข้อมูลภาพจะทำให้แยกสัญญาณที่มีลักษณะแนวตั้ง แนวนอน และสัญญาณเฉลี่ยได้ จึงคาดว่าลายตามาๆที่เกิดขึ้นนี้จะถูกกลบออกจากภาพ ได้โดยการทำ Wavelet Decomposition ด้วย Wavelet Function แบบต่างๆ จึงได้นำเสนอเทคนิควิธีการแปลงเวฟเล็ตมาใช้สำหรับปรับปรุงภาพริวแสงร่วมด้วย แสดงดังภาพที่ 23

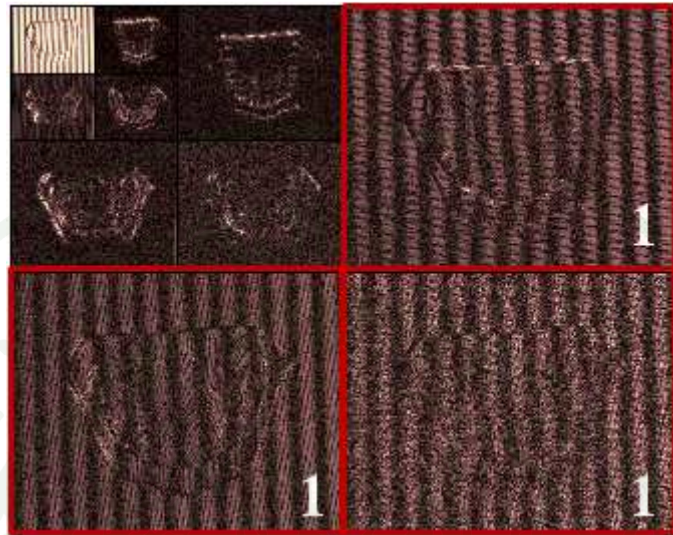
วิธีการนี้จะนำข้อมูลภาพที่มีปัญหาดังกล่าวมาทำการแยกองค์ประกอบด้วยเวฟเล็ตฟังก์ชัน โดยเลือกใช้เวฟเล็ตฟังก์ชันตามต้องการ ซึ่งเวฟเล็ตฟังก์ชันที่นิยมใช้กัน มีดังนี้ Haar, Daubechies, Symlets, Coiflets, Biorthogonal, Reverse Biorthogonal และ "Discrete" Meyer เป็นต้น แสดงดังตารางที่ 3 และทำการเลือกสัมประสิทธิ์ของเวฟเล็ตที่เป็นสัญญาณรบกวนออกไปจากข้อมูลภาพ ลำดับต่อไปก็ทำการสร้างกลับจากองค์ประกอบด้วยเวฟเล็ต จะได้ภาพผลลัพธ์ที่ไม่มีปัญหาดังกล่าว ปรากฏอยู่ ขั้นตอนสุดท้ายจะทำการเกลี่ยรายละเอียดของสัญญาณรบกวนด้วยตัวกรองเฉลี่ย (Average Filtering) ด้วยขนาดหน้ากาก (Mask) 3×3 พิกเซล ภาพผลลัพธ์ที่ผ่านการเกลี่ยรายละเอียดของสัญญาณรบกวน

ตารางที่ 3 รายชื่อเวฟเล็ตฟังก์ชันที่นิยม

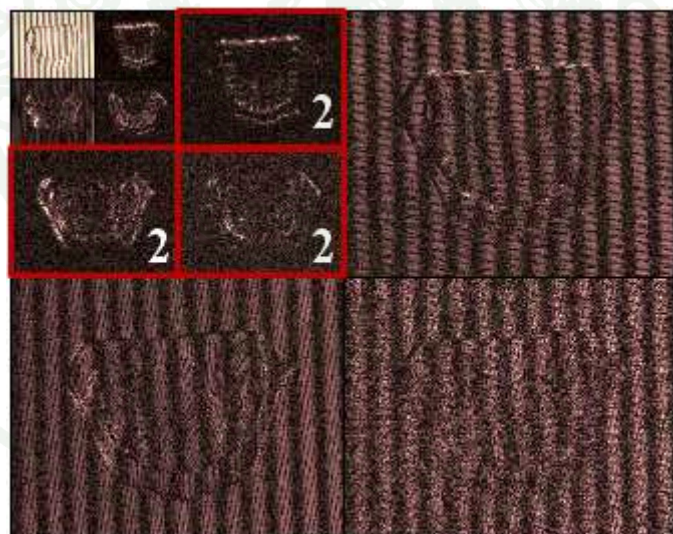
ตรรกะเวฟเล็ต (Wavelet Families)	เวฟเล็ตฟังก์ชัน (Wavelets)
Daubechies	'db1' or 'haar', 'db2', 'db3', 'db4', 'db5', 'db6', ... , 'db20'
Coiflets	'coif1', 'coif2', 'coif3', 'coif4', 'coif5'
Symlets	'sym2', 'sym3', 'sym4', 'sym5', 'sym6', ... , 'sym12', ... , 'sym20'
Discrete Meyer	'dmey'
Biorthogonal	'bior1.1', 'bior1.3', 'bior1.5', 'bior2.2', 'bior2.4', 'bior2.6', 'bior2.8', 'bior3.1', 'bior3.3', 'bior3.5', 'bior3.7', 'bior3.9', 'bior4.4', 'bior5.5', 'bior6.8'
Reverse Biorthogonal	'rbio1.1', 'rbio1.3', 'rbio1.5', 'rbio2.2', 'rbio2.4', 'rbio2.6', 'rbio2.8', 'rbio3.1', 'rbio3.3', 'rbio3.5', 'rbio3.7', 'rbio3.9', 'rbio4.4', 'rbio5.5', 'rbio6.8'

งานวิจัยนี้ (ศศิน และคณะ, 2553; Tiendee, Sasin et al., 2010a) ทำการแยกองค์ประกอบของเวฟเล็ตออกเป็น 3 ระดับด้วย 'dmey' แสดงดังภาพที่ 24 ซึ่งมีสมมติฐานในการทดลองเลือกเวฟเล็ตฟังก์ชันดังกล่าว คือ คิดว่าสัมประสิทธิ์ของฟังก์ชันนี้จะมากพอและสามารถที่จะแยกสัญญาณ รบกวนรายคานออกໄไปได้ อีกทั้งในตรรกะนี้มีให้เลือกใช้เพียงตัวเดียว ทำให้เลือกใช้ได้ง่ายกว่าเมื่อ เทียบกับตรรกะอื่นๆ ที่มีหลากหลาย จากการทดลองดังกล่าว จะสังเกตได้ว่าสัญญาณรบกวนราย คานจะอยู่ในตำแหน่งของระดับที่ 1 แสดงดังภาพที่ 24 และถ้าเวฟเล็ตฟังก์ชันที่เลือกใช้นั้นสามารถ แยกสัญญาณรบกวนออกໄไปได้ จะสังเกตเห็นว่าข้อมูลในระดับที่ 2 นั้นจะไม่มีสัญญาณรบกวนราย คานหลงเหลืออยู่ แสดงดังภาพที่ 25 หรือกล่าวอีกนัยหนึ่งว่าตำแหน่งที่ไม่มีสัญญาณรายคาน หลงเหลืออยู่คือตำแหน่งถัดจากตำแหน่งที่มีสัญญาณรายคานนั้นเอง ฉะนั้นจากการทดลองนี้จะ พบร่วมกับความสามารถในการแยกองค์ประกอบเพียง 2 ระดับก็ได้เช่นกัน เพื่อลดการคำนวณลง จาก ปรากฏการณ์ดังกล่าวจะเป็นตัวบ่งบอกถึงการเลือกใช้เวฟเล็ตฟังก์ชันที่เหมาะสมสำหรับสัญญาณ รบกวนรายคานที่เกิดจากผลกระทบสกรีนคอมพิวเตอร์ ดังนั้นในการเลือกใช้เวฟเล็ตฟังก์ชันจะต้อง เลือกใช้ฟังก์ชันที่มีสัญญาณในระดับถัดไปจากสัญญาณรบกวนรายคานที่มีค่าเบี่ยงเบนมาตรฐาน น้อยๆ ในทางตรงกันข้ามถ้าเวฟเล็ตฟังก์ชันนั้นๆ ไม่สามารถแยกสัญญาณรบกวนรายคานออกໄไป ได้ก็จะทำให้ค่าเบี่ยงเบนมาตรฐานระดับนี้มีค่าสูง จึงไม่ควรเลือกใช้เวฟเล็ตฟังก์ชันดังกล่าว และ จากผลเบื้องต้นเห็นว่าเวฟเล็ตฟังก์ชัน 'dmey' มีคุณสมบัติดังที่กล่าวมา แต่กระนั้นเพื่อความชัดเจน

ยิ่งขึ้น งานวิจัยนี้ได้ทำการทดลองในส่วนของการเลือกใช้เวฟเล็ตฟังก์ชันโดยอาศัยหลักวิธีและการพิจารณาข้างต้น

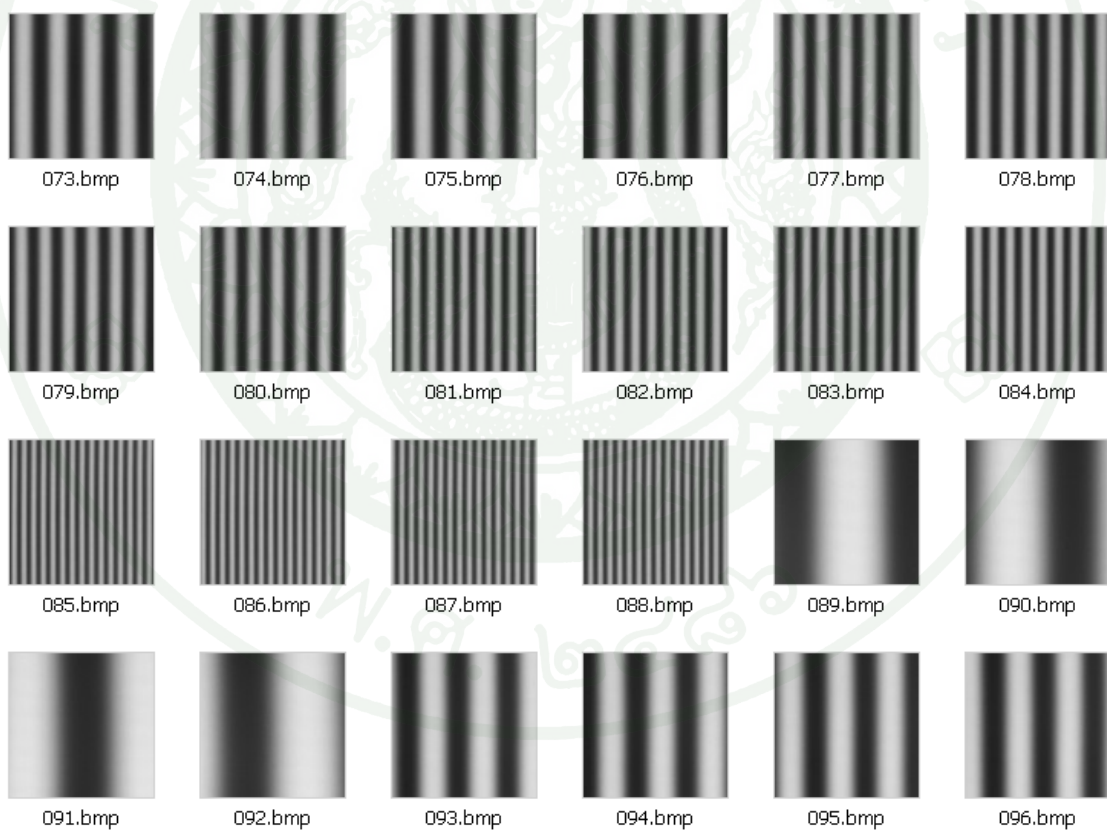


ภาพที่ 24 องค์ประกอบระดับที่ 1 จะสังเกตได้ว่าสัญญาณรบกวนอยู่ในตำแหน่งนี้



ภาพที่ 25 องค์ประกอบระดับที่ 2 จะไม่มีสัญญาณรบกวนหลังเหลืออยู่

การเลือกใช้ไฟล์เล็ตฟังก์ชัน งานวิจัยชิ้นนี้ ได้ทำการนำข้อมูลภาพรีวิวแสงที่ไม่มีวัตถุซึ่งลูก
รบกวนด้วยสัญญาณรบกวนดังกล่าว จำนวน 160 ภาพ มีขนาด 500 x 500 พิกเซล แสดงดังภาพที่ 26
โดยนำมาคำนวณและพิจารณาตามหลักวิธีดังกล่าวด้วยการใช้ไฟล์เล็ตฟังก์ชันตามตารางที่ 3 รวม
ทั้งหมด 75 ฟังก์ชัน และคำนวณหาค่าเบี่ยงเบนมาตรฐานในชั้นคลาสไปจากชั้นของสัญญาณรบกวน¹
รายคาน นำข้อมูลที่ได้มาเรียงลำดับฟังก์ชันไฟล์เล็ตที่ให้ค่าเบี่ยงเบนมาตรฐานจากน้อยไปมาก ซึ่ง
งานวิจัยนี้พิจารณาไฟล์เล็ตฟังก์ชัน 10 อันดับแรก แสดงดังตารางที่ 4 และพบว่าใน 10 อันดับแรกนี้
มีไฟล์เล็ตฟังก์ชัน ‘dmey’ อยู่ในอันดับที่ 4 ดังนั้นงานวิจัยชิ้นนี้จึงเลือกใช้การแก้ไขปัญหาสกรีนคอร์
เอฟเฟกต์ด้วยไฟล์เล็ตฟังก์ชัน ‘dmey’ นอกจากนี้ผลการทดลองของการเลือกใช้ไฟล์เล็ตฟังก์ชันนี้ยังทำ
ให้ทราบถึงฟังก์ชันที่เหมาะสมกับการแก้ไขปัญหาสกรีนคอร์เอฟเฟก และสามารถศึกษาคุณสมบัติ
ของฟังก์ชันเหล่านี้เพื่อไปทำการออกแบบโมเดลทางคณิตศาสตร์ที่มีความยืดหยุ่นต่อระบบและ
เหมาะสมต่อไป

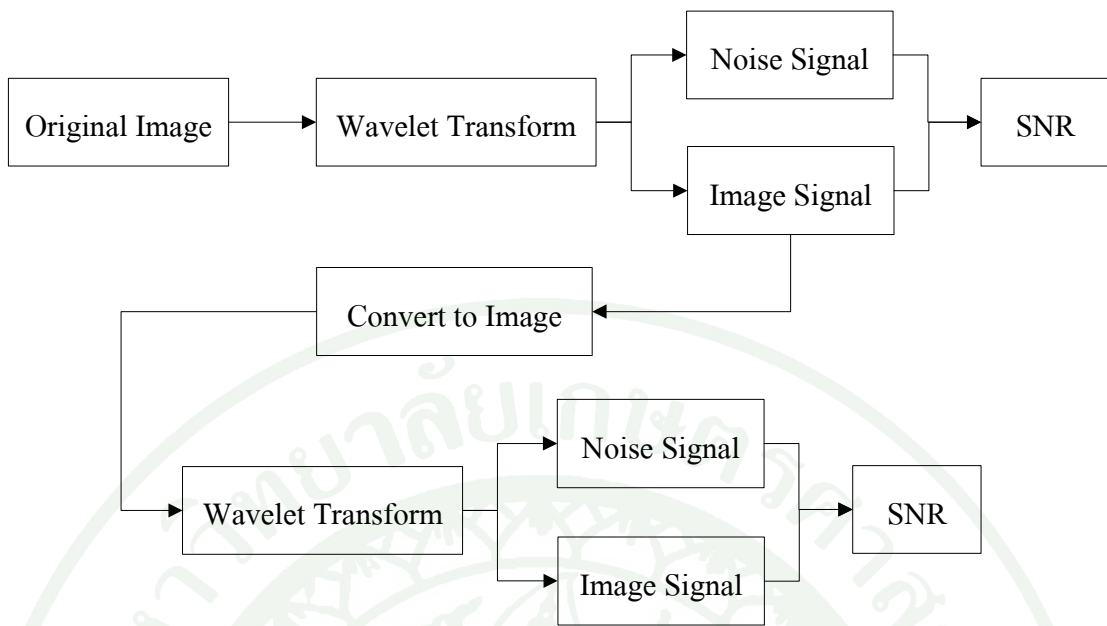


ภาพที่ 26 ตัวอย่างภาพสัญญาณรบกวนที่ใช้สำหรับทดลองการเลือกใช้ไฟล์เล็ตฟังก์ชัน

ตารางที่ 4 เวฟเล็ตฟังก์ชัน 10 อันดับแรกที่มีค่าเบี่ยงเบนมาตรฐานจากน้อยไปมาก

ชื่อเวฟเล็ตฟังก์ชัน	ค่าเบี่ยงเบนมาตรฐาน
‘db17’	1.169766
‘db19’	1.182460
‘sym16’	1.187655
‘dmey’	1.211469
‘sym19’	1.231700
‘db15’	1.238862
‘db20’	1.241497
‘db13’	1.260485
‘sym13’	1.261056
‘sym20’	1.272298

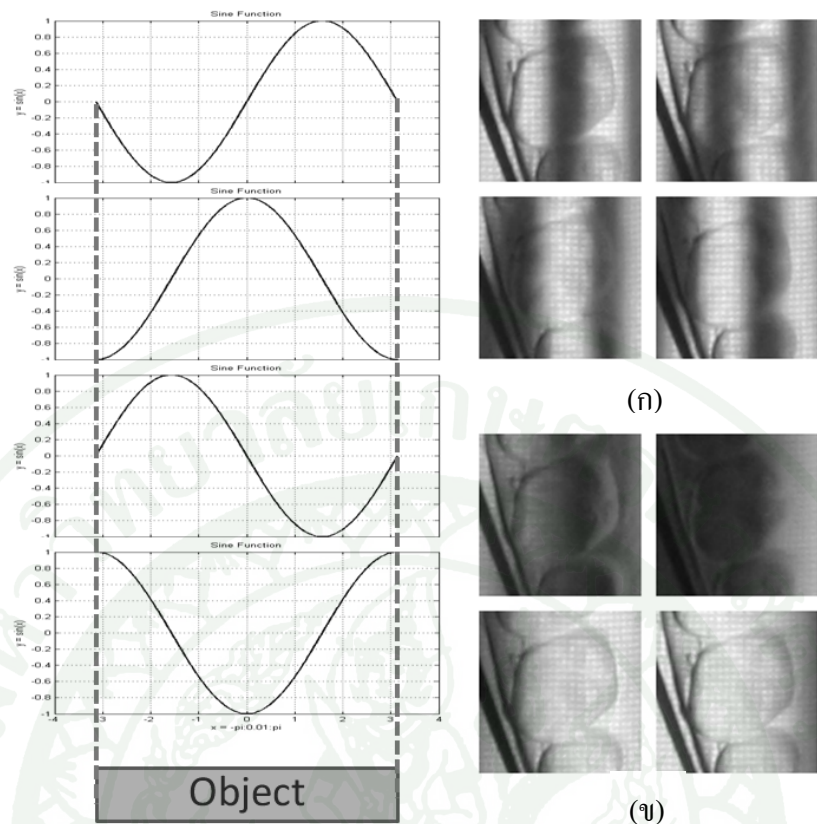
กระบวนการทดลองของงานวิจัยนี้ มีการรวมของการทดลองแสดงดังภาพที่ 27 เริ่มต้นด้วย การเก็บข้อมูลภาพโนมเดลปูนปลาสเตอร์ 9 ชิ้น ซึ่งถูกฉายด้วยริเวรแสง 4 รูปแบบ ฉะนั้นจะได้ ข้อมูลภาพจำนวน 36 ข้อมูลภาพ และภาพตัวอย่างสเปกตรัมของข้อมูลภาพเพื่อแสดงถึงสัญญาณ รบกวนรายการ แสดงดังภาพที่ 29 ถึง 38 ตามลำดับ และทำการลบสัญญาณรบกวนสกรีนคอร์เรอฟ เพื่อกองจากข้อมูลภาพดังกล่าว โดยนำข้อมูลภาพด้านบนที่มีสัญญาณรบกวนรายการมาทำการ แปลงเวฟเล็ตซึ่งเลือกใช้เวฟเล็ตฟังก์ชัน ‘dmey’ และแยกองค์ประกอบด้วยเวฟเล็ตเพียง 1 ระดับ เพาะสัญญาณรบกวนอยู่ในระดับนั้น ซึ่งเมื่อผ่านขั้นตอนการแยกองค์ประกอบด้วยเวฟเล็ตแล้วจะ ทำให้ได้ข้อมูล 2 ส่วนคือ ข้อมูลภาพและข้อมูลของสัญญาณรบกวน ฉะนั้นข้อมูลดังกล่าวจะนำไปทำการคำนวณหาค่าอัตรา率ห่วงกำลังของสัญญาณเทียบกับสัญญาณรบกวน (Signal to Noise Ratio, SNR) ซึ่งค่าอัตรา率นี้จะเป็นตัวบ่งชี้คุณภาพของข้อมูลภาพ ค่า SNR ที่คำนวณได้ในลำดับนี้คือค่า บ่งชี้คุณภาพของภาพด้านบน จากนั้นนำข้อมูลภาพที่ผ่านการแยกสัญญาณรบกวนมาแล้ว ทำการ แปลงด้วยเวฟเล็ตอีกรอบเพื่อแยกสัญญาณข้อมูลภาพและสัญญาณรบกวนออก และนำค่าเหล่านั้นมา ทำการคำนวณค่า SNR ซึ่งจะเป็นค่าบ่งชี้คุณภาพของภาพผลลัพธ์และนำเวฟเล็ตฟังก์ชันจากตารางที่ 4 ตัวอื่นๆ มาทำการทดลองตามข้างต้นและบันทึกผลเปรียบเทียบ



ภาพที่ 27 ภาพรวมการทดลองสำหรับการแก้ไขปัญหาสกรีนดอร์อฟเฟค

การเลือกใช้ริวແສງໃຫ້ເໝາະສົມກັບວັດຖຸນັ້ນ ລວມເລືອກໃຫ້ບັນດາວັດຖຸມີບັນດາໄກລໍເຄີຍຫົ່ວ້ອ
ເທົ່າກັບຄວາມກ້ວາງຂອງຮົວແສງຫຼືຄ່າຄາບຂອງຄລື່ນຮູບປີ້ຈິນ ແສດງຕັ້ງກາພທີ່ 28 ສ່ວນຂອງກາພ (ກ) ເປັນ
ການເລືອກໃຫ້ບັນດາຮົວແສງທີ່ເໝາະສົມ ກລ່າວົງສົມ ສ່ວນຂອງບຣິເວນຟິນມີກາພພາດຜ່ານຂອງຮົວແສງທີ່ເຕັມ
ຈຳນວນຄາບຂອງຄລື່ນຮູບປີ້ຈິນ ກີ່ຈະທຳໄໝເມື່ອນຳໄປກຳນວນສ້າງເປັນກາພ 3 ມີຄີຈະ ໄດ້ຮາຍລະເອີຍດໍທີ່ດີ
ແລະຂັດເຈນ ສ່ວນກາພ (ບ) ເປັນການເລືອກໃຫ້ບັນດາຮົວແສງທີ່ໄໝເໝາະສົມ ກລ່າວົງສົມ ຮົວແສງທີ່ພາດຜ່ານ
ບຣິເວນຟິນໄໝກຽບເຕັມລູກຄລື່ນ ຜົ່ງຈະທຳໄໝມີປັບປຸງໃນການຄລື່ຟິເພີເພຣະກາຄລື່ຟິເພີຈະຕ້ອງໄດ້ຮົວແສງ
ທີ່ກຽບເຕັມລູກຄລື່ນແລະຄ້າສາມາຄຄລື່ຟິເພີໄດ້ກີຈະໄໝໄດ້ຮາຍລະເອີຍດອງກາພທີ່ຂັດເຈນ ນອກຈາກນັ້ນ
ອາຈະເລືອກໃຫ້ຄວາມກ້ວາງຮົວແສງທີ່ມີບັນດາເລືອກວ່າວັດຖຸກີ່ໄດ້ ແຕ່ການເລືອກບັນດາຄວາມກ້ວາງຮົວແສງທີ່
ເກີນບັນດາວັດຖຸຈະທຳໄໝມີປັບປຸງທີ່ກ່າວມາແລ້ວຂ້າງຕົ້ນ

งานວິຈີຍືນື້ນໄດ້ເລືອກໃຫ້ກາພຮົວແສງທີ່ມີບັນດາຄວາມກ້ວາງຮົວແສງທີ່ມີບັນດາໃໝ່ກັບ ໂມໂຄດຮູບ
ແມວແລະ ໂມໂຄດຮູບປາ ເພຣະ ໂມໂຄດທີ່ສອງອັນນີ້ໄໝ່ກ່າວມີຮາຍລະເອີຍດອງພື້ນຜົວມານັກ ແລະ ໃນ
ສ່ວນຂອງ ໂມໂຄດຮູບປິນທັງ 5 ຂື້ນແລະ ໂມໂຄດຮູບປອກໄນ້ ເລືອກໃຫ້ຮົວແສງທີ່ມີບັນດາເລືອກເພື່ອເກີນ
ຮາຍລະເອີຍດ ເພຣະ ໂມໂຄດມີຮາຍລະເອີຍດຄ່ອນຂ້າງມາກ ສ່ວນ ໂມໂຄດຮູບສ່ວນ ໂດັ່ງໄດ້ກຳນົດສຸ່ມຄວາມ
ກ້ວາງຂອງຮົວແສງແລະບັນດາຂອງ ໂມໂຄດ ໂດຍຮວມແລ້ວມີບັນດາໄມ້ໄຫ້ຢູ່ມາກປະມາມ 10 x 15 ເຊັນຕີເມຕຣ



ภาพที่ 28 การเลือกใช้ริมแสงให้เหมาะสมกับวัตถุ



(ก) ภาพริ้วแสดงรูปแบบที่ 1



(ข) ภาพริ้วแสดงรูปแบบที่ 2

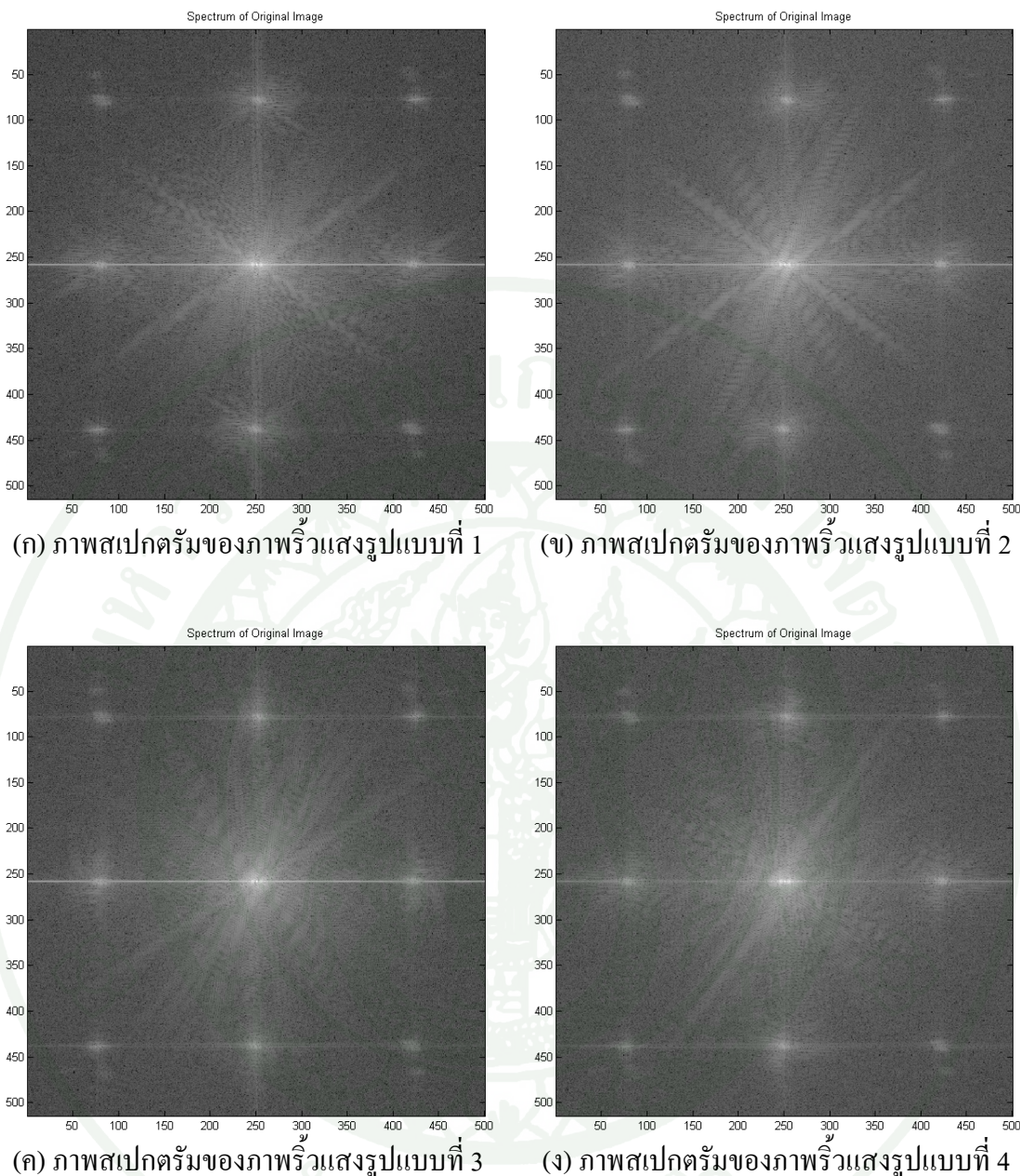


(ค) ภาพริ้วแสดงรูปแบบที่ 3

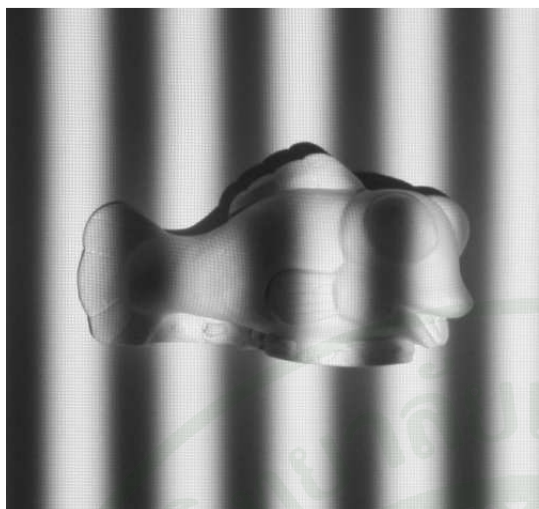


(ง) ภาพริ้วแสดงรูปแบบที่ 4

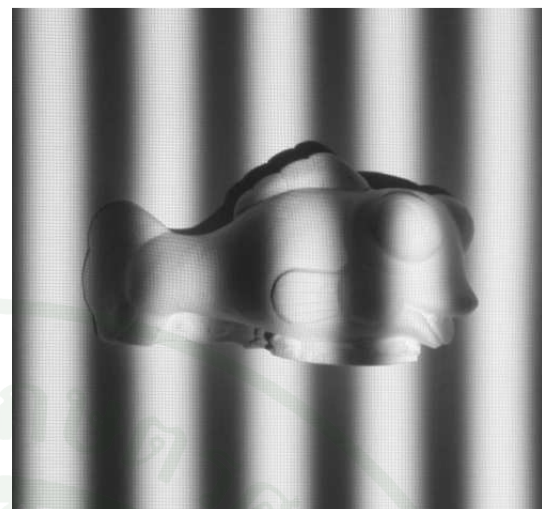
ภาพที่ 29 โไมเคลลุนปุนปลายเตอร์รูปแมว ขนาดภาพ 500 x 514 พิกเซล



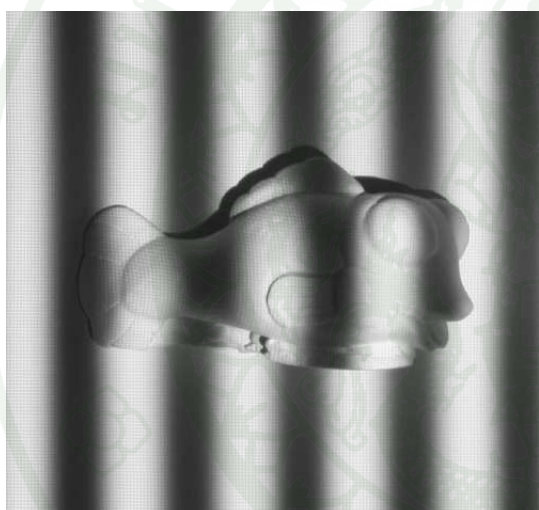
ภาพที่ 30 ภาพスペกตรัมของโมเดลปุ่นปลาสเตอร์รูปแมวที่มีสัญญาณรบกวนรายการ



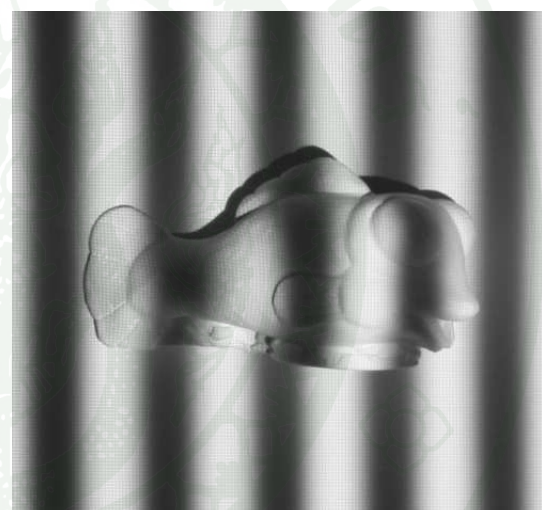
(ก) ภาพริ้วแสงรูปแบบที่ 1



(ก) ภาพริ้วแสงรูปแบบที่ 2

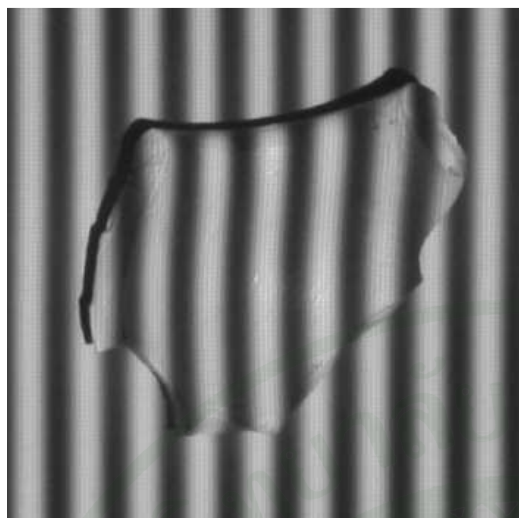


(ก) ภาพริ้วแสงรูปแบบที่ 3



(ก) ภาพริ้วแสงรูปแบบที่ 4

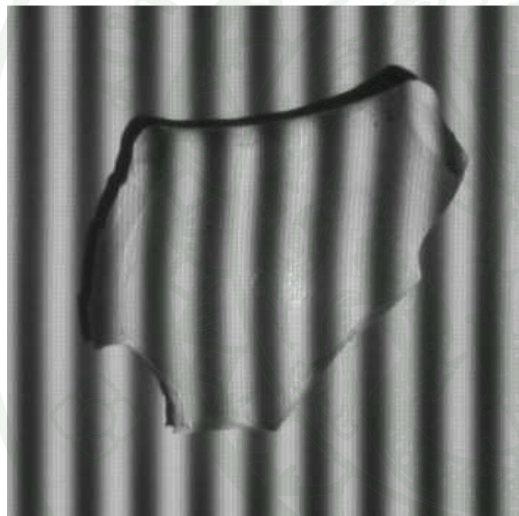
ภาพที่ 31 โ้มเดลปุนปลาสเตอร์รูปปла ขนาดภาพ 500 x 475 พิกเซล



(ก) ภาพริ้วแสงรูปแบบที่ 1



(ข) ภาพริ้วแสงรูปแบบที่ 2

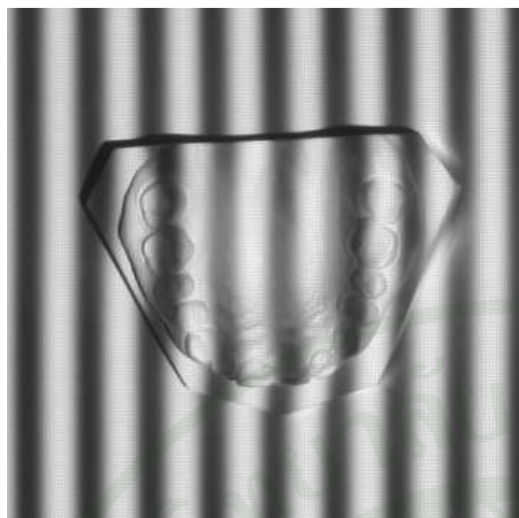


(ค) ภาพริ้วแสงรูปแบบที่ 3



(ง) ภาพริ้วแสงรูปแบบที่ 4

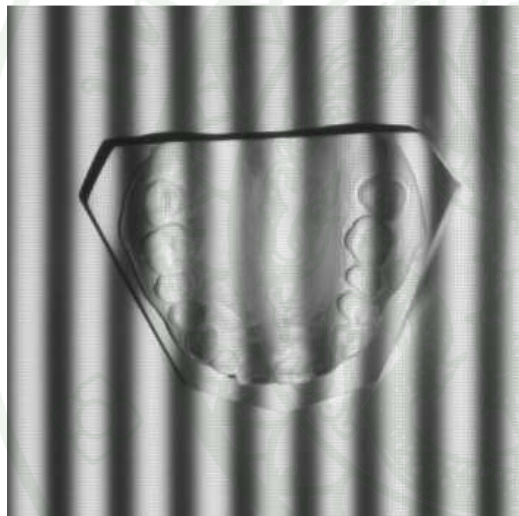
ภาพที่ 32 โ้มคลปุนปลาสเตอร์รูปส่วนโถง ขนาดภาพ 350 x 350 พิกเซล



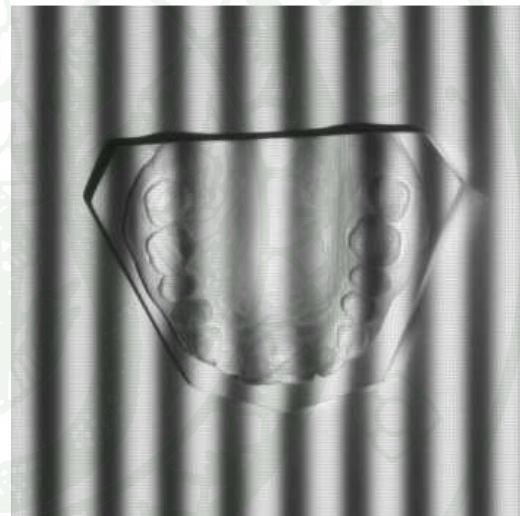
(ก) ภาพริ้วแสดงรูปแบบที่ 1



(ข) ภาพริ้วแสดงรูปแบบที่ 2

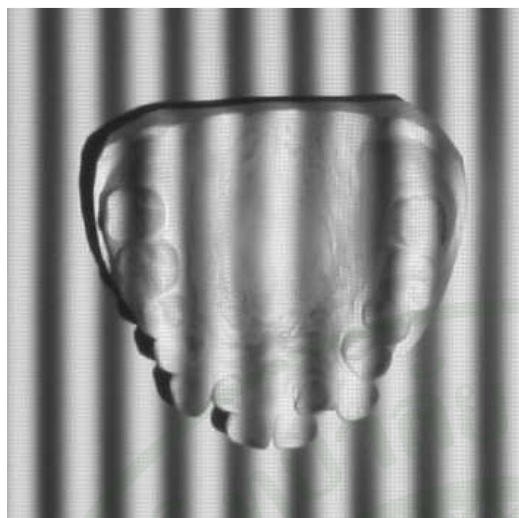


(ค) ภาพริ้วแสดงรูปแบบที่ 3



(ง) ภาพริ้วแสดงรูปแบบที่ 4

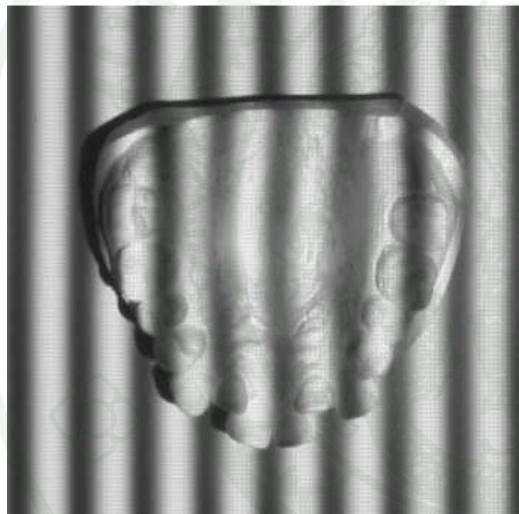
ภาพที่ 33 โ้มเคลล์ฟันปูนปลาสเตอร์ ชิ้นที่ 1 ขนาดภาพ 350 x 350 พิกเซล



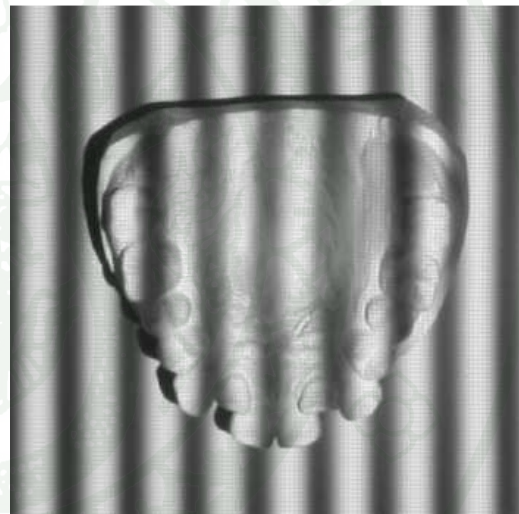
(ก) ภาพริ้วแสดงรูปแบบที่ 1



(ข) ภาพริ้วแสดงรูปแบบที่ 2

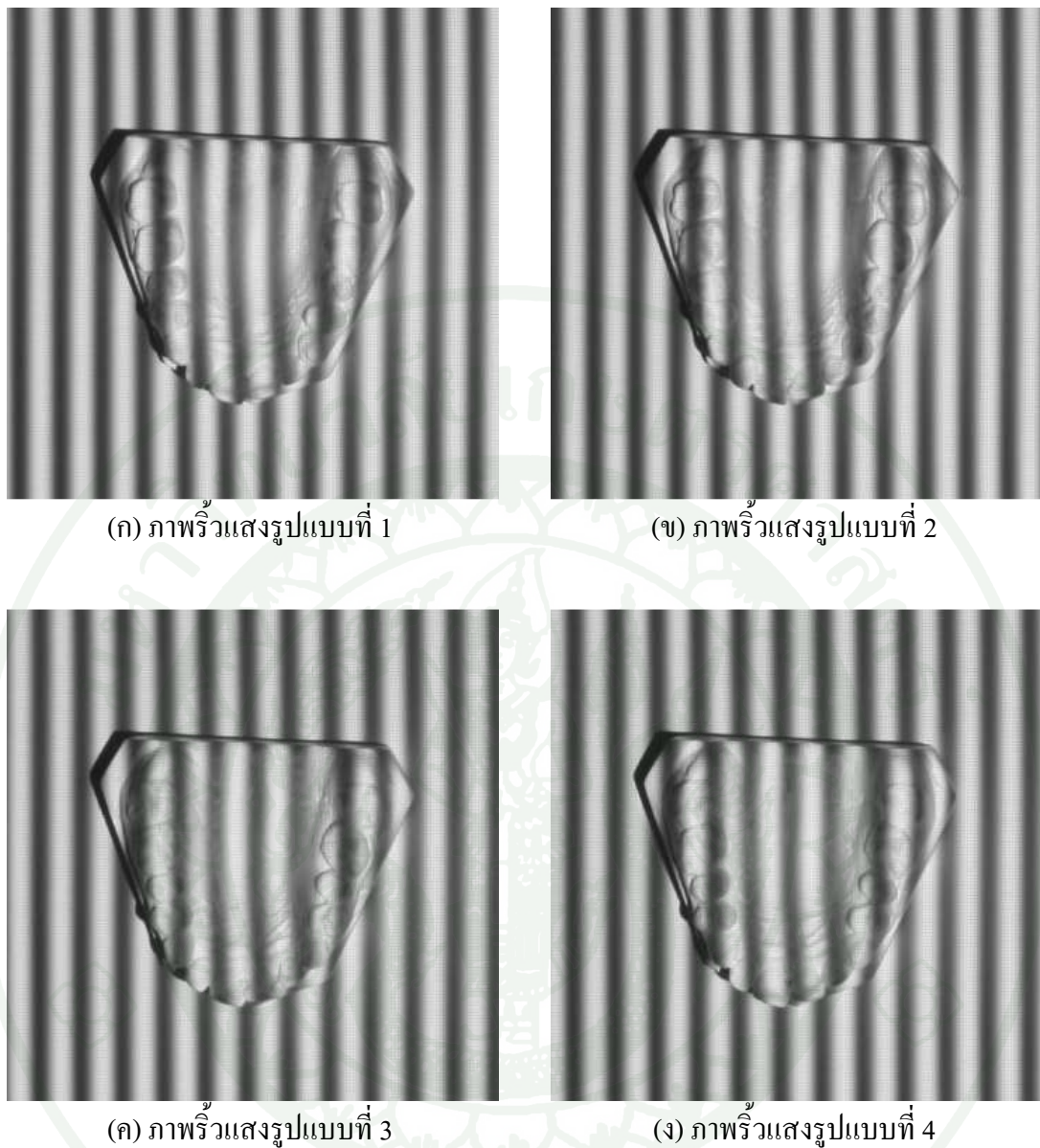


(ค) ภาพริ้วแสดงรูปแบบที่ 3

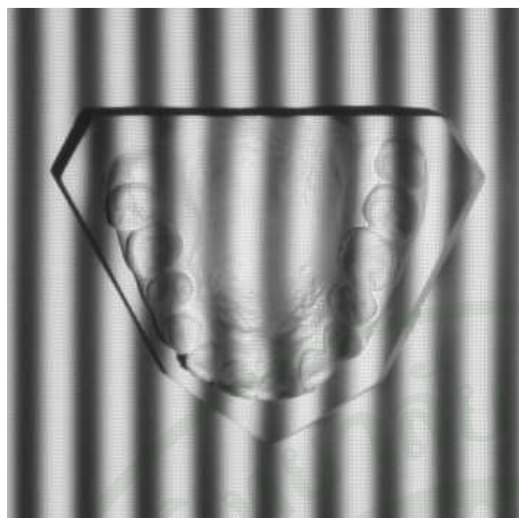


(ง) ภาพริ้วแสดงรูปแบบที่ 4

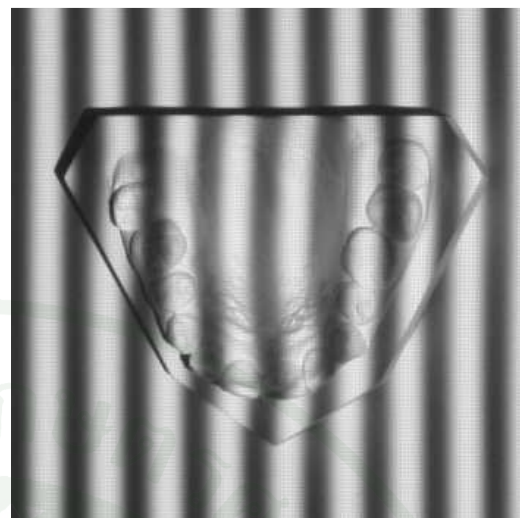
ภาพที่ 34 โ้มเคลล์ฟันปุนปลาสเตอร์ ชิ้นที่ 2 ขนาดภาพ 350 x 350 พิกเซล



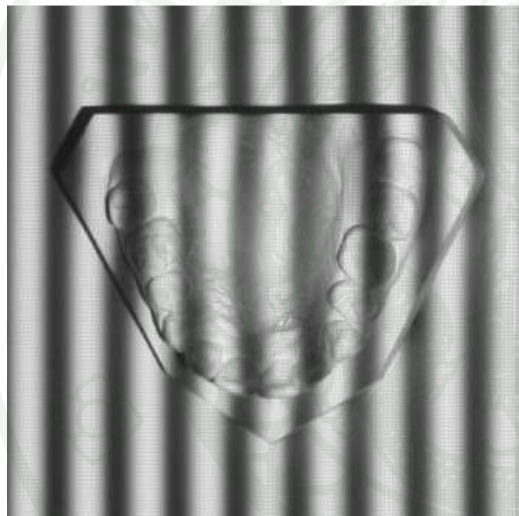
ภาพที่ 35 โ้มเคลล์ฟันปุนปลาสเตอร์ ชิ้นที่ 3 ขนาดภาพ 350 x 350 พิกเซล



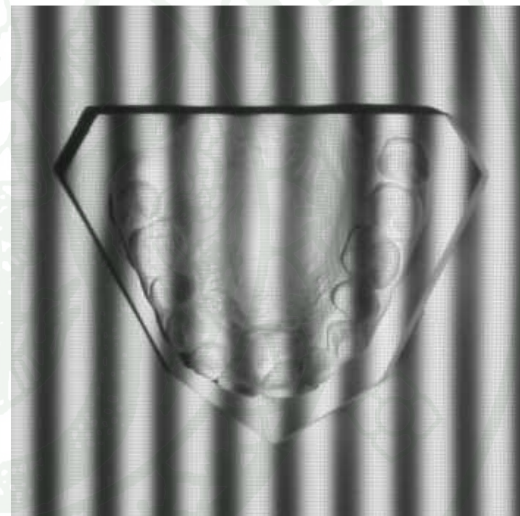
(ก) ภาพริ้วแสดงรูปแบบที่ 1



(ข) ภาพริ้วแสดงรูปแบบที่ 2

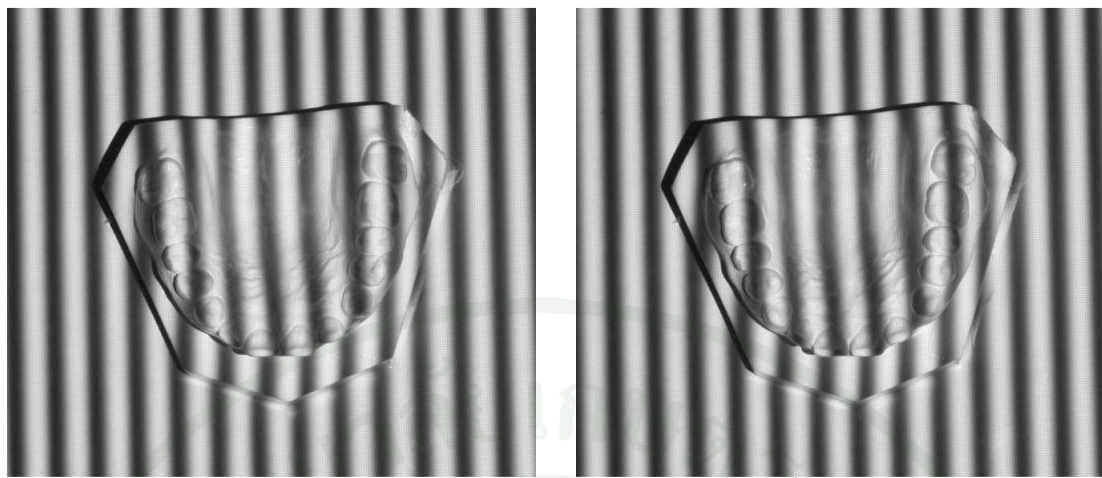


(ค) ภาพริ้วแสดงรูปแบบที่ 3



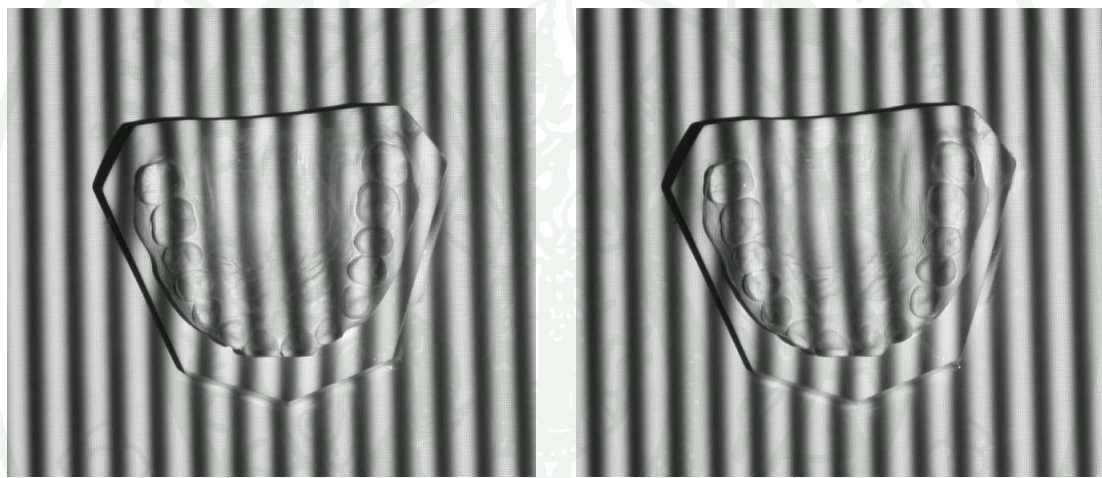
(ง) ภาพริ้วแสดงรูปแบบที่ 4

ภาพที่ 36 โ้มเคลล์ฟันปุนปลาสเตอร์ ชิ้นที่ 4 ขนาดภาพ 350 x 350 พิกเซล



(ก) ภาพริ้วแสดงรูปแบบที่ 1

(ข) ภาพริ้วแสดงรูปแบบที่ 2



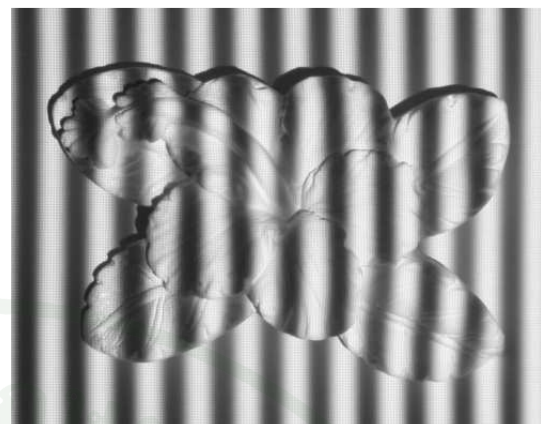
(ค) ภาพริ้วแสดงรูปแบบที่ 3

(ง) ภาพริ้วแสดงรูปแบบที่ 4

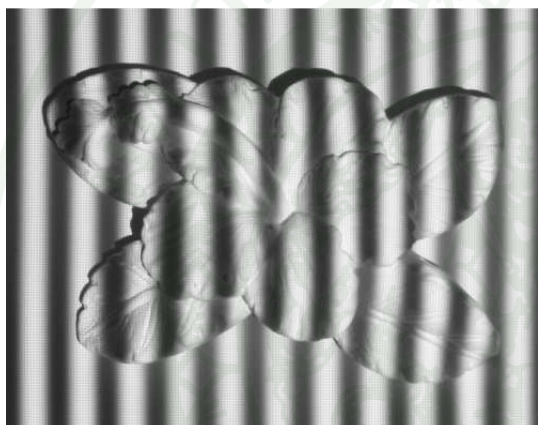
ภาพที่ 37 โ้มเดลฟินปูนปลาสเตอร์ ชิ้นที่ 5 ขนาดภาพ 660 x 586 พิกเซล



(ก) ภาพริ้วแสงรูปแบบที่ 1



(ก) ภาพริ้วแสงรูปแบบที่ 2



(ก) ภาพริ้วแสงรูปแบบที่ 3



(ก) ภาพริ้วแสงรูปแบบที่ 4

ภาพที่ 38 โ้มเดลปุนปลายเตอร์รูปคลอกไม้ ขนาดภาพ 500 x 395 พิกเซล

3. ปัญหาแกมมาไม่เป็นเชิงเส้น

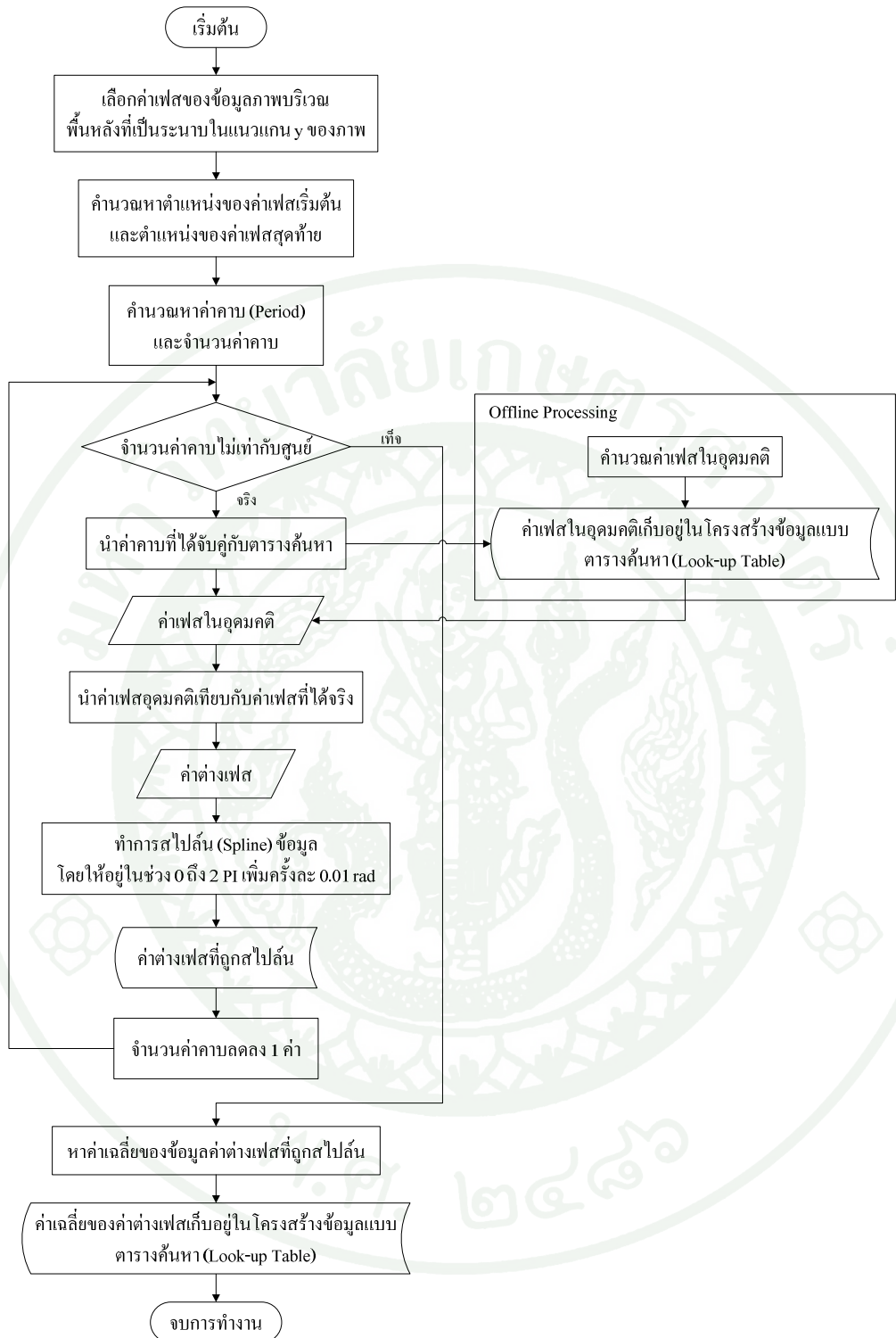
สมมติฐานของงานวิจัยชิ้นนี้ คือ จากการพิจารณาปัญหาของแกมมาไม่เป็นเชิงเส้น (Nonlinear Gamma) ในขั้นตอนการห่อเฟส (Phase Wrapping) จะสังเกตว่าค่าเฟสมีลักษณะไม่เป็นเชิงเส้นต่างกับค่าเฟสในอุณหภูมิซึ่งมีลักษณะเป็นเส้นตรง จึงคาดว่าถ้านำค่าเฟสในอุณหภูมิซึ่งมีลักษณะเป็นเส้นตรงมาทำการห่อเฟสจะได้รับผลลัพธ์ที่ดีกว่า การห่อเฟสที่ไม่เป็นเส้นตรง เช่น กรณีที่มีความผิดพลาดของข้อมูลภาพที่มากเกินไป อาจทำให้ข้อมูลภาพไม่สามารถใช้ในการคำนวณได้

งานวิจัยชิ้นนี้ (Tiendee, Sasin et al., 2010b) นำเสนอขั้นตอนวิธีการ โดยอาศัยเทคนิคการเก็บข้อมูลภาพ ก่อร่องคือในขั้นตอนการเก็บข้อมูลภาพให้เก็บข้อมูลที่มีบริเวณของวัตถุที่สนใจและบริเวณพื้นหลังที่เป็นระนาบ โดยมองว่าข้อมูลภาพเป็นภาพที่สมบูรณ์คือไม่มีการบิดเบือน จากนั้น เลือกข้อมูลภาพของบริเวณพื้นหลังที่เป็นระนาบที่ผ่านการคำนวณหาค่าเฟสกลับคืน (Phase Retrieval) แล้วโดยเลือกข้อมูลในแนวแกน y ของภาพมาทำการคำนวณตามขั้นตอนวิธีที่ได้ออกแบบ แสดงดังภาพที่ 39 โดยใช้การเปรียบเทียบระหว่างค่าเฟสจริงที่ได้จากการห่อเฟสในอุณหภูมิที่ได้จากการคำนวณตามทฤษฎี เพื่อให้ได้มาระบุชุดข้อมูลของค่าความผิดพลาดของค่าเฟสของข้อมูลชุดนั้นๆ จากนั้นนำไปใช้ในการซัดเซยค่าความผิดพลาดของค่าเฟสของข้อมูลชุดดังกล่าว

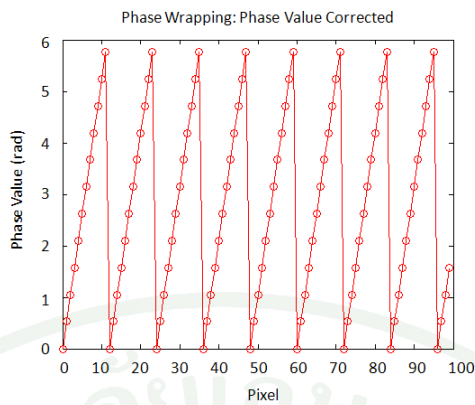
วิธีการนี้จะทำการซัดเซยค่าเฟสอันเนื่องมาจากแกมมาไม่เป็นเชิงเส้นเป็นขั้นตอนหลังจาก การตรวจแก้ค่าเฟส เริ่มแรกทำการสร้างโครงสร้างข้อมูลแบบตารางคืนหา (Look-up Table) ของค่าเฟสในอุณหภูมิซึ่งมีความกว้าง (Fringe Pitch) ขนาดต่างๆ โดยทำการสร้างภาพริ้วแสงจำนวน 4 รูปแบบ ในสัญญาณ 1 มิติ และทำการคำนวณหาค่าเฟสกลับคืน ซึ่งค่าเฟสกลับคืนนี้จะถูกห่อ (Wrapped Phase) อยู่ในช่วง 0 ถึง 2π เรเดียน (Radian, rad) ค่าเฟสที่ถูกห่อดังกล่าวจะถูกนำมาคำนวณเพื่อใช้ซัดเซยค่าเฟส แสดงดังภาพที่ 40 จะเลือกใช้ค่าเฟสที่ถูกห่อ 1 รายคาน ที่มีค่าความกว้างระหว่างริ้วแสง (Fringe Pitch) ต่างๆ กัน เริ่มตั้งแต่ 0 ถึง 256 พิกเซล โดยเพิ่มทีละ 1 พิกเซล ขั้นตอนต่อมาทำการกำหนดเลือกเส้น (Defined Lines Selection) เป็นการเลือกค่าเฟสของข้อมูลภาพบริเวณพื้นหลังที่เป็นระนาบในแนวแกน y ของส่วนบนหรือล่างของภาพ แสดงดังภาพที่ 41 ข้อมูลเหล่านี้จะถูกเขียนลงอะเรย์ (Array) ในลำดับต่อมาคำนวณหาค่าความกว้างของริ้วแสง และค่าความต่างเฟส ข้อมูลในอะเรย์จากขั้นตอนที่แล้ว จะนำมาทำการคืนหาความกว้างระหว่างริ้วแสง โดยทำการคำนวณด้วยการหาค่าปิกเซลเริ่มเปลี่ยน (Thresholding) ในอะเรย์ดังกล่าวจากตำแหน่งที่ i ถึง N เมื่อ i คือตำแหน่งเริ่มต้น มีค่าเป็น 0 และ N คือข้อมูลแนวแกน x ของข้อมูลภาพ

และบันทึกตำแหน่งของค่าที่เกินค่าปิดเริ่มเปลี่ยนไว้ในอะเรย์ 1 (Array 1) ส่วนในอะเรย์ 2 (Array 2) จะเก็บค่าผลต่างระหว่างตำแหน่งที่ i กับ $i+1$ ของอะเรย์ 1 ซึ่งก็คือความกว้างของริวแสง แสดงดังภาพที่ 42 ถัดมานำข้อมูลในอะเรย์ 2 มาทำการจับคู่ (Matching) กับตารางคืนของค่าเฟสในอุคムคติ (Ideal Phase LUT) จะได้ผลลัพธ์เป็นค่าเฟสในอุคุมคติที่สอดคล้องกับค่าความกว้างริวแสง ในอะเรย์ 2 แสดงดังภาพที่ 43 เมื่อได้ค่าเฟสในอุคุมคติเรียบร้อยแล้วจะนำมาปรีบینเพิ่บหรือหานิรันด์ต่างกับค่าเฟสจริง (Real Phase) ผลลัพธ์ที่ได้ก็คือความต่างเฟส (Different Phase) นำค่าเหล่านี้ไปทำการสไปล์นข้อมูลด้วยสไปล์นเทคนิค (Spline Technique) โดยให้มีค่าอยู่ในช่วง $0 \text{ ถึง } 2\pi$ เรเดียน (Radian, rad) เพิ่มขึ้นครั้งละ 0.01 เรเดียน (Radian, rad) จากนั้นนำข้อมูลที่ได้มาทำการเก็บข้อมูลซึ่งเก็บอยู่ในโครงสร้างข้อมูลแบบตารางคืนหา (Look-up Table) แสดงดังภาพที่ 44

กระบวนการทดลองของงานวิจัยนี้ เก็บข้อมูลภาพริวแสงของโนมเดล 9 ชิ้น โดยแต่ละโนมเดล จะถูกฉายด้วยริวแสง 4 รูปแบบ และนำข้อมูลภาพริวแสงเหล่านามาทำการคำนวนหาค่าเฟส กลับคืนและทำการตรวจสอบแก้ค่าเฟสจากนั้นนำข้อมูลดังกล่าวทำการคำนวนหาตารางคืนหา (Look-up Table) สำหรับ เพื่อใช้ในการคัดเซยค่าเฟสอันเนื่องมาจากแกรมมาไม่เป็นเชิงเส้นของข้อมูลภาพริว แสงชุดนี้ๆ ซึ่งผลลัพธ์ที่ได้นี้จะเป็นข้อมูลภาพสามมิติที่ไม่มีริวคลื่น แสดงดังภาพที่ 45 จากนั้นทำการบันทึกข้อมูลภาพสามมิติก่อนการแก้ไขและภาพสามมิติที่ผ่านการแก้ไขแล้ว และทำการวัด และประเมินผลโดยนำข้อมูลภาพสามมิติที่ได้มาทำการคำนวนด้วยตัวกรองช่วง (Range Filtering) ซึ่งค่าของตัวกรองช่วงสูงๆ จะหมายความว่ามีความแตกต่างของพื้นผิวต่ำมาก หรือพื้นผิวบรูษะ นั่นเอง ในทางตรงข้ามถ้าค่าของตัวกรองช่วงมีค่าน้อยๆ หมายความว่าพื้นผิวของภาพสามมิติมี ความราบรื่นมากขึ้น

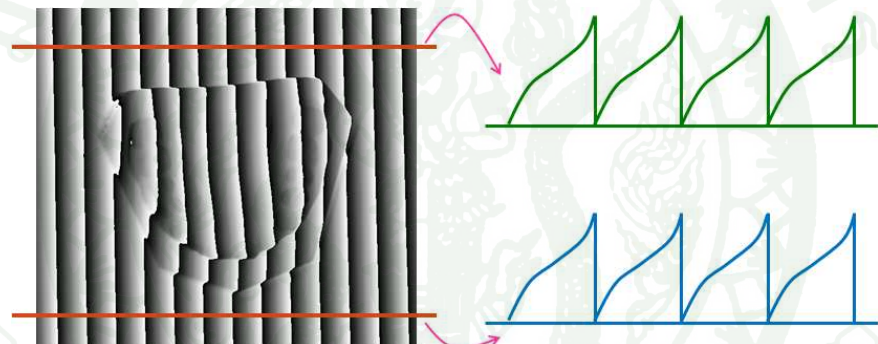


ภาพที่ 39 ผังงานของขั้นตอนวิธีการชดเชยค่าไฟฟ้าที่มีผลกระทบจากแกมมาไม่เป็นเชิงเส้น



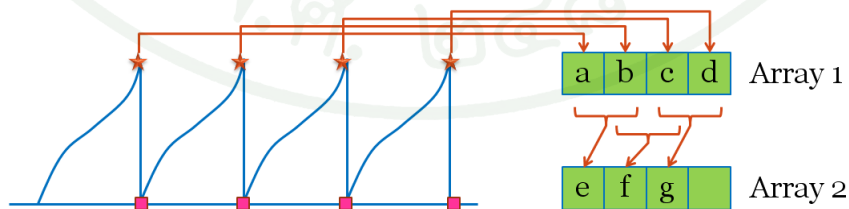
ภาพที่ 40 ค่าเฟสที่ถูกห่อ (Wrapped Phase) ของเฟสในอุดมคติ

ที่มา: Tiendee, Sasin et al. (2010b)



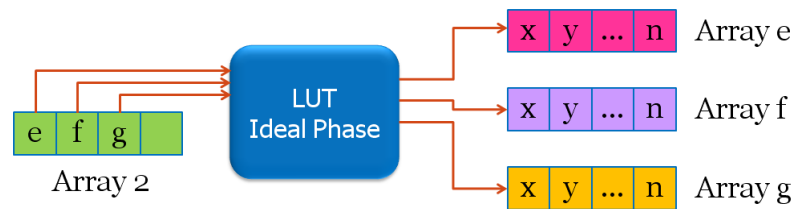
ภาพที่ 41 การเลือกเส้นกำหนดของค่าเฟสที่ถูกห่อ (Wrapped Phase) ที่เป็นค่าเฟสจริง (Real Phase)

ที่มา: Tiendee, Sasin et al. (2010b)



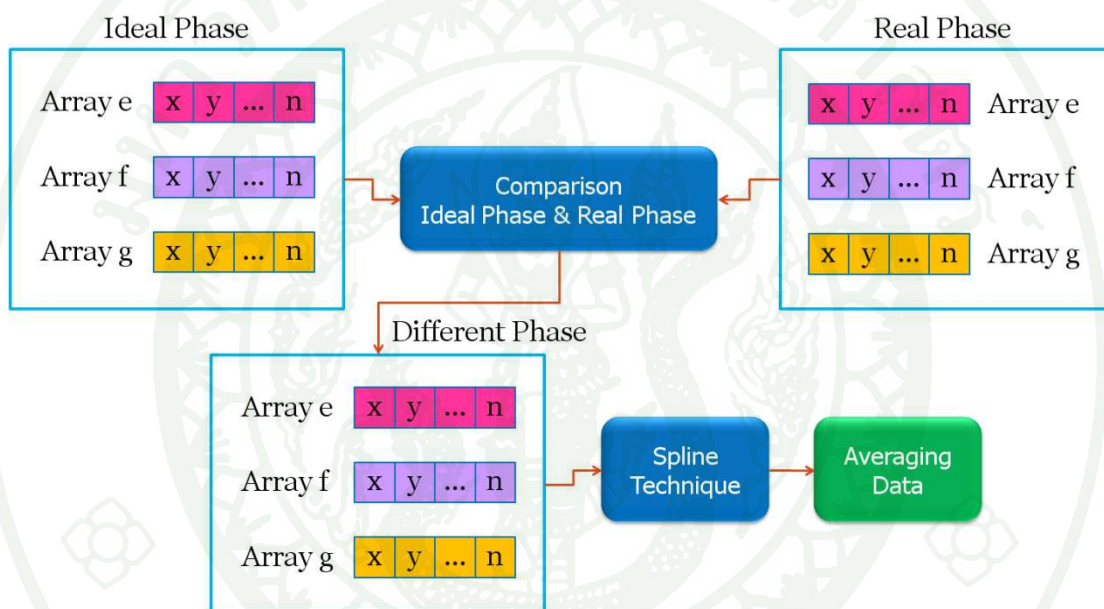
ภาพที่ 42 การหาค่าความกว้างของริ้วแสง (Fringe Pitch) ด้วยการ Thresholding

ที่มา: Tiendee, Sasin et al. (2010b)



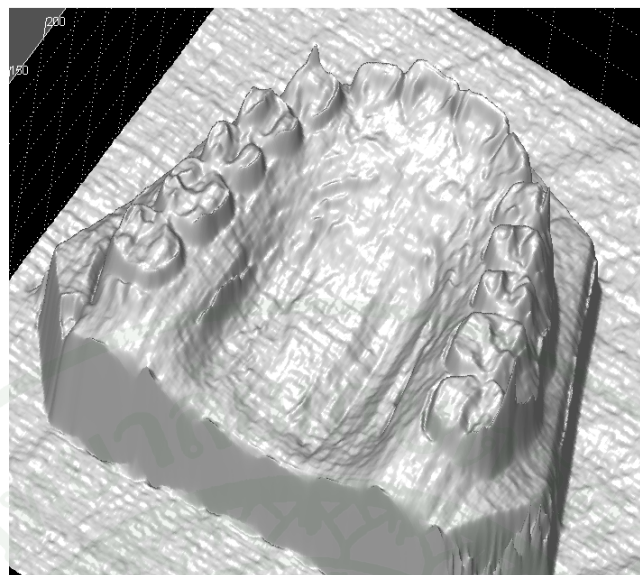
ภาพที่ 43 การจับคู่ระหว่างค่าความถ่วงริ้วแสงกับตารางคืนของค่าเฟสในอุดมคติ

ที่มา: Tiendee, Sasin et al. (2010b)



ภาพที่ 44 การเปรียบเทียบหาความต่างระหว่างค่าเฟสจริงกับค่าเฟสในอุดมคติ

ที่มา: Tiendee, Sasin et al. (2010b)



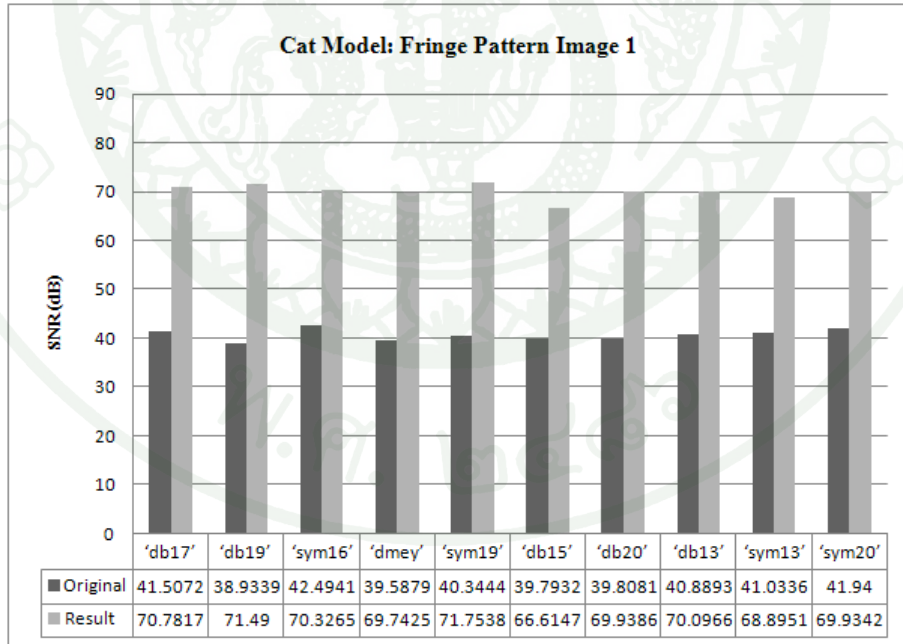
ภาพที่ 45 ข้อมูลภาพสามมิติที่ผ่านการแก้ไขแกรมมาไม่เป็นเชิงเส้น

ผลและวิจารณ์

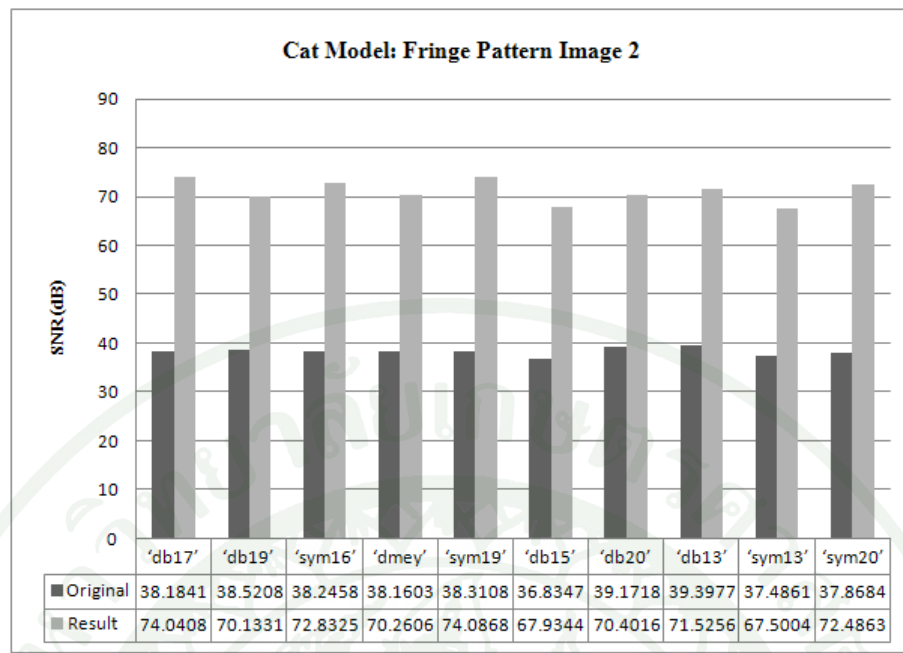
ผล

1. ผลการแก้ไขปัญหาสกรีนดอร์อฟเฟค (Screen Door Effect)

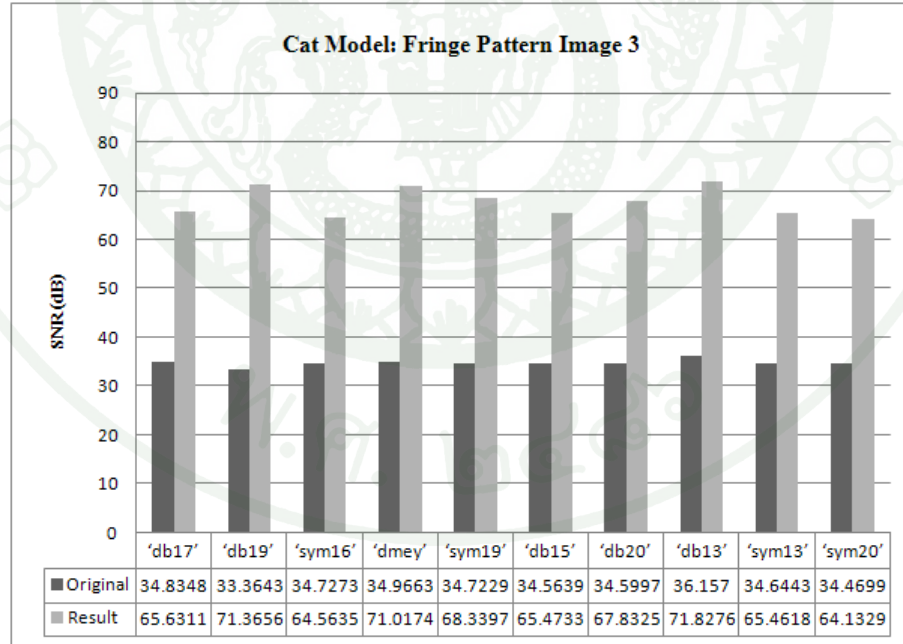
ผลการทดลองของการแก้ไขปัญหาสกรีนดอร์อฟเฟค โดยใช้โมเดลปุ่นปลาสเตอร์จำนวน 9 ชิ้น ซึ่งทำการลบสัญญาณรบกวนดังกล่าวด้วยเวฟเล็ตฟิงก์ชั้น ‘dmey’ และเวฟเล็ตฟิงก์ชั้นอื่นๆ ตามตารางที่ 4 มีค่าอัตรา率为ว่างกำลังของสัญญาณเทียบกับสัญญาณรบกวน (Signal to Noise Ratio, SNR) ของภาพริวแสงของแต่ละโมเดลทั้งก่อนและหลังการปรับปรุงด้วยเวฟเล็ตฟิงก์ชั้น แสดงดังภาพที่ 46 ถึง 81 เมื่อพิจารณาแต่ละภาพริวแสงพบว่าข้อมูลภาพต้นฉบับที่ยังไม่ได้ผ่านการแก้ไขปัญหานี้จะมีค่า SNR ที่ต่ำกว่าข้อมูลภาพผลลัพธ์ที่ผ่านการแก้ไขแล้วเกือบหนึ่งเท่าตัว และค่า SNR ของภาพต้นฉบับของแต่ละเวฟเล็ตฟิงก์ชั้นนั้นให้ค่าที่ใกล้เคียงกัน ส่วนค่า SNR ของภาพผลลัพธ์ที่แก้ไขด้วยแต่ละเวฟเล็ตฟิงก์ชั้นดังกล่าวก็ให้ค่าใกล้เคียงกันเช่นกัน



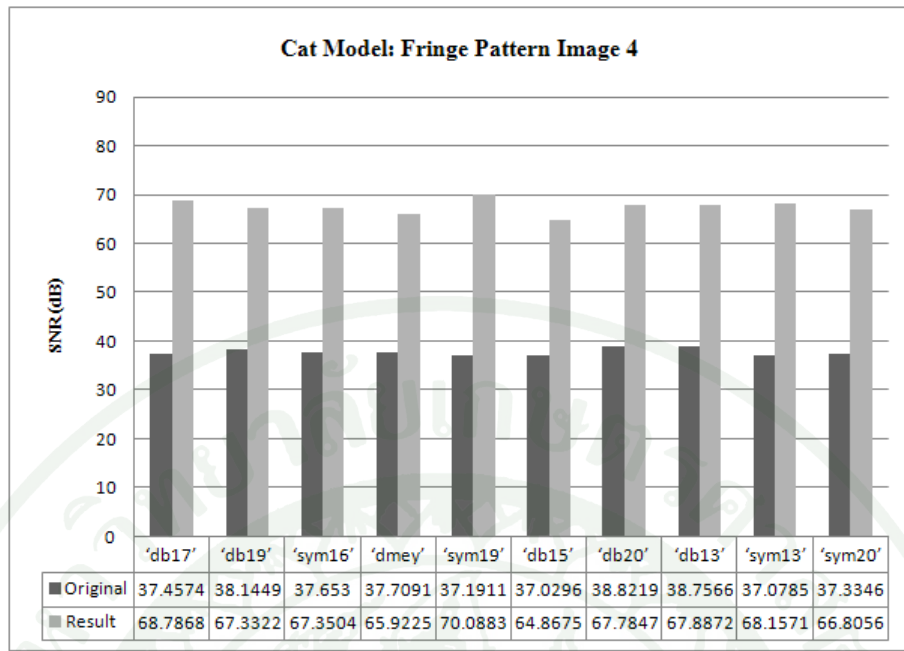
ภาพที่ 46 การเปรียบเทียบค่า SNR ระหว่างภาพต้นฉบับและผลลัพธ์ของภาพริวแสง รูปแบบที่ 1 ของโมเดลรูปแนว



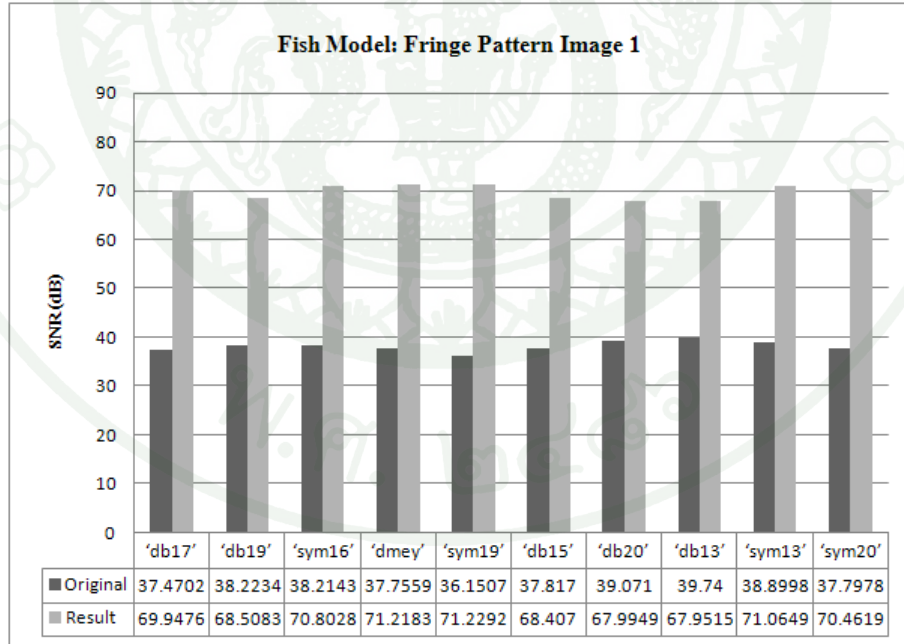
ภาพที่ 47 การเปรียบเทียบค่า SNR ระหว่างภาพต้นฉบับและผลลัพธ์ของภาพรีวิวแสง รูปแบบที่ 2 ของโ้มเดครูปแนว



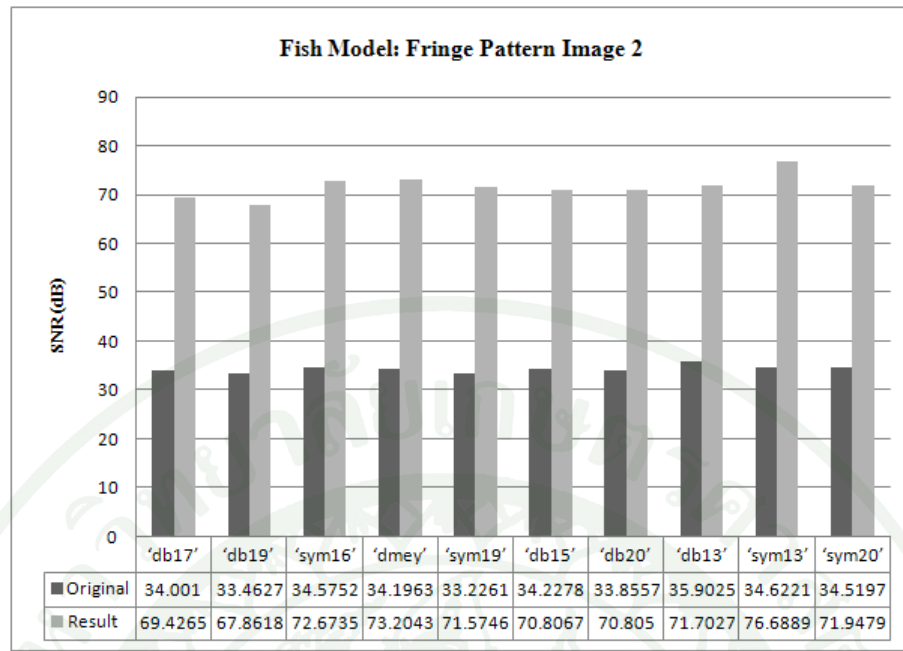
ภาพที่ 48 การเปรียบเทียบค่า SNR ระหว่างภาพต้นฉบับและผลลัพธ์ของภาพรีวิวแสง รูปแบบที่ 3 ของโ้มเดครูปแนว



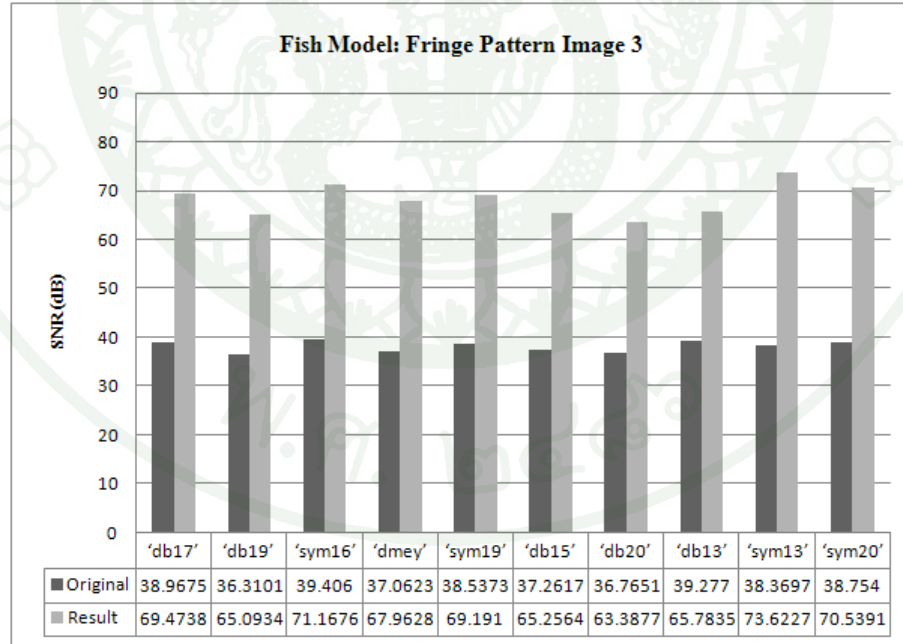
ภาพที่ 49 การเปรียบเทียบค่า SNR ระหว่างภาพต้นฉบับและผลลัพธ์ของภาพรีวิวแสง รูปแบบที่ 4 ของโ้มเดครูปแมว



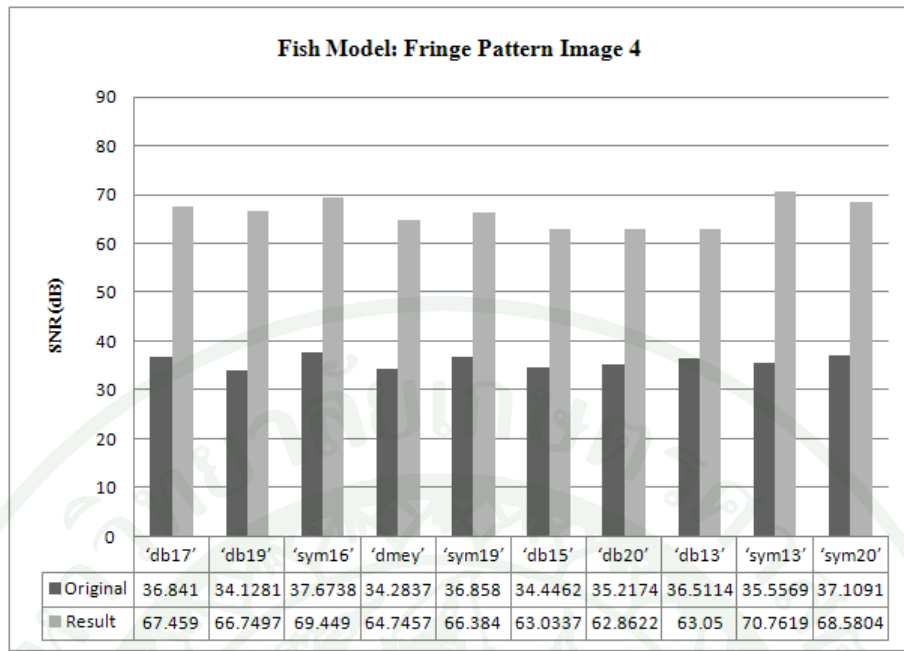
ภาพที่ 50 การเปรียบเทียบค่า SNR ระหว่างภาพต้นฉบับและผลลัพธ์ของภาพรีวิวแสง รูปแบบที่ 1 ของโ้มเดครูปปลา



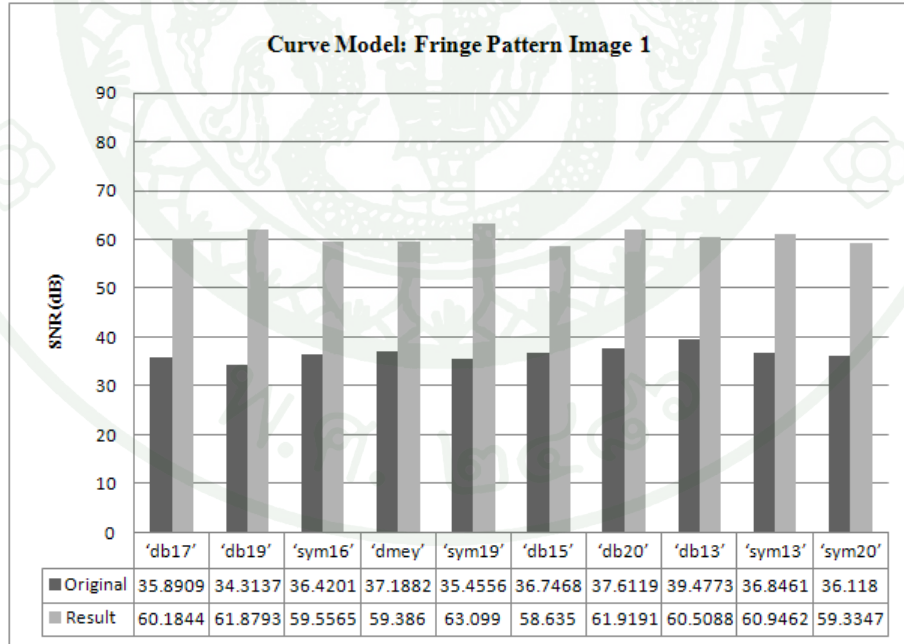
ภาพที่ 51 การเปรียบเทียบค่า SNR ระหว่างภาพต้นฉบับและผลลัพธ์ของภาพรีวิวแสง รูปแบบที่ 2 ของโ้มเดครูปปลา



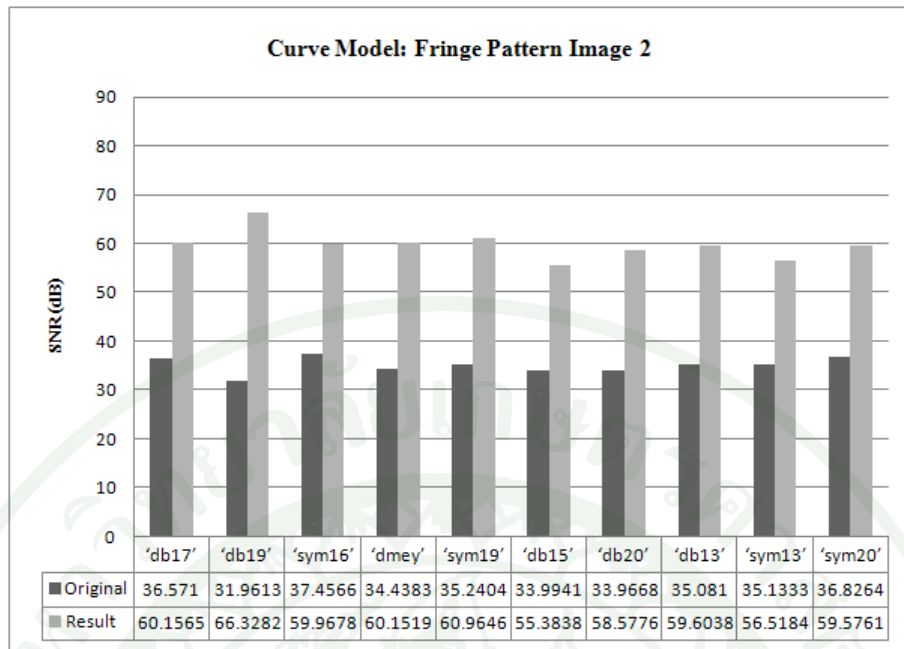
ภาพที่ 52 การเปรียบเทียบค่า SNR ระหว่างภาพต้นฉบับและผลลัพธ์ของภาพรีวิวแสง รูปแบบที่ 3 ของโ้มเดครูปปลา



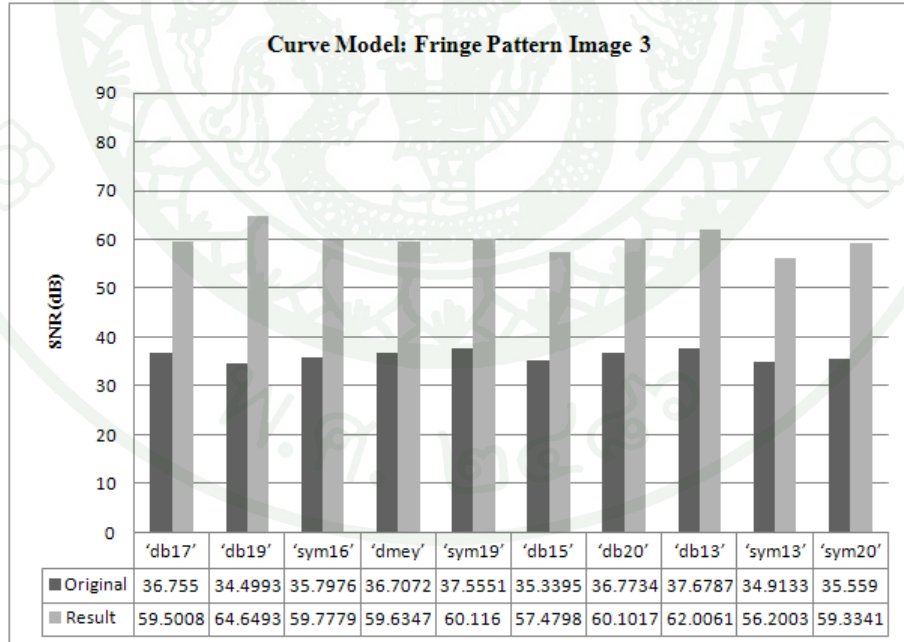
ภาพที่ 53 การเปรียบเทียบค่า SNR ระหว่างภาพต้นฉบับและผลลัพธ์ของภาพรีวิวแสง รูปแบบที่ 4 ของโ้มเดครูปปัลpa



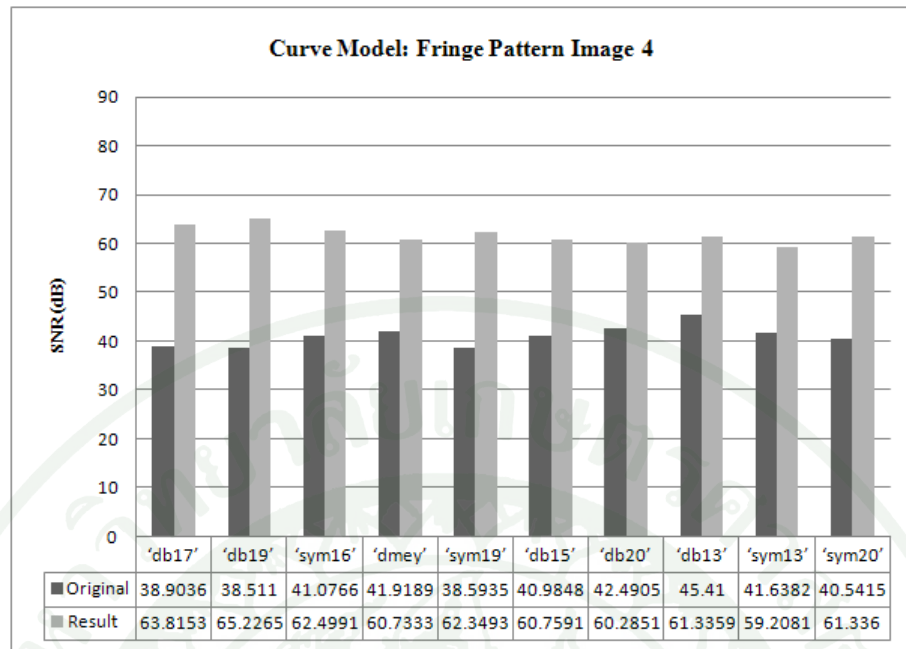
ภาพที่ 54 การเปรียบเทียบค่า SNR ระหว่างภาพต้นฉบับและผลลัพธ์ของภาพรีวิวแสง รูปแบบที่ 1 ของโ้มเดครูปส่วนโถ้ง



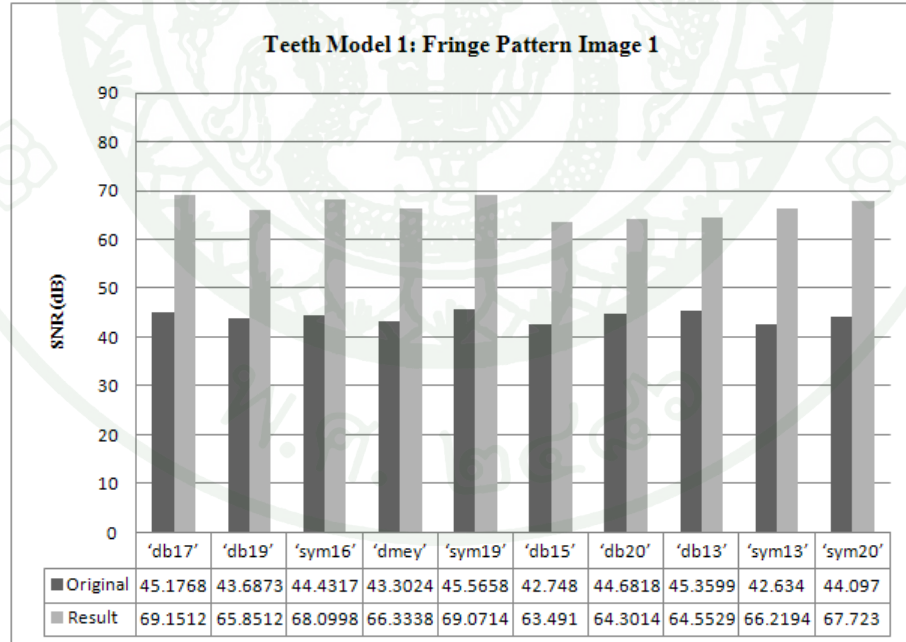
ภาพที่ 55 การเปรียบเทียบค่า SNR ระหว่างภาพต้นฉบับและผลลัพธ์ของภาพรีวิวแสง รูปแบบที่ 2 ของโ้มเดครูปส่วนโถง



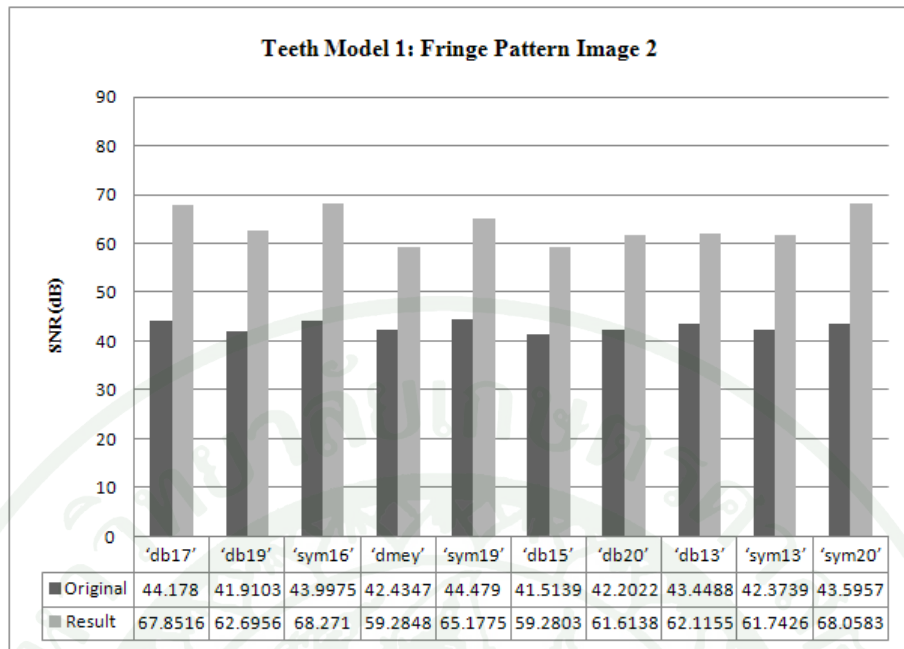
ภาพที่ 56 การเปรียบเทียบค่า SNR ระหว่างภาพต้นฉบับและผลลัพธ์ของภาพรีวิวแสง รูปแบบที่ 3 ของโ้มเดครูปส่วนโถง



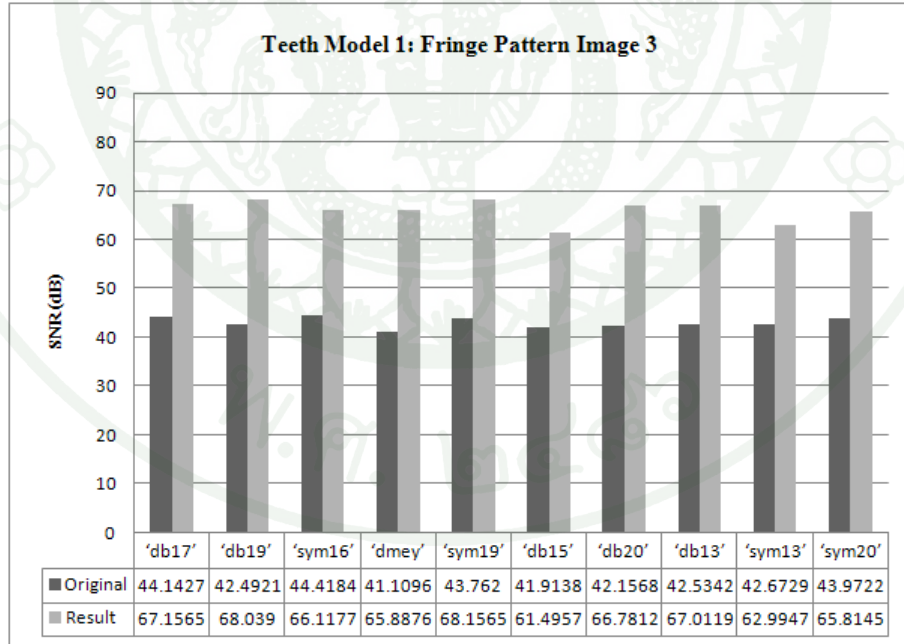
ภาพที่ 57 การเปรียบเทียบค่า SNR ระหว่างภาพต้นฉบับและผลลัพธ์ของภาพรีวิวแสง รูปแบบที่ 4 ของโ้มเดครูปส่วนโถง



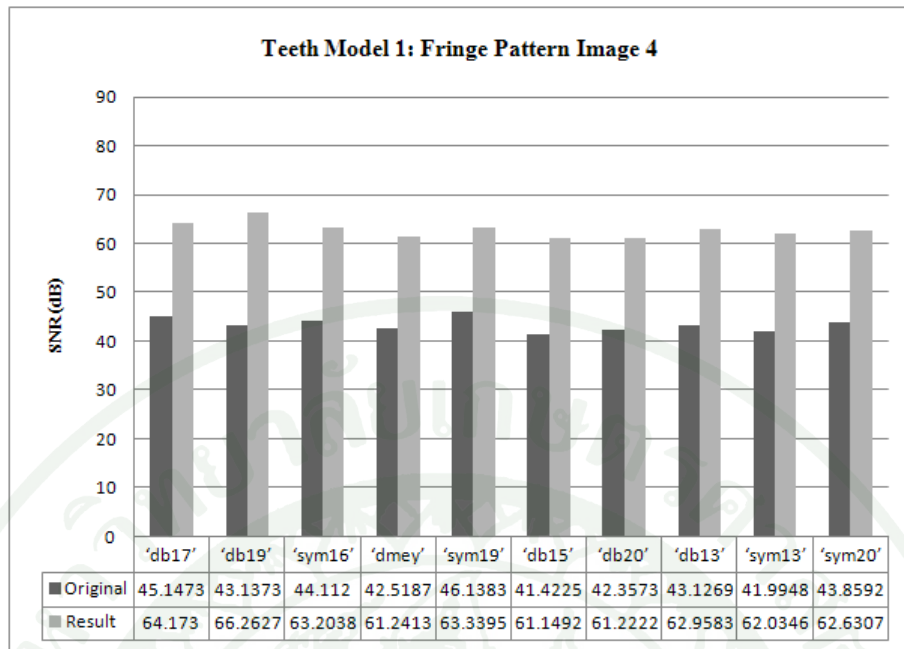
ภาพที่ 58 การเปรียบเทียบค่า SNR ระหว่างภาพต้นฉบับและผลลัพธ์ของภาพรีวิวแสง รูปแบบที่ 1 ของโ้มเดครูปฟัน ชิ้นที่ 1



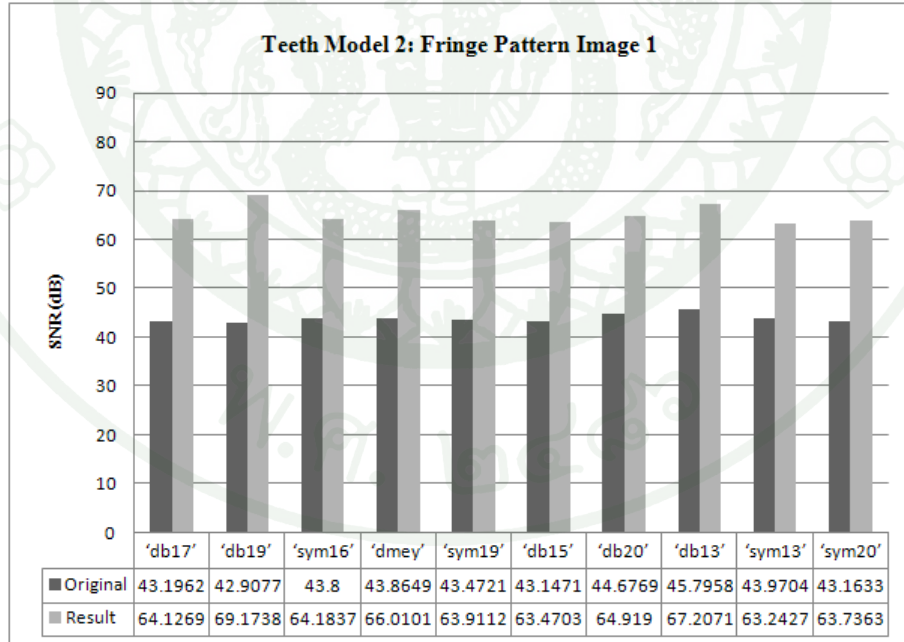
ภาพที่ 59 การเปรียบเทียบค่า SNR ระหว่างภาพต้นฉบับและผลลัพธ์ของภาพรีวิวแสง รูปแบบที่ 2 ของโฉมเดครูปฟัน ชิ้นที่ 1



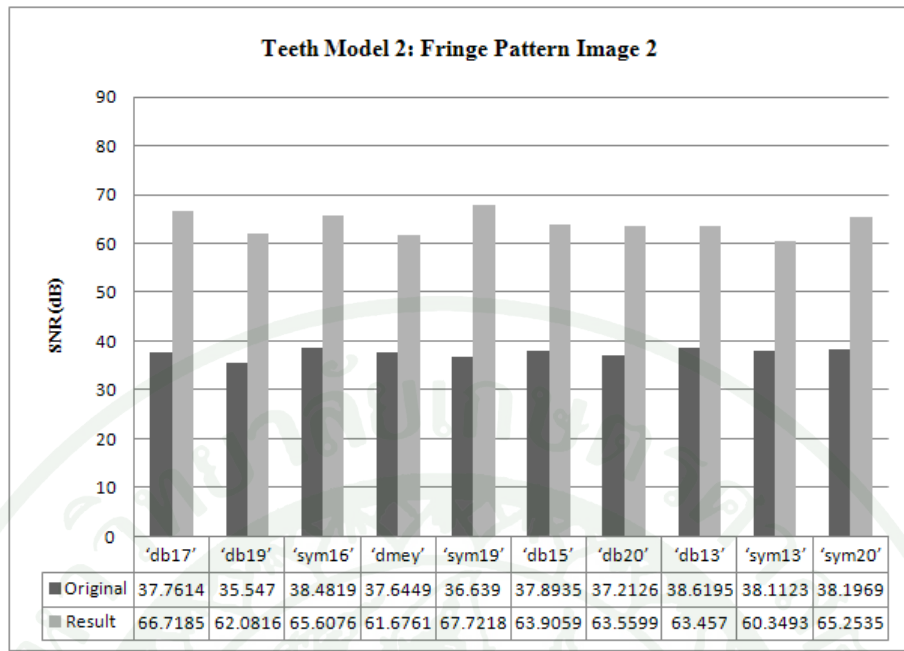
ภาพที่ 60 การเปรียบเทียบค่า SNR ระหว่างภาพต้นฉบับและผลลัพธ์ของภาพรีวิวแสง รูปแบบที่ 3 ของโฉมเดครูปฟัน ชิ้นที่ 1



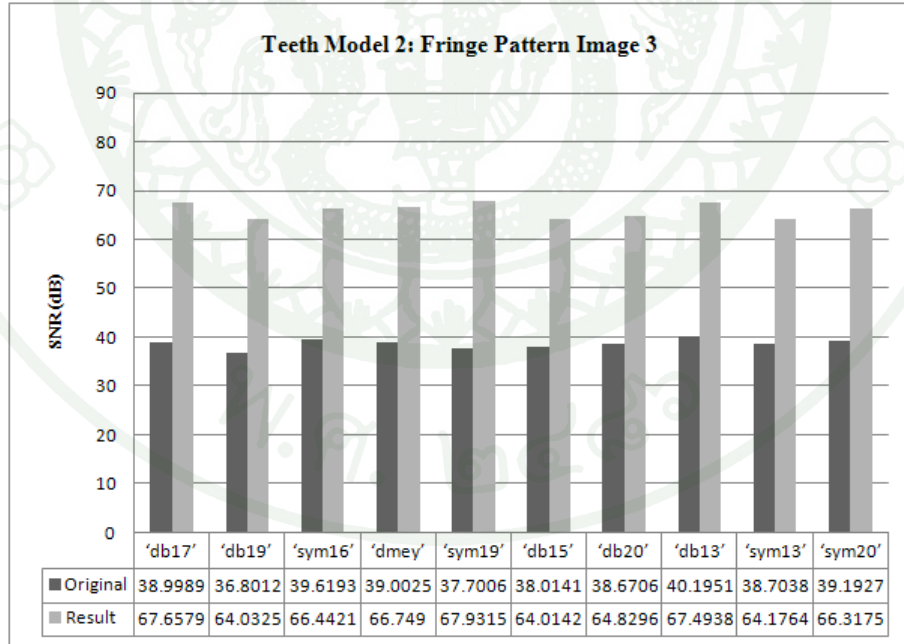
ภาพที่ 61 การเปรียบเทียบค่า SNR ระหว่างภาพต้นฉบับและผลลัพธ์ของภาพรีวิวแสง รูปแบบที่ 4 ของโ้มเดครูปฟัน ชิ้นที่ 1



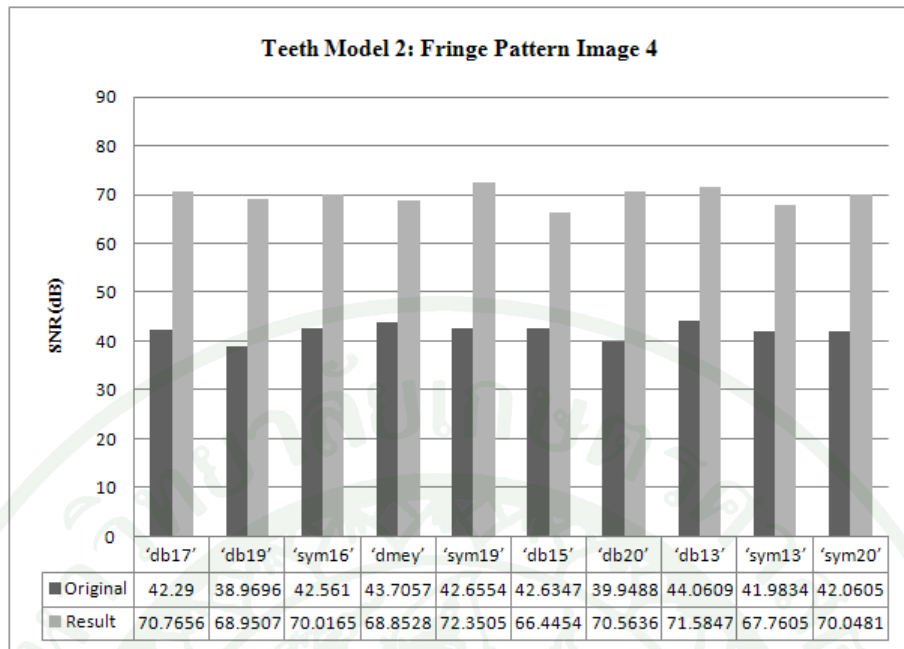
ภาพที่ 62 การเปรียบเทียบค่า SNR ระหว่างภาพต้นฉบับและผลลัพธ์ของภาพรีวิวแสง รูปแบบที่ 1 ของโ้มเดครูปฟัน ชิ้นที่ 2



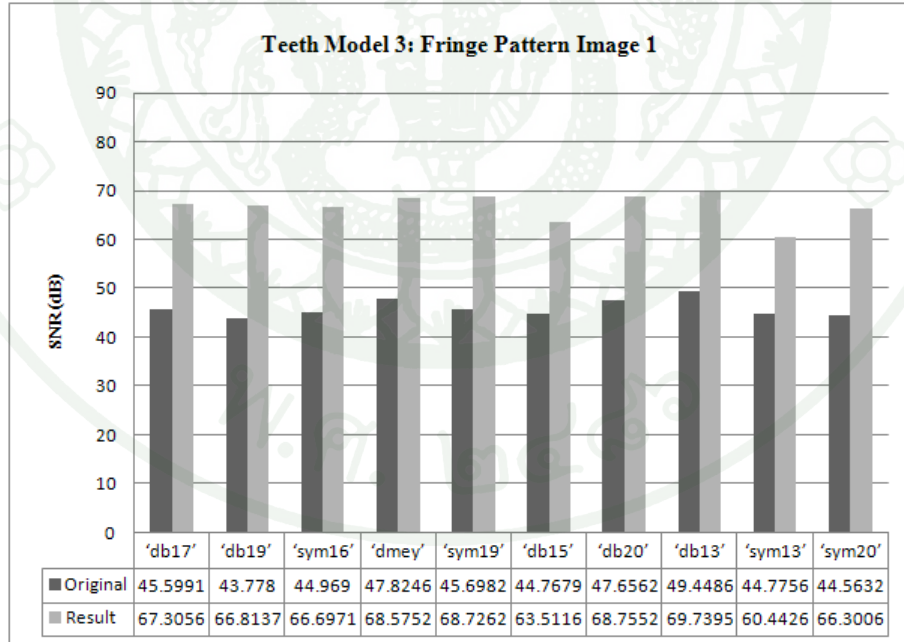
ภาพที่ 63 การเปรียบเทียบค่า SNR ระหว่างภาพต้นฉบับและผลลัพธ์ของภาพรีวิวแสง รูปแบบที่ 2 ของโ้มเดครูปฟัน ชิ้นที่ 2



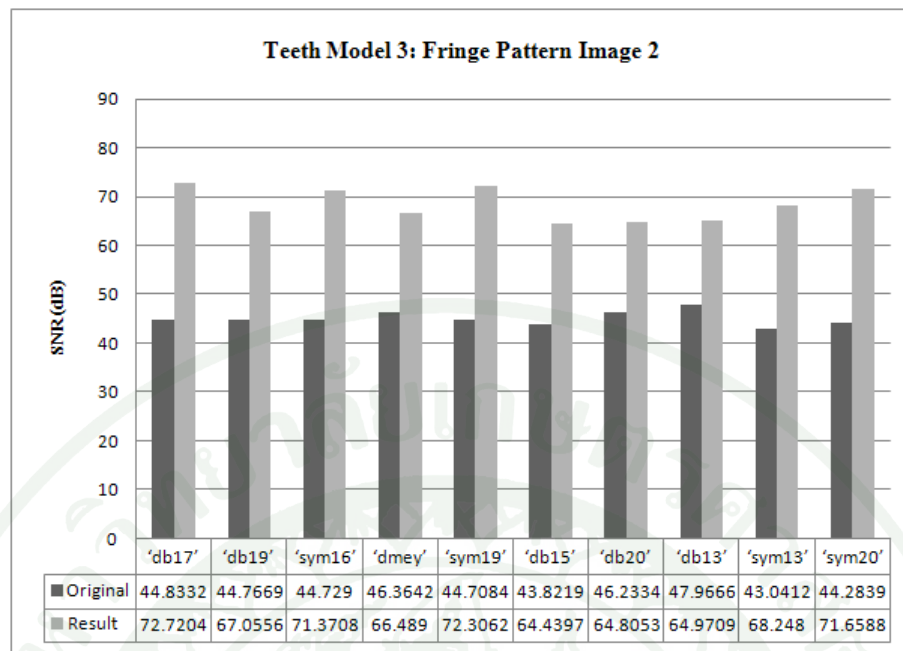
ภาพที่ 64 การเปรียบเทียบค่า SNR ระหว่างภาพต้นฉบับและผลลัพธ์ของภาพรีวิวแสง รูปแบบที่ 3 ของโ้มเดครูปฟัน ชิ้นที่ 2



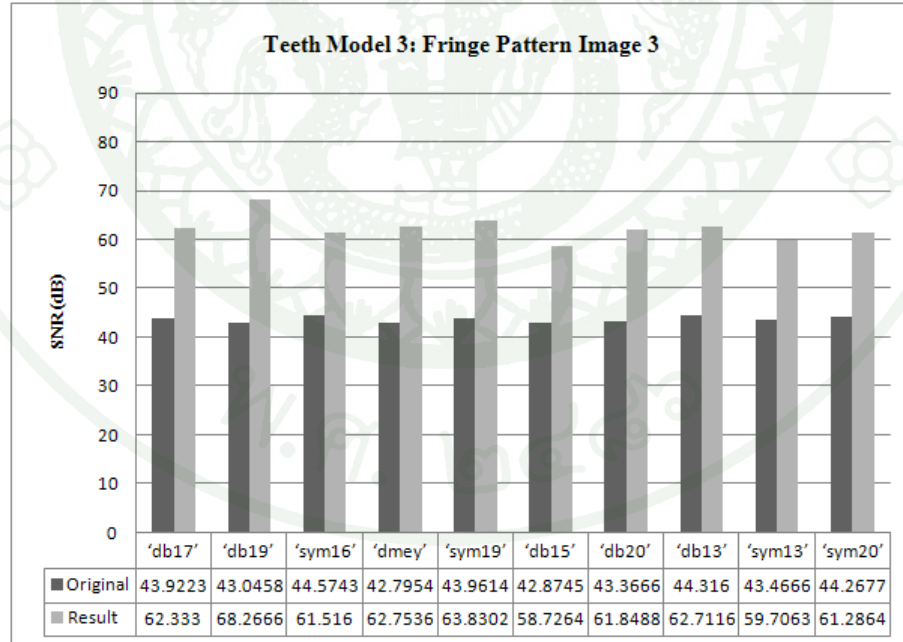
ภาพที่ 65 การเปรียบเทียบค่า SNR ระหว่างภาพต้นฉบับและผลลัพธ์ของภาพรีวิวแสง รูปแบบที่ 4 ของโฉมเดครูปฟัน ชิ้นที่ 2



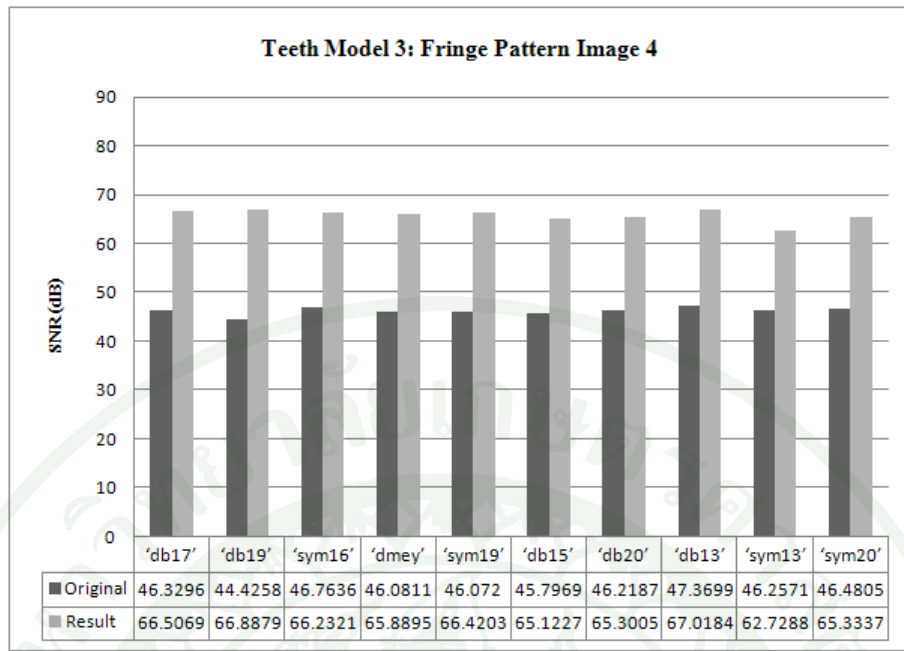
ภาพที่ 66 การเปรียบเทียบค่า SNR ระหว่างภาพต้นฉบับและผลลัพธ์ของภาพรีวิวแสง รูปแบบที่ 1 ของโฉมเดครูปฟัน ชิ้นที่ 3



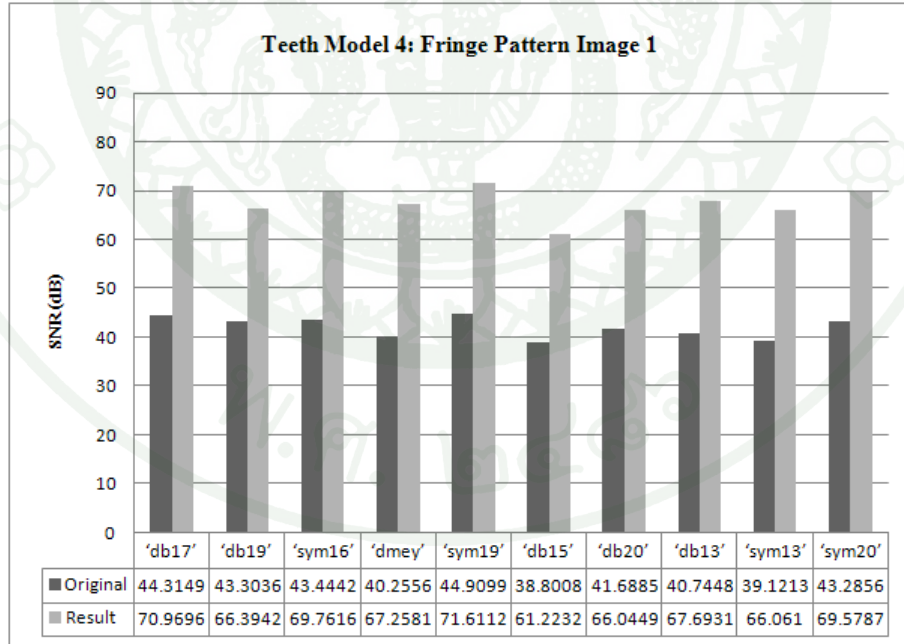
ภาพที่ 67 การเปรียบเทียบค่า SNR ระหว่างภาพต้นฉบับและผลลัพธ์ของภาพรีวิวแสง รูปแบบที่ 2 ของโฉมเดครูปฟัน ชิ้นที่ 3



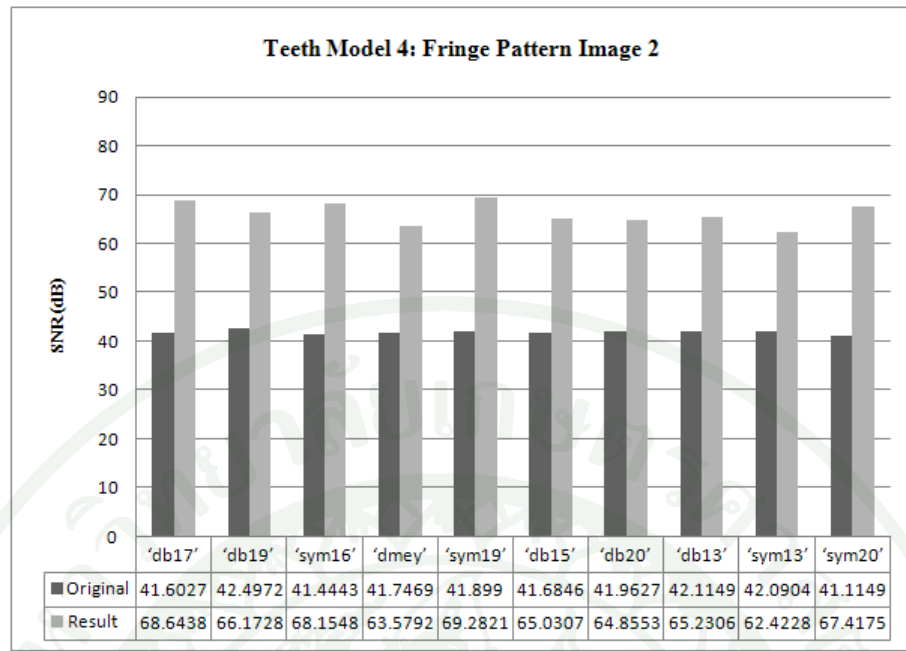
ภาพที่ 68 การเปรียบเทียบค่า SNR ระหว่างภาพต้นฉบับและผลลัพธ์ของภาพรีวิวแสง รูปแบบที่ 3 ของโฉมเดครูปฟัน ชิ้นที่ 3



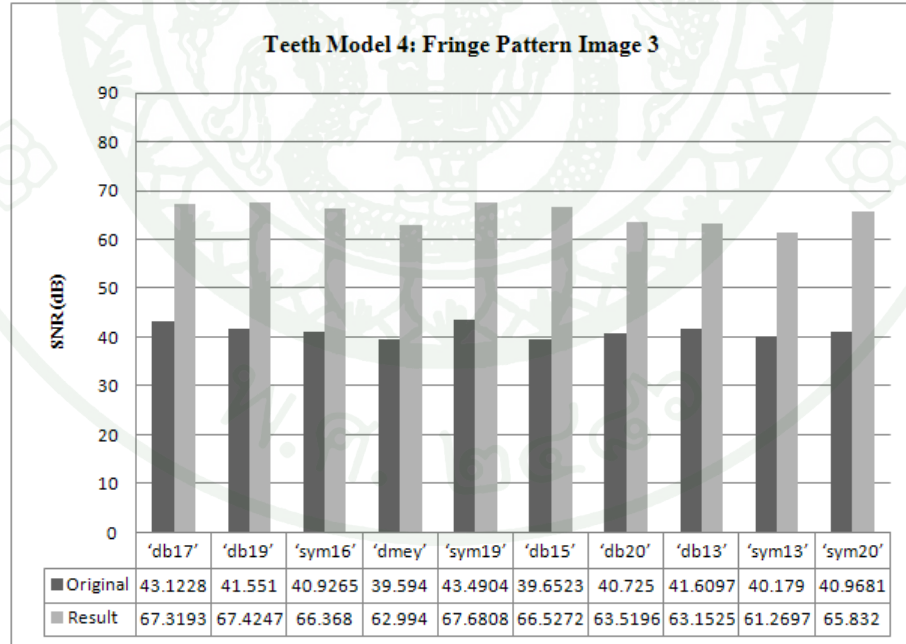
ภาพที่ 69 การเปรียบเทียบค่า SNR ระหว่างภาพต้นฉบับและผลลัพธ์ของภาพรีวิวแสง รูปแบบที่ 4 ของโ้มเดครูปฟัน ชิ้นที่ 3



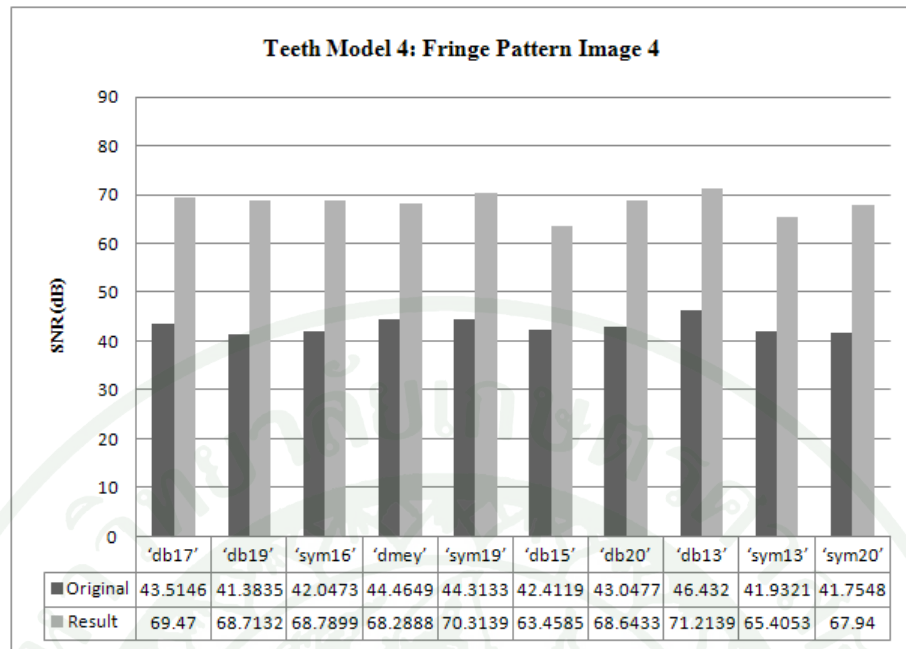
ภาพที่ 70 การเปรียบเทียบค่า SNR ระหว่างภาพต้นฉบับและผลลัพธ์ของภาพรีวิวแสง รูปแบบที่ 1 ของโ้มเดครูปฟัน ชิ้นที่ 4



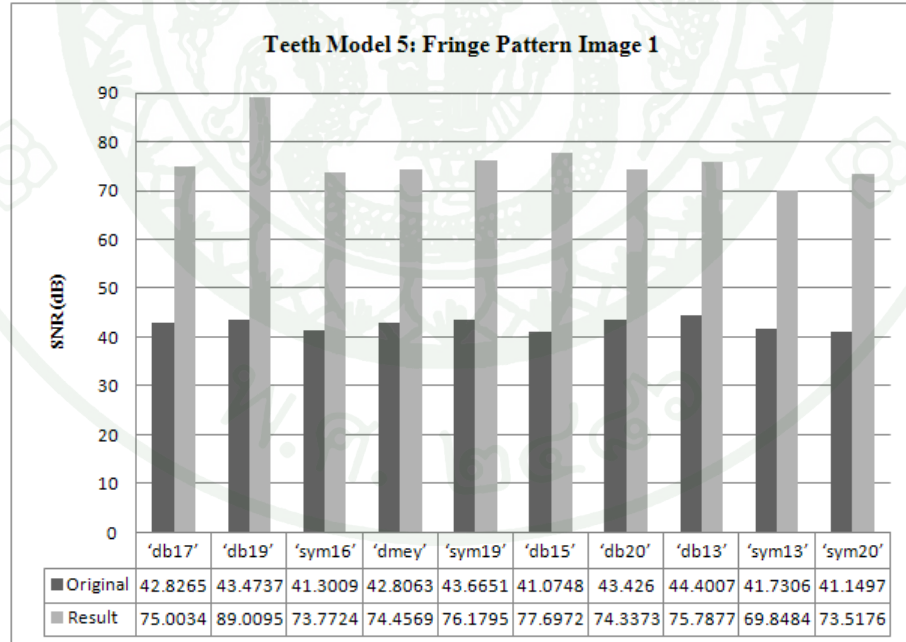
ภาพที่ 71 การเปรียบเทียบค่า SNR ระหว่างภาพต้นฉบับและผลลัพธ์ของภาพรีวิวแสง รูปแบบที่ 2 ของโ้มเดครูปฟัน ชิ้นที่ 4



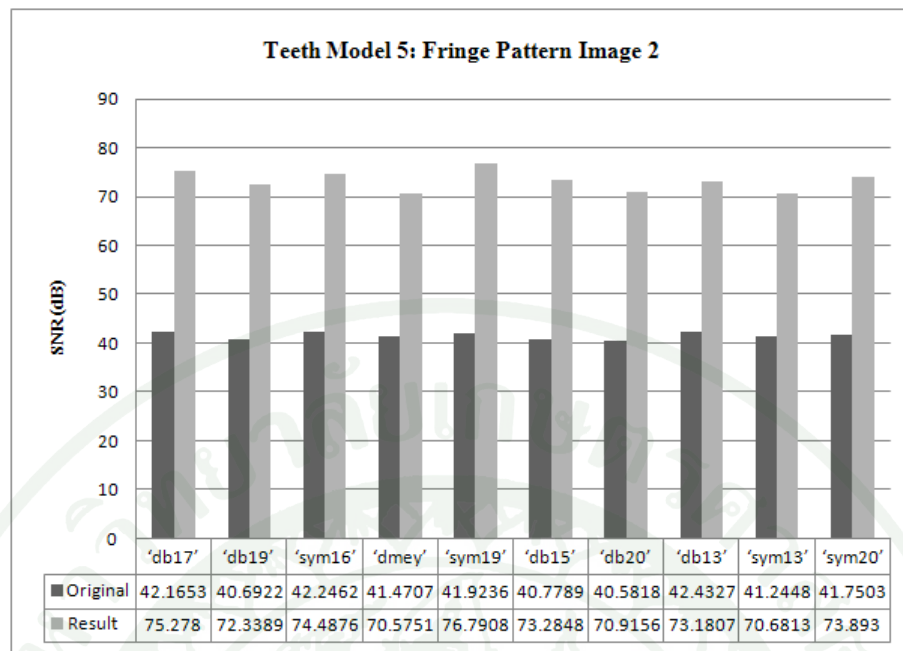
ภาพที่ 72 การเปรียบเทียบค่า SNR ระหว่างภาพต้นฉบับและผลลัพธ์ของภาพรีวิวแสง รูปแบบที่ 3 ของโ้มเดครูปฟัน ชิ้นที่ 4



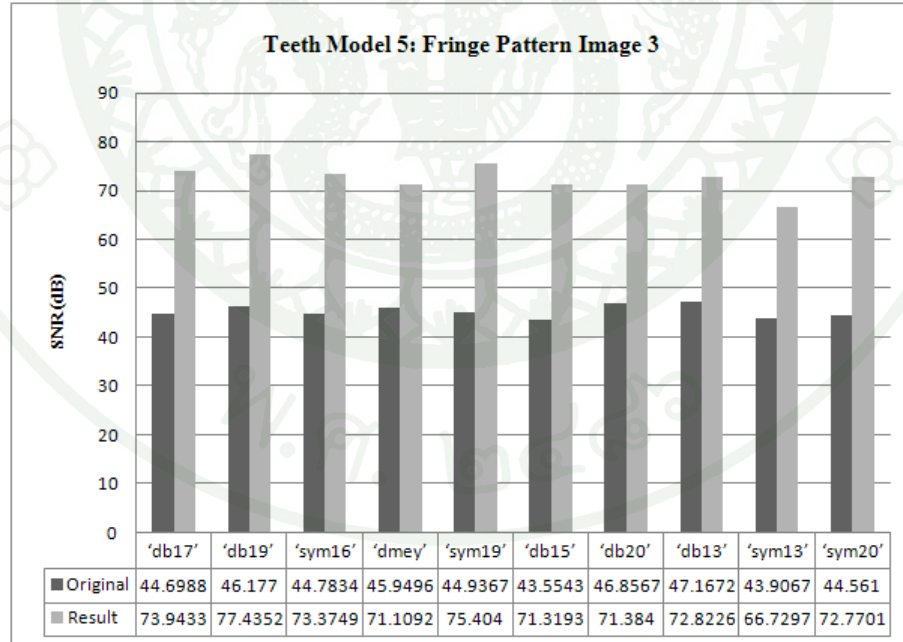
ภาพที่ 73 การเปรียบเทียบค่า SNR ระหว่างภาพต้นฉบับและผลลัพธ์ของภาพรีวิวแสง รูปแบบที่ 4 ของโ้มเดครูปฟัน ชิ้นที่ 4



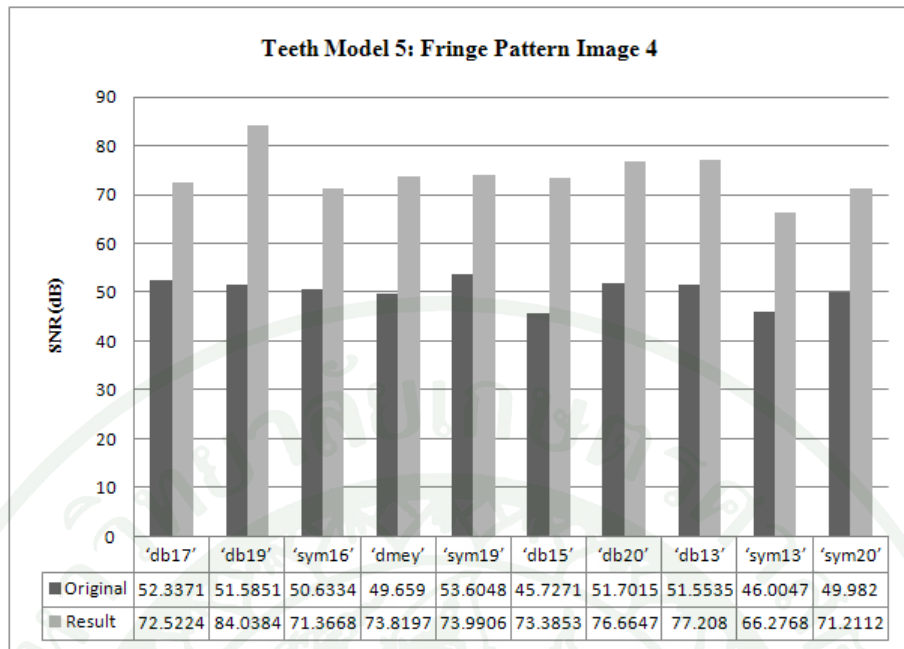
ภาพที่ 74 การเปรียบเทียบค่า SNR ระหว่างภาพต้นฉบับและผลลัพธ์ของภาพรีวิวแสง รูปแบบที่ 1 ของโ้มเดครูปฟัน ชิ้นที่ 5



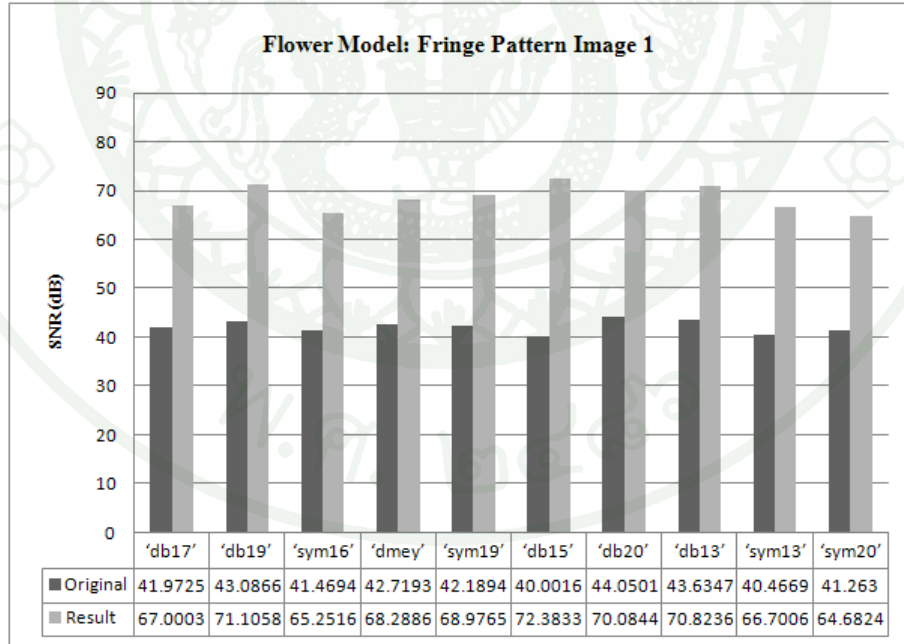
ภาพที่ 75 การเปรียบเทียบค่า SNR ระหว่างภาพต้นฉบับและผลลัพธ์ของภาพรีวิวแสง รูปแบบที่ 2 ของโ้มเดครูปฟัน ชิ้นที่ 5



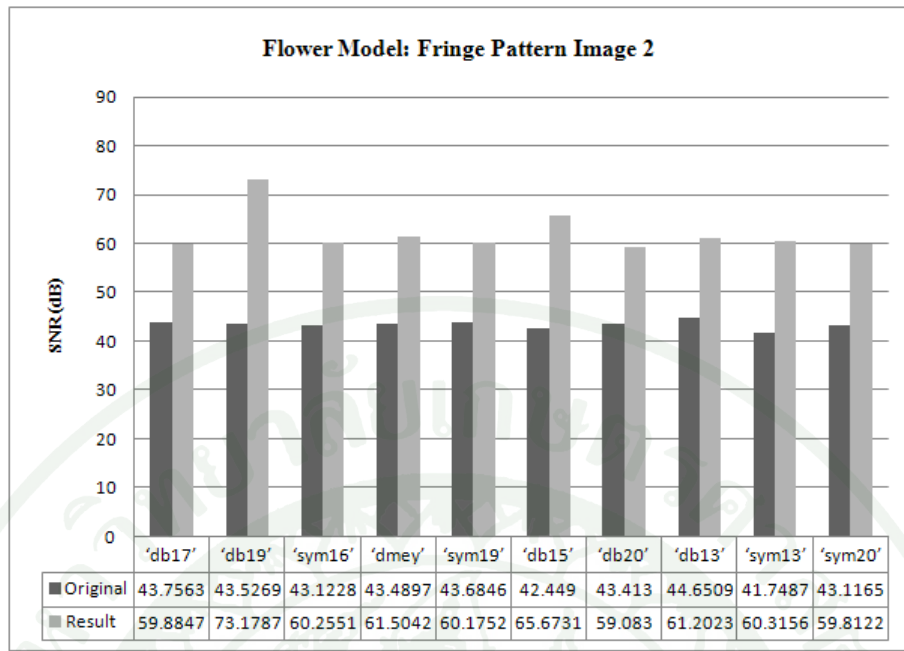
ภาพที่ 76 การเปรียบเทียบค่า SNR ระหว่างภาพต้นฉบับและผลลัพธ์ของภาพรีวิวแสง รูปแบบที่ 3 ของโ้มเดครูปฟัน ชิ้นที่ 5



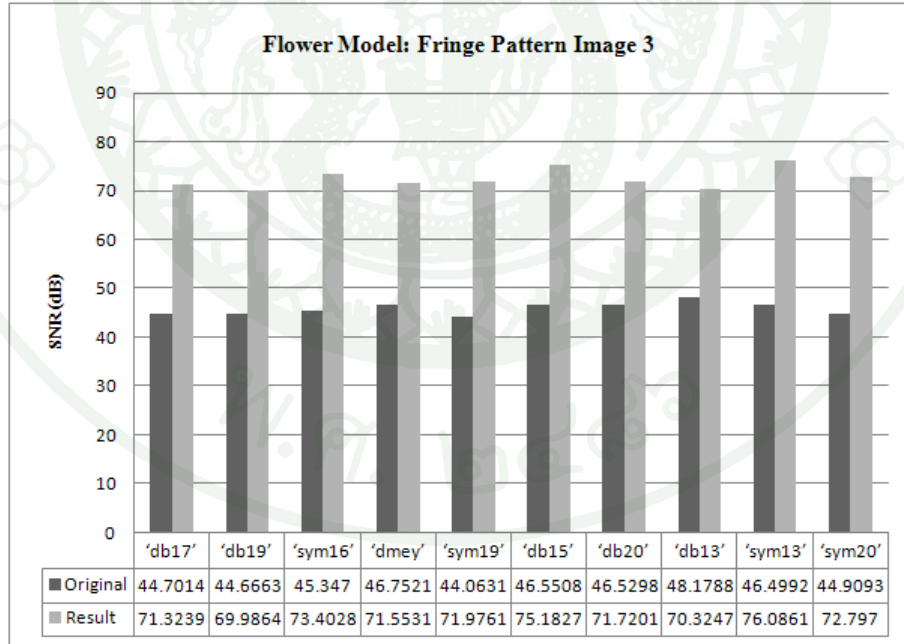
ภาพที่ 77 การเปรียบเทียบค่า SNR ระหว่างภาพต้นฉบับและผลลัพธ์ของภาพรีวิวแสง รูปแบบที่ 4 ของโฉมเดครูปฟัน ชิ้นที่ 5



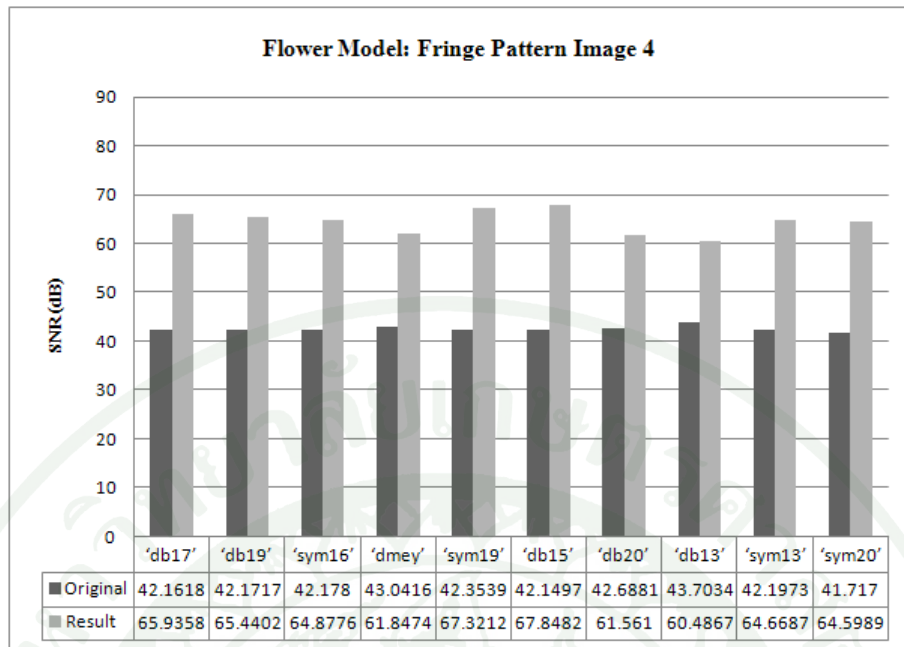
ภาพที่ 78 การเปรียบเทียบค่า SNR ระหว่างภาพต้นฉบับและผลลัพธ์ของภาพรีวิวแสง รูปแบบที่ 1 ของโฉมเดครูปดอกไม้



ภาพที่ 79 การเปรียบเทียบค่า SNR ระหว่างภาพต้นฉบับและผลลัพธ์ของภาพรีวิวแสง รูปแบบที่ 2 ของโฉมเดครูปดอกไม้



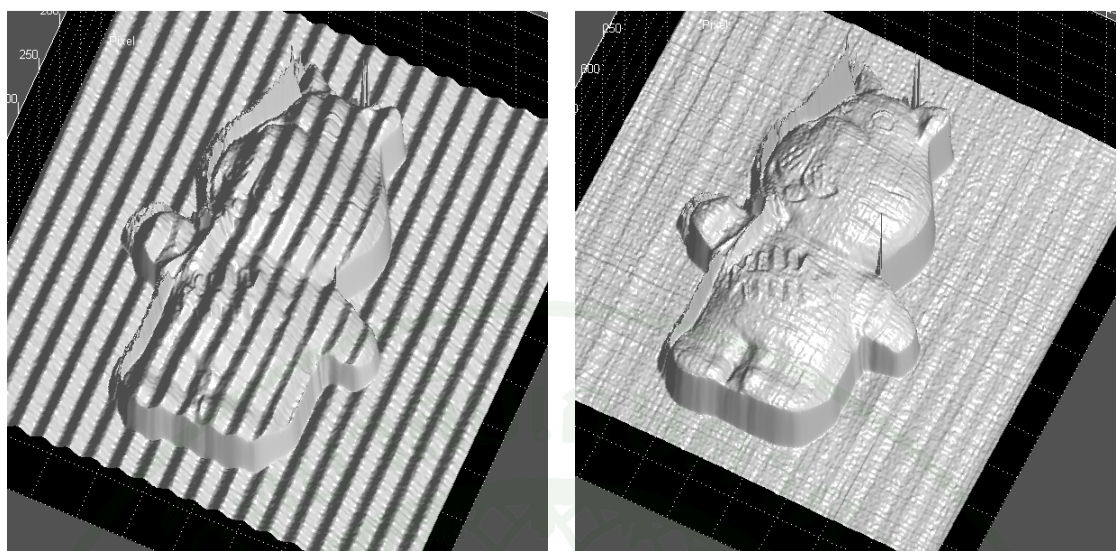
ภาพที่ 80 การเปรียบเทียบค่า SNR ระหว่างภาพต้นฉบับและผลลัพธ์ของภาพรีวิวแสง รูปแบบที่ 3 ของโฉมเดครูปดอกไม้



ภาพที่ 81 การเปรียบเทียบค่า SNR ระหว่างภาพต้นฉบับและผลลัพธ์ของภาพรีวิวแสง รูปแบบที่ 4 ของโโนเดครูปคอกไก่

2. ผลการแก้ไขปัญหาแก่มามาไม่เป็นเชิงเส้น (Nonlinear Gamma)

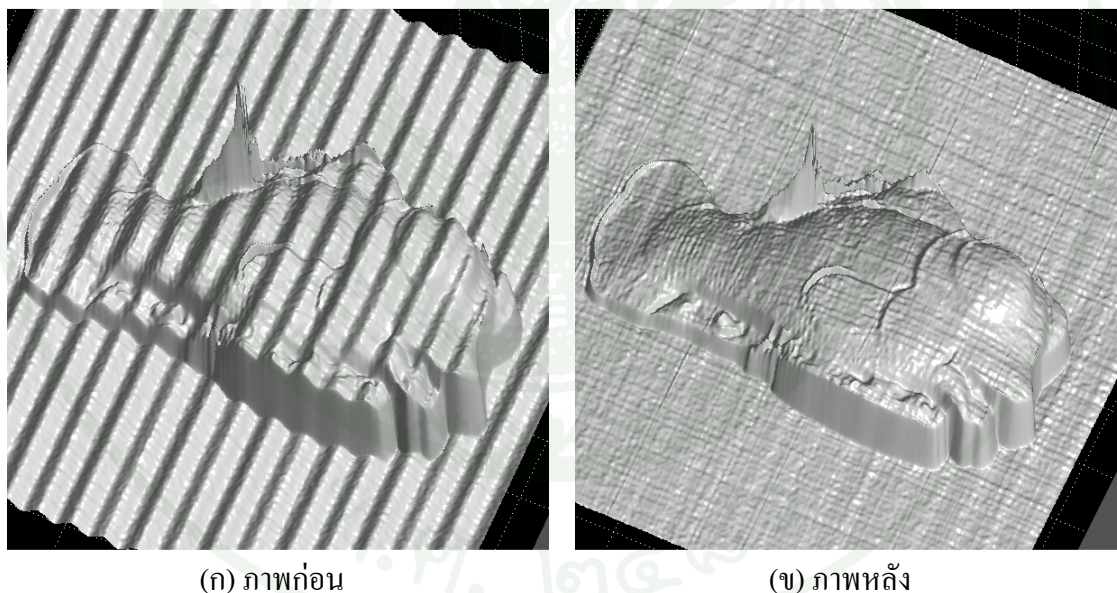
การแก้ปัญหาแก่มามาไม่เป็นเชิงเส้นด้วยวิธีการที่นำเสนอด้วยวิจัยนี้ โดยใช้โนเดครูปปุ่นplatzter จำนวน 9 ชิ้น ซึ่งเป็นขั้นตอนที่ถอดมาจากการแก้ไขปัญหาสกรีนดอร์อฟเฟกต์ด้วยไฟเล็ต ไฟกัชั่น 'dme'y' และคงดังภาพที่ 82 ถึง 90 เป็นข้อมูลภาพสามมิติก่อนการแก้ไขจะมีลักษณะเป็นริ้ว คลื่นบดบังพื้นผิวและรูปร่างของวัตถุ เมื่อทำการแก้ไขแล้วได้ข้อมูลภาพสามมิติที่สมจริง ริ้วคลื่น หายไป พื้นผิวและรูปร่างของวัตถุจริงๆ ปรากฏขึ้น และผลการคำนวณค่าช่วงของพื้นผิวข้อมูลภาพสามมิติทั้งก่อนและหลังการแก้ไขด้วยตัวกรองช่วง (Range Filter) และคงดังภาพที่ 91 จะเห็นว่าค่าช่วงของพื้นผิวภาพสามมิติหลังแก้ไขมีค่าน้อยกว่าค่าช่วงของพื้นผิวภาพสามมิติก่อนแก้ไข



(ก) ภาพก่อน

(ข) ภาพหลัง

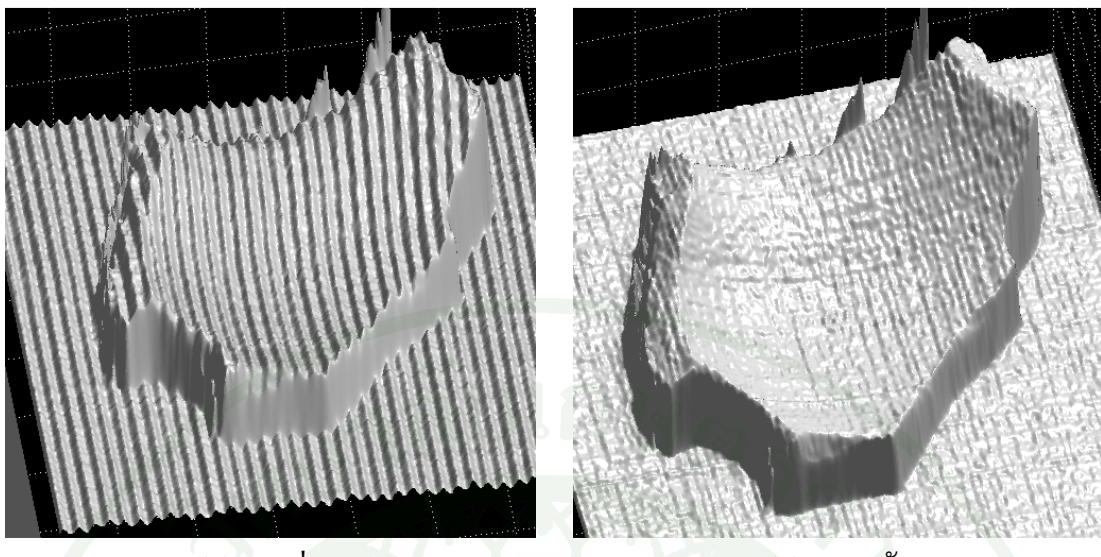
ภาพที่ 82 ภาพสามมิติของโมเดลปูนปลาสเตอร์รูปแมว



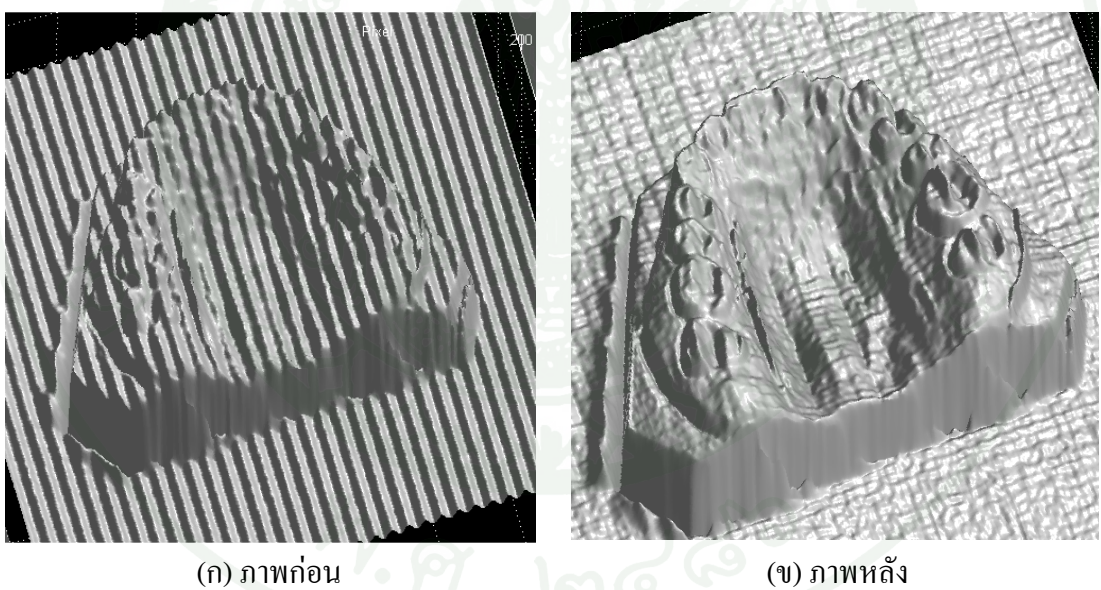
(ก) ภาพก่อน

(ข) ภาพหลัง

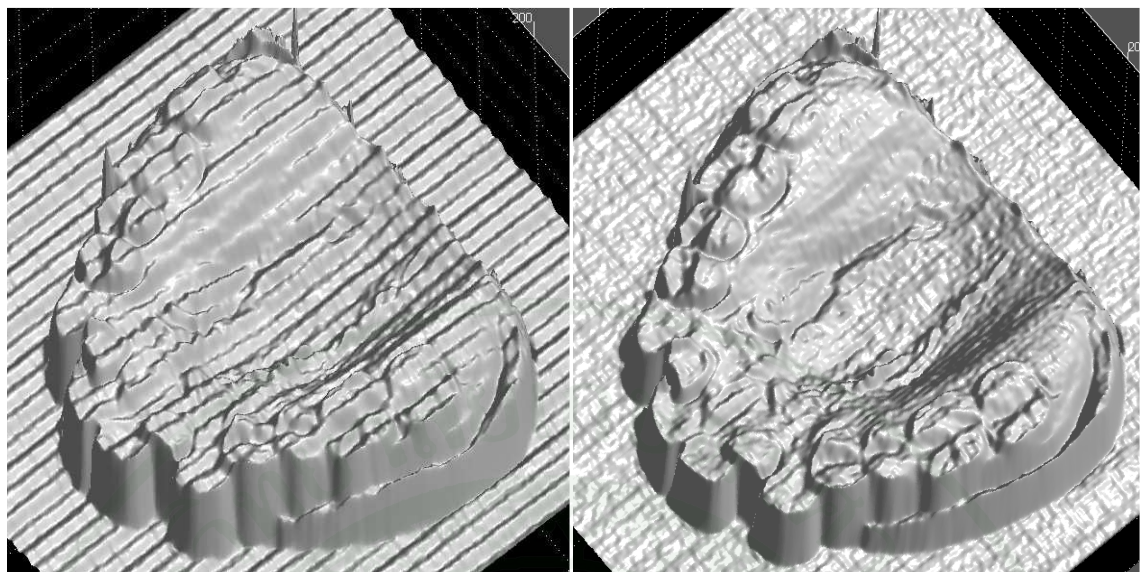
ภาพที่ 83 ภาพสามมิติของโมเดลปูนปลาสเตอร์รูปปลา



ภาพที่ 84 ภาพสามมิติของ โมเดลปูนปลาสเตอร์ส่วนโค้ง



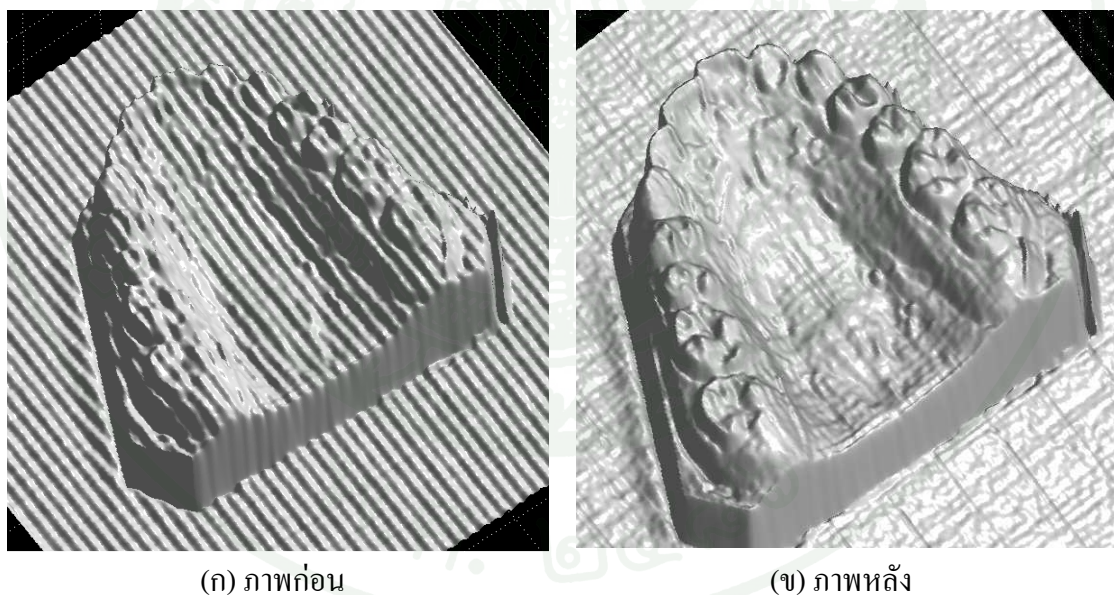
ภาพที่ 85 ไมเคิลฟันปุนปลาสเตอร์ชีนที่ 1



(ก) ภาพก่อน

(ข) ภาพหลัง

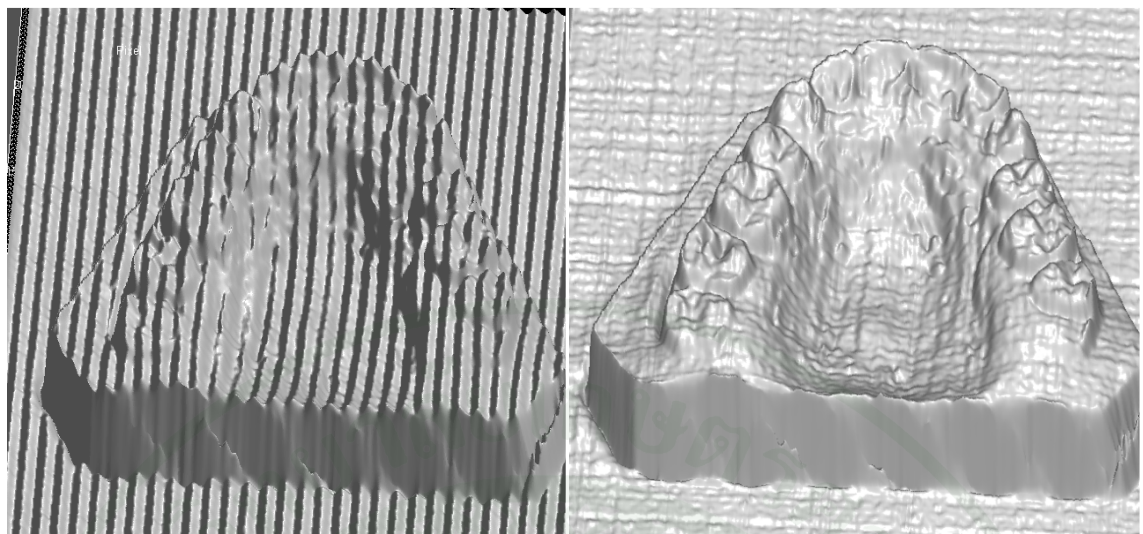
ภาพที่ 86 โมเดลฟันปูนปลาสเตอร์ ชิ้นที่ 2



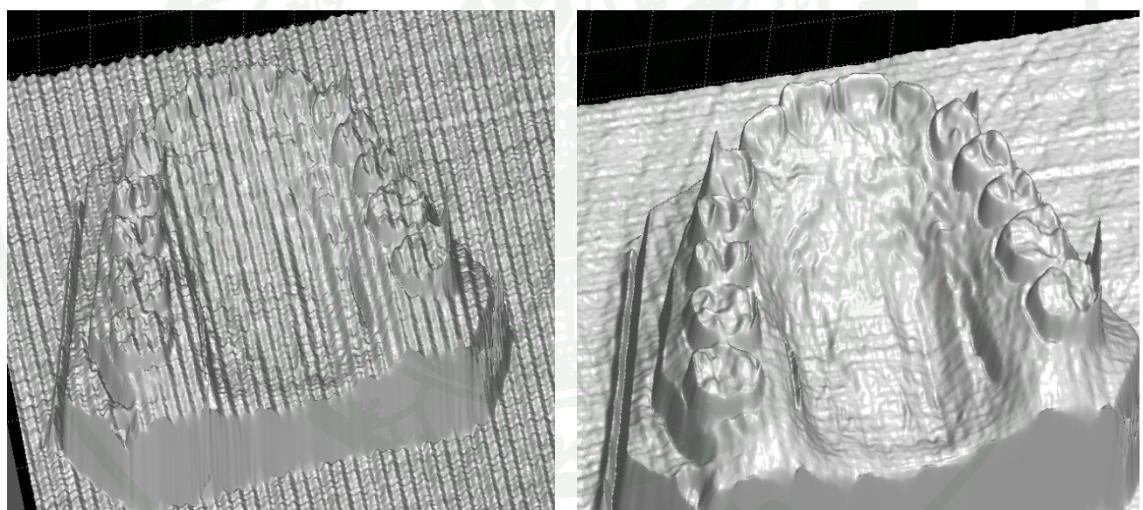
(ก) ภาพก่อน

(ข) ภาพหลัง

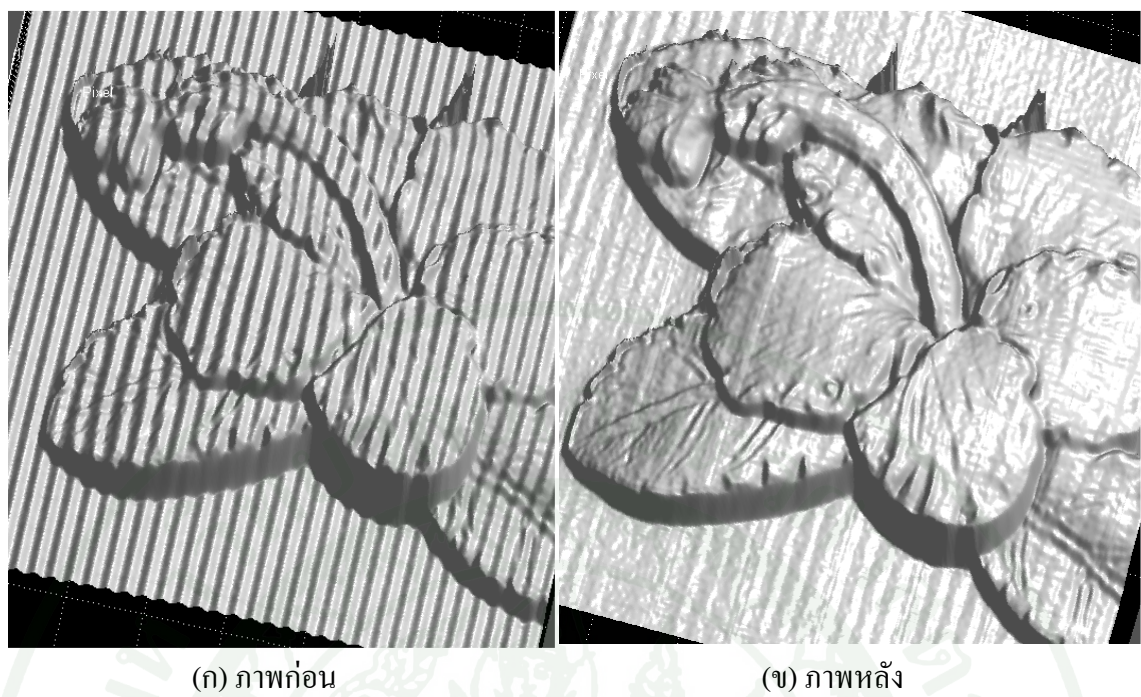
ภาพที่ 87 โมเดลฟันปูนปลาสเตอร์ ชิ้นที่ 3



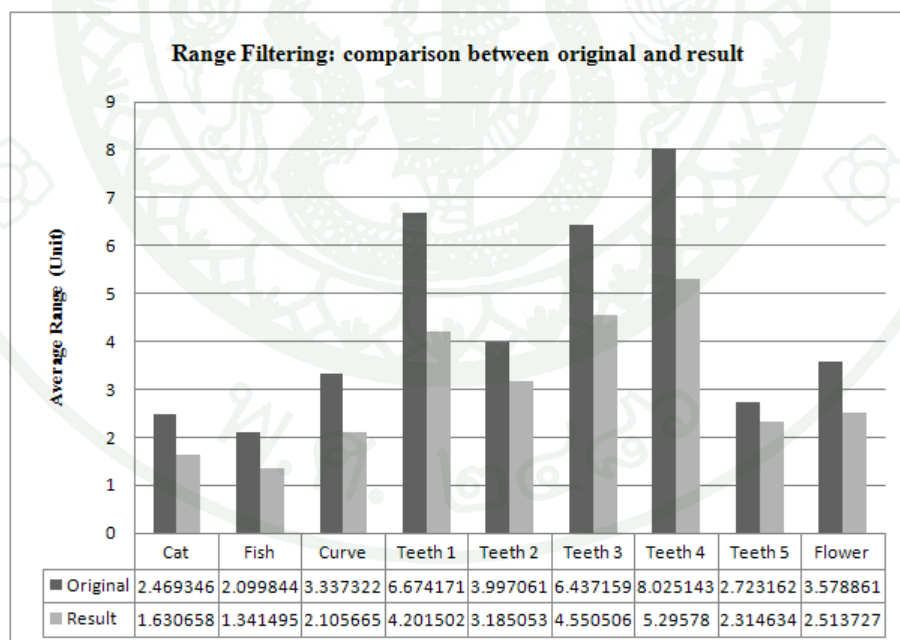
ภาพที่ 88 โนมเดลฟินปูนปลาสเตอร์ ชิ้นที่ 4



ภาพที่ 89 โนมเดลฟินปูนปลาสเตอร์ ชิ้นที่ 5



ภาพที่ 90 โฉมเดิมปูนปลาสเตอร์รูปดอกไม้



ภาพที่ 91 การเปรียบเทียบค่าช่วงระหว่างภาพสามมิติด้านฉบับและผลลัพธ์

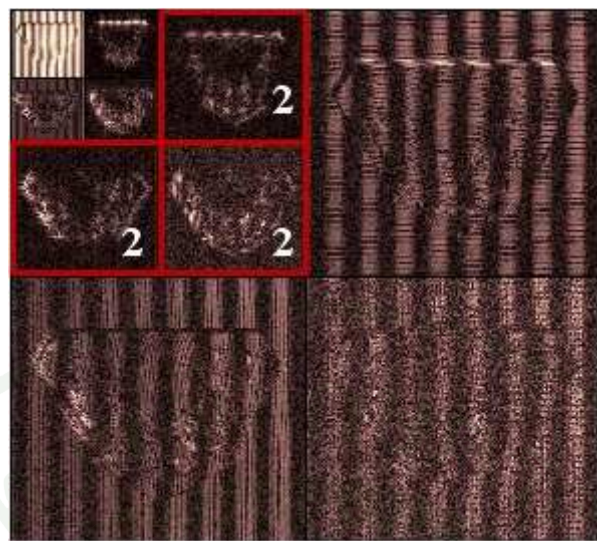
วิจารณ์

1. วิจารณ์ผลการแก้ไขปัญหาสกรีนดอร์อฟเฟค (Screen Door Effect)

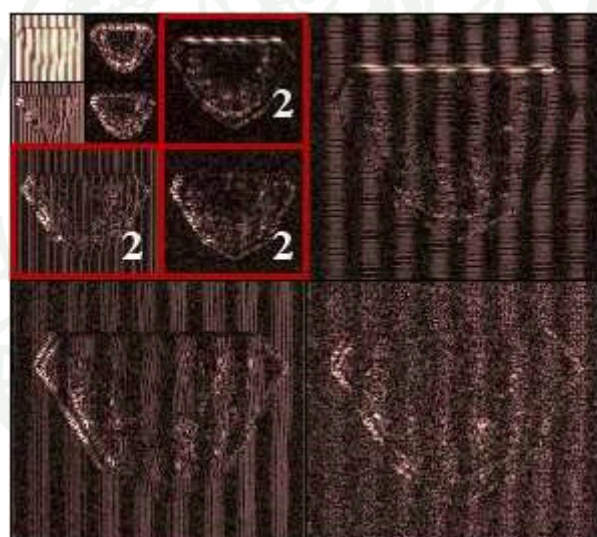
จากการทดลองเพื่อให้เกิดความชัดเจนยิ่งขึ้นว่าวิธีการนี้สามารถลบสัญญาณรบกวนดังกล่าวออกไปจากข้อมูลภาพได้จริงได้นำข้อมูลภาพที่พบปัญหาดังกล่าวมาทำการแยกองค์ประกอบเป็น 3 ระดับด้วยเวฟเล็ตฟิล์กซั่น ‘dmey’ และ ‘rbio3.3’ ซึ่งข้อมูลที่ผ่านการแยกองค์ประกอบในระดับที่ 2 ของ ‘rbio3.3’ มีค่าเบี่ยงเบนมาตรฐานที่สูงกว่า ‘dmey’ กล่าวคือ ถ้าเวฟเล็ตฟิล์กซั่นนั้นๆ สามารถแยกสัญญาณรบกวนรายคานออกไปได้ จะเห็นว่าในระดับที่ 2 ไม่มีข้อมูลของสัญญาณรบกวนรายคานหลงเหลืออยู่ หรือนั่นคือมีค่าเบี่ยงเบนมาตรฐานน้อยๆ แสดงดังภาพที่ 92 ในทางตรงข้ามถ้าเวฟเล็ตฟิล์กซั่นนั้นๆ ไม่สามารถแยกสัญญาณรบกวนออกไปได้ หมายความว่าในระดับที่ 2 มีสัญญาณหลงเหลืออยู่ แสดงดังภาพที่ 93 และได้นำข้อมูลภาพที่ผ่านการลบสัญญาณรบกวนด้วยเวฟเล็ตฟิล์กซั่น ‘dmey’ และเวฟเล็ตฟิล์กซั่นตัวอื่นๆ ตามตารางที่ 4 มาทำการแปลงด้วยฟูเรียร์ เพื่อคุณลักษณะapekturmของข้อมูลภาพนั้นๆ ว่ายังมีสัญญาณรบกวนที่เป็นรายคานหลงเหลืออยู่หรือไม่ แสดงดังภาพที่ 94 ภาพapekturmของภาพด้านบนมีลักษณะเป็นจุดสว่างสีเหลือง นั่นคือสัญญาณรบกวนรายคานที่เกิดจากปัญหาสกรีนดอร์อฟเฟคนั่นเอง พิจารณาภาพapekturmของเวฟเล็ตฟิล์กซั่น ‘dmey’ และ ‘db15’ พบว่าสามารถกรองสัญญาณรบกวนออกไปได้ดี เช่นกันและเมื่อพิจารณาค่า SNR ของข้อมูลภาพริ้วແลงแต่ละภาพก่อนการแก้ไขมีค่า SNR ของภาพแต่ละภาพเล็กกว่าที่ 10 ที่โกล์เคียงกันและหลังการแก้ไขปัญหานี้ก็ให้ค่า SNR ของข้อมูลภาพที่ผ่านแต่ละเวฟเล็ตฟิล์กซั่นโกล์เคียงกันเช่นกัน ดังนั้นการกำจัดสัญญาณรบกวนดังกล่าวสามารถเลือกใช้เวฟเล็ตฟิล์กซั่นตัวไหนก็ให้ผลไม่แตกต่างกัน

2. วิจารณ์ผลการแก้ไขปัญหาแกรมม่าไม่เป็นเชิงเส้น (Nonlinear Gamma)

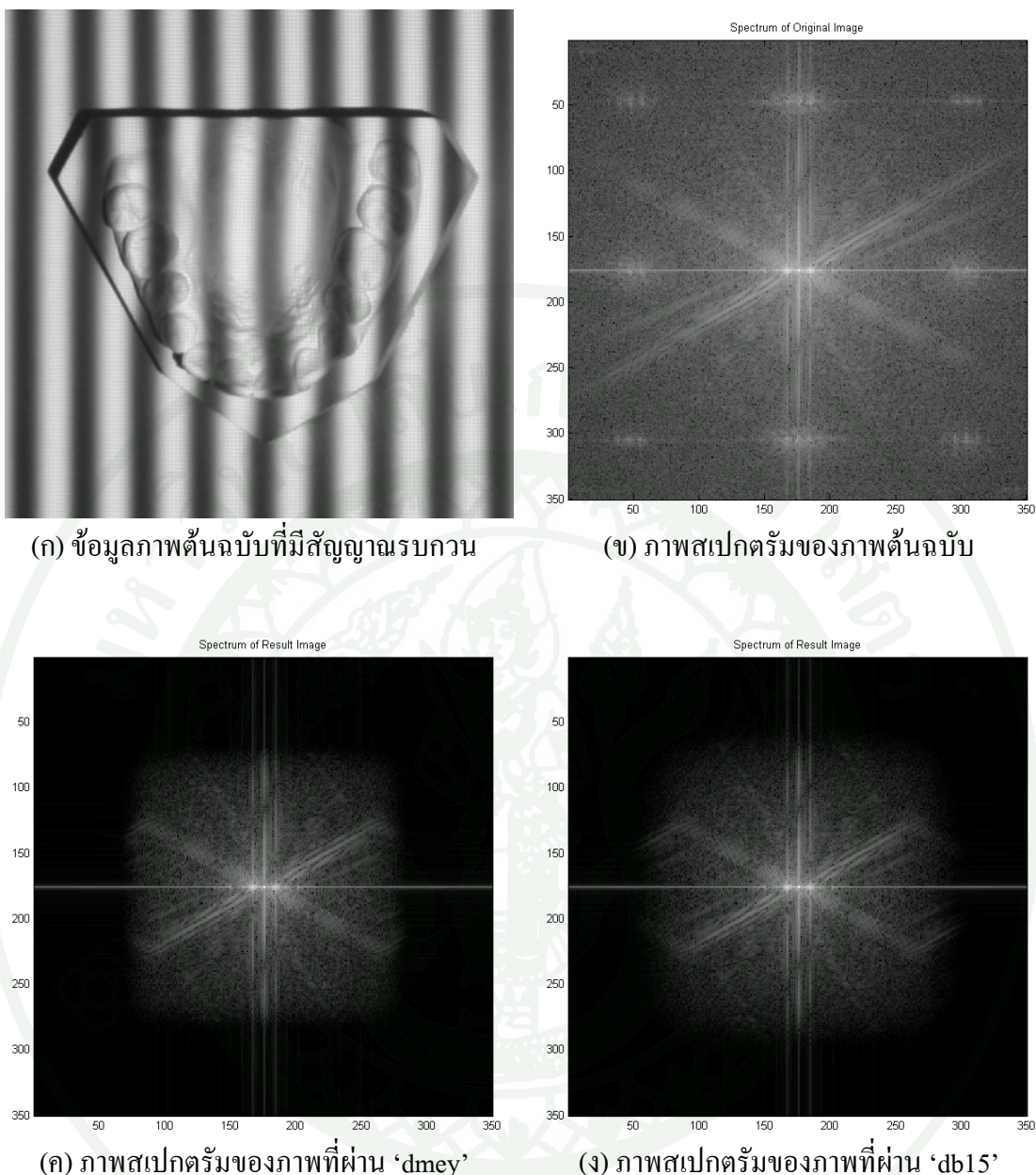
จากการทดลองพบว่าข้อมูลภาพสามมิติหลังการแก้ไขแตกต่างกับภาพสามมิติก่อนการแก้ไข โดยที่ภาพสามมิติที่ผ่านการแก้ไขแล้วมีลักษณะพื้นผิวภาพที่สมจริงและริ้วคลื่นหายไป จากข้อมูลค่าช่วงเฉลี่ยดังภาพที่ 91 จะเห็นว่าข้อมูลภาพสามมิติก่อนการแก้ไขมีค่าสูงกว่าหลังการแก้ไขอยู่ระหว่าง 0.40 – 2.70 หน่วย เป็นการยืนยันได้ว่าข้อมูลภาพสามมิติที่ผ่านการแก้ไขปัญหาดังกล่าว มีพื้นผิวภาพที่เรียบขึ้นจริง อย่างไรก็ตามพื้นผิวข้อมูลภาพสามมิติควรปรับปรุงให้มีความราบรื่นเพิ่มขึ้น โดยรวมแล้วผลการทดลองเป็นที่น่าพอใจ



ภาพที่ 92 การแยกองค์ประกอบข้อมูลภาพด้วยเวเฟเล็ตฟิ้งก์ชั่น ‘dmey’ 3 ระดับ



ภาพที่ 93 การแยกองค์ประกอบข้อมูลภาพด้วยเวเฟเล็ตฟิ้งก์ชั่น ‘rbio3.3’ 3 ระดับ



ภาพที่ 94 ภาพスペกตรัมของข้อมูลภาพที่ผ่านเวฟเล็ตพังก์ชัน 'dmey' และ 'db15'

สรุปและข้อเสนอแนะ

สรุป

งานวิจัยชิ้นนี้ได้นำเสนอวิธีการสำหรับแก้ไขปัญหาใน 2 ส่วน คือ ปัญหาสกรีนดอร์อฟเฟกต์ (Screen Door Effect) และปัญหาเกมมาไม่เป็นเชิงเส้น (Nonlinear Gamma)

ปัญหาระบบแก้ไขนำเสนอด้วยการแก้ไขโดยใช้การแปลงเวฟเล็ตสำหรับกำจัดสัญญาณรบกวนที่มีลักษณะเป็นลายตารางอันเนื่องมาจากเกิดสกรีนดอร์อฟเฟกต์ของเครื่องฉายภาพผลึกเหลว และเวฟเล็ตฟิงก์ชั่น ‘dmey’ ที่เลือกใช้สามารถกำจัดสัญญาณรบกวนดังกล่าวออกໄไปได้ดี พร้อมทั้งทำการพิสูจน์ว่าสัญญาณรบกวนดังกล่าวถูกกำจัดออกໄไปได้ดี โดยนำข้อมูลภาพที่ผ่านเวฟเล็ตฟิงก์ชั่นมาทำการแปลงฟูเรียร์และทำการพิจารณาสเปกตรัมของภาพเหล่านั้น เมื่อทำการเปรียบเทียบกระบวนการกำจัดสัญญาณรบกวนระหว่างการใช้การแปลงฟูเรียร์และการแปลงเวฟเล็ต จะเห็นว่าการกำจัดสัญญาณรบกวนด้วยการแปลงเวฟเล็ตมีประสิทธิภาพมากกว่าการกำจัดด้วยการแปลงฟูเรียร์ แสดงดังตารางที่ 5 และรายละเอียดการเปรียบเทียบแสดงอยู่ในส่วนถัดไป

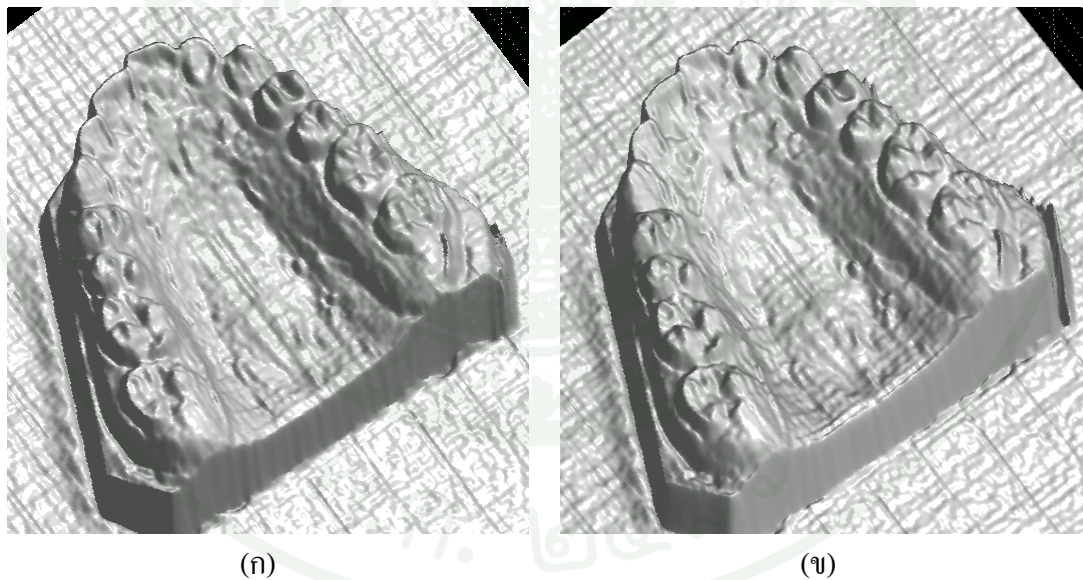
ตารางที่ 5 การเปรียบเทียบกระบวนการระหว่างการแปลงฟูเรียร์และการแปลงเวฟเล็ต

ลำดับ	การแปลงฟูเรียร์	การแปลงเวฟเล็ต
1.	ข้อมูลภาพที่เกิดสกรีนดอร์อฟเฟกต์	ข้อมูลภาพที่เกิดสกรีนดอร์อฟเฟกต์
2.	นำข้อมูลภาพด้วยการแปลงฟูเรียร์	นำข้อมูลภาพด้วยการแปลงเวฟเล็ต
	ได้ภาพสเปกตรัม	ได้ภาพรายละเอียดหลายระดับ
3.	สังเกตภาพสเปกตรัม และสร้างหน้ากาก	เลือกค่าสัมประสิทธิ์ของสัญญาณรบกวนราย
	กรองความถี่ของสัญญาณรบกวนรายคาน	คานที่อยู่ในระดับที่ 1
4.	แปลงข้อมูลกลับและได้ภาพผลลัพธ์	แปลงข้อมูลกลับและได้ภาพผลลัพธ์

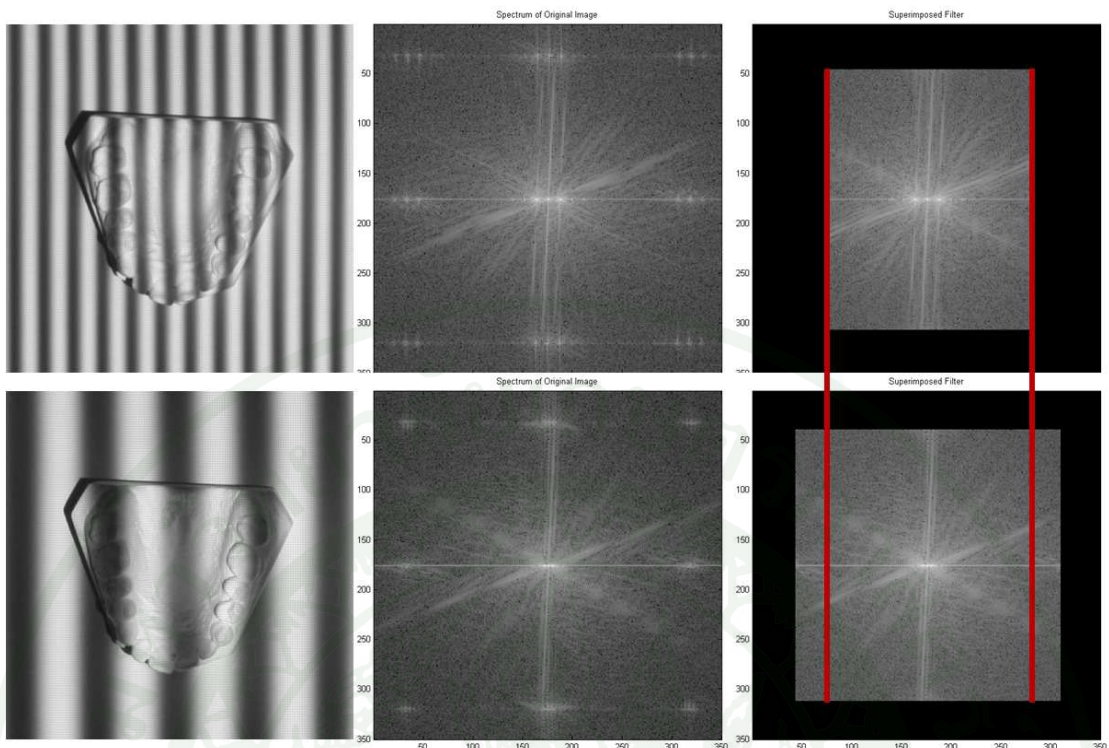
จากตารางที่ 5 การแปลงฟูเรียร์ใช้การแทนข้อมูล (Data Representation) โดยการแสดงผลภาพสเปกตรัมของภาพที่มีสัญญาณรบกวนรายคาน ซึ่งมีลักษณะเป็นรูปสี่เหลี่ยมสี่ข้าง จักนั้นทำการกรองแบบตัวกรองแบน (Band Reject Filter) นำมาทำการ convolution กับภาพสเปกตรัมและทำการแปลงฟูเรียร์กลับเพื่อสร้างเป็นภาพผลลัพธ์ ในลำดับของการกรองแบบนั้นไม่รับประทานว่าจะสามารถกรองสัญญาณรบกวนรายคานออกໄไปได้ดี

การแปลงเวฟเล็ตใช้การแทนข้อมูล (Data Representation) โดยการแสดงผลภาพด้วยความละเอียดหลายระดับ (Multiresolution) และสังเกตค่าสัมประสิทธิ์ในระดับต่างๆ ซึ่งระดับที่มีสัญญาณรบกวนรายคบอยู่คือระดับที่ 1 ทำให้สามารถลบค่าสัมประสิทธิ์ของสัญญาณรบกวนส่วนนี้ออกไปได้�ายและรับประกันว่าสามารถกรองสัญญาณรบกวนรายคบของออกไปได้ดี เพราะสังเกตจากค่าสัมประสิทธิ์ในระดับที่ 2 จะเห็นว่าไม่มีสัญญาณรบกวนดังกล่าวหลงเหลืออยู่และสุดท้ายทำการแปลงเวฟเล็ตกลับเพื่อสร้างเป็นภาพผลลัพธ์ เปรียบเทียบภาพสามมิติระหว่างภาพที่แก้ไขด้วยการแปลงฟูเรียร์และการแปลงเวฟเล็ต จะเห็นว่าได้ผลลัพธ์ที่เหมือนกัน แสดงดังภาพที่ 95

เมื่อความกว้างของริ้วแสงเปลี่ยนไป การแปลงฟูเรียร์จะต้องออกแบบหน้ากากตัวกรองใหม่ เสมอ เพราะขนาดสี่เหลี่ยมที่ปรากฏในภาพสเปกตรัมจะมีลักษณะเฉพาะตัวเปลี่ยนไปตามความกว้างของริ้วแสง แสดงดังภาพที่ 96 แต่การแปลงเวฟเล็ตไม่ว่าจะเปลี่ยนความกว้างริ้วแสงขนาดใดก็ตาม ไม่ต้องออกแบบหน้ากากตัวกรองใหม่หรือเลือกใช้ฟังก์ชันเวฟเล็ตตัวใหม่ ซึ่งการแปลงเวฟเล็ต มีลักษณะทั่วไป (Generalization) มากกว่าการแปลงฟูเรียร์



ภาพที่ 95 การเปรียบเทียบภาพสามมิติที่แก้ไขโดย (ก) การแปลงฟูเรียร์ (ข) การแปลงเวฟเล็ต



ภาพที่ 96 หน้ากากด้วยการของความถี่เปลี่ยนไปตามความกว้างของริ้วแสง

ดังนั้นที่งานวิจัยชิ้นนี้ได้นำเสนอวิธีการปรับเลนส์ให้อ่ายในจุดโฟกัส (Focus) ซึ่งปรับได้ง่ายกว่าการทำการทำเลื่อนออกจากจุดโฟกัส (Defocus) โดยอาศัยการสังเกตเห็นลายตาข่ายของสกรีนดอร์อฟเฟค (Screen Door Effect) ที่ชัดเจน วิธีการนี้ทำให้ภาพริ้วแสงมีความคมชัดไม่เบลอ แต่ข้อมูลภาพริ้วแสงที่บันทึกมาได้มีลายตาข่ายแทรกซ้อนอยู่ ซึ่งวิธีการแปลงเวฟเล็ตที่ได้นำเสนอสำหรับปรับปรุงภาพริ้วแสงให้ผลลัพธ์ภาพที่ดีขึ้นจริง และเมื่อทราบถึงเวฟเล็ตฟังก์ชันที่เหมาะสมสำหรับแก้ไขปัญหาสกรีนดอร์อฟเฟคแล้วสามารถนำไปออกแบบโมเดลทางคณิตศาสตร์เพื่อให้มีความยืดหยุ่นและประยุกต์ใช้งานได้อย่างเหมาะสมต่อไป

ปัญหาที่สองได้นำเสนอวิธีการแก้ไขปัญหาแกรมมาไม่เป็นเชิงเส้น โดยใช้การเปรียบเทียบระหว่างค่าเฟสจริง (Real Phase) กับค่าเฟสในอุดมคติ (Ideal Phase) ซึ่งค่าเฟสจริงได้มาจากการเลือกพื้นที่สนใจบนข้อมูลภาพที่ผ่านการแก้ค่าเฟสที่ถูกต้องแล้ว และนำค่าเหล่านั้นมาทำการคำนวณหาความกว้างของริ้วแสง และทำการเตรียมตารางคืนหา (Look-up Table) ของค่าเฟสในอุดมคติโดยคำนวณจากสมการคณิตศาสตร์ นำค่าความกว้างของค่าเฟสจริงมาคืนหาในตารางคืนหา ดังกล่าวจะทำให้ได้ค่าเฟสในอุดมคติอย่างรวดเร็ว จากนั้นนำมาหาค่าความต่างและสร้างตารางคืนหาสำหรับใช้ชุดเซยค่าเฟสอันเนื่องมาจากปัญหาแกรมมาไม่เป็นเชิงเส้น นำตารางที่ได้นี้ไปใช้

ชุดเชยกับค่าเฟสจิงจะได้ภาพสามมิติที่ไม่มีลูกคลื่นรบกวนและได้พื้นผิวภาพจริงกลับคืนมา การทดลองในงานวิจัยนี้ได้แสดงภาพสามมิติก่อนและหลังการแก้ไขด้วยวิธีดังกล่าว ซึ่งผลลัพธ์ที่ได้สามารถแก้ไขปัญหาดังกล่าวได้ดี ทำให้ได้ภาพสามมิติที่สมจริงยิ่งขึ้น และได้ทำการพิสูจน์ความรวมเรียบของพื้นผิวด้วยตัวกรองช่วง ค่าที่ได้สอดคล้องกับผลภาพที่มองเห็น

ดังนั้นที่งานวิจัยขึ้นนี้ได้นำเสนอขั้นตอนวิธีโดยอาศัยเทคนิคการเก็บข้อมูลภาพ กล่าวคือ ในขั้นตอนการเก็บข้อมูลภาพให้เก็บข้อมูลที่มีบริเวณของวัตถุที่สนใจและบริเวณพื้นหลังที่เป็นระบบ โดยมองว่าข้อมูลภาพเป็นภาพที่สมบูรณ์คือภาพไม่มีการบิดเบือน จากนั้นเลือกข้อมูลภาพของบริเวณพื้นหลังที่เป็นระบบในแนวแกน y ของภาพมาทำการคำนวณตามขั้นตอนวิธีที่ได้ออกแบบ โดยใช้การเปรียบเทียบระหว่างค่าเฟสจิงที่ได้จากการถ่ายภาพในห้องทดลองกับค่าเฟสในอุปกรณ์ที่ได้จากการคำนวณตามทฤษฎี เพื่อให้ได้มาซึ่งชุดข้อมูลของค่าความต่างของค่าเฟสของข้อมูลชุดนี้ๆ จากนั้นนำไปใช้ในการชดเชยกับค่าเฟสจิงของข้อมูลชุดดังกล่าว ซึ่งวิธีการนี้ง่าย และสะดวกต่อการประยุกต์ใช้งานและยังไม่ต้องทำการปรับแต่งค่าแกนมาของเครื่องฉายภาพหลัก เหลา (LCD Projector) และยังไม่เสียกับเครื่องฉายภาพดิจิตอลและกล้องดิจิตอล อีกทั้งวิธีการนี้ทำการคำนวณเป็นแบบออนไลน์ (Online Processing) เวลาที่ใช้ในการคำนวณของแต่ละขั้นตอน แสดงดังตารางที่ 6 ซึ่งใช้ข้อมูลภาพขนาด 660 x 586 พิกเซล เป็นข้อมูลภาพที่มีขนาดใหญ่ที่สุดที่ใช้ในการทดลอง เวลารวมที่ใช้ไปทั้งหมด คือ 49.999 วินาทีหรือประมาณ 50 วินาที

ตารางที่ 6 สรุปเวลาที่ใช้ในการคำนวณของแต่ละขั้นตอน

ลำดับ	ขั้นตอนวิธี	เวลาที่ใช้ (วินาที)
1.	การแก้ปัญหาสกรีนคอร์สไฟฟ้า	2.499
2.	วิเคราะห์ภาพรีวิวแสง	0.047
3.	การตรวจแก้ค่าเฟส	0.313
4.	การแก้ปัญหาแกนไม่เป็นเชิงเส้น	1.297
5.	การคลี่เฟส	44.609
6.	การลบสัญญาณพาหะ	1.234

ข้อเสนอแนะ

งานวิจัยชิ้นนี้ได้แก้ไขปัญหา 2 ส่วน ซึ่งมีความสัมพันธ์กันโดยข้อมูลภาพมีความไม่เหมาะสมสม เพราะถูกรบกวนด้วยสัญญาณรบกวนรายคาน จึงต้องทำการแก้ไขปัญหาดังกล่าวก่อนเข้าสู่กระบวนการผลิตไป จากนั้นจะเห็นว่าข้อมูลภาพสามมิติถูกรบกวนด้วยริวคลีนอันเนื่องมาจากการบันทึกภาพในสภาพแวดล้อมที่ไม่เป็นเชิงเส้น

ส่วนแรกการแก้ไขปัญหาสกринคอร์อฟเฟค ทำให้ทราบถึงเวฟเล็ตฟิล์ฟชั่นที่เหมาะสมดังที่ได้กล่าวมาแล้ว จากผลการทดลองนี้สามารถนำไปใช้ในการออกแบบฟิลเตอร์ (Filter) สำหรับแก้ไขปัญหาดังกล่าวได้ คือ เมื่อได้ทราบถึงเวฟเล็ตฟิล์ฟชั่นที่มีความเหมาะสมแล้ว ก็จะสามารถศึกษาถึงลักษณะเฉพาะตัวหรือธรรมชาติของสัญญาณรบกวนนั้นๆ ได้ เพื่อนำไปทำการออกแบบด้วยโมเดลทางคณิตศาสตร์ต่อไป

ส่วนที่สองการแก้ไขปัญหาแกมมาไม่เป็นเชิงเส้น เป็นขั้นตอนถัดมาจากการปรับแก้ข้อมูลภาพ พนับว่าพื้นผิวข้อมูลภาพสามมิติยังไม่รับเรียนอยู่พอดีกับความต้องการ ควรจะปรับปรุงแก้ไขต่อไปโดยทำการประมาณค่าพื้นผิวด้วยหลักการ Interpolation ในแบบต่างๆ เพื่อให้พื้นผิวมีความราบรื่นมากยิ่งขึ้น หรืออีกทางหนึ่งนี้เนื่องจากการแก้ไขปัญหาสกринคอร์อฟเฟคก่อนหน้านี้ ซึ่งเป็นการทำแบบ Hard Thresholding ก็เปลี่ยนมาเป็นการทำแบบ Soft Thresholding แทน และนำข้อมูลภาพมาทำการ Interpolation ต่อไป อาจจะทำให้ข้อมูลภาพสามมิติมีความราบรื่นและเมื่อสังเกตต่อไปพบว่าพื้นผิวภาพสามมิติยังมีลักษณะเป็นริวคลีนตอกก้างอยู่เล็กน้อย อาจเกิดจากการเลือกข้อมูล (Sampling) ในส่วนของการเลือกเส้นที่สนใจยังไม่มากพอ ซึ่งในการเลือกข้อมูลควรจะเลือกเป็น 2 เท่าของริวแสงตามทฤษฎีของ เช่นนอน (Shannon's Theory) ตัวอย่างเช่น ข้อมูลภาพริวแสงที่บันทึกมา มีริวแสง平均ถูกอยู่ 5 ริวแสง ฉะนั้นจะต้องทำการเลือกข้อมูลมาจำนวนมากกว่าหรือเท่ากับ 10 ข้อมูลด้วยหลักการนี้จะทำให้ริวคลีนที่ตอกก้างอยู่นั่นจะลดลงเพราasmีการเลือกข้อมูลที่เพียงพอสำหรับใช้สร้างโครงสร้างตารางคันหาที่ใช้ชุดเซย์ค่าเฟส

สุดท้ายในการเลือกใช้ภาพริวแสงที่มีความกว้างของริวแสงแตกต่างกันนั้นจะทำให้ได้รายละเอียดของข้อมูลภาพสามมิติที่ต่างกัน ยิ่งความกว้างของริวแสงน้อยๆ จะได้รายละเอียดเล็กๆ น้อยๆ ที่ดี และยิ่งความกว้างของริวแสงมากๆ จะได้รายละเอียดแบบหยาบๆ เมื่อนำข้อมูลภาพสามมิติที่เกิดจากความกว้างริวแสงต่างๆ มาทำการขีดรูปเป็นภาพสามมิติ และนำข้อมูลเหล่านั้นมารวมกันหรือเรียกว่าการทำ Multiresolution โดยอาศัยหลักการพื้นฐานของ Image Fusion อาจจะทำ

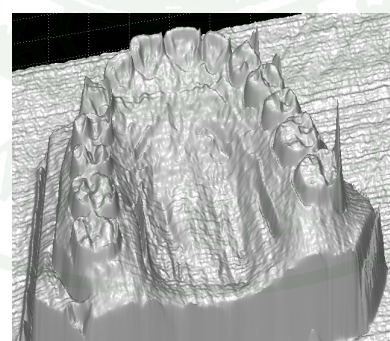
ให้ได้ภาพสามมิติที่มีรายละเอียดสูงขึ้น การทดลองเบื้องต้นได้นำค่าเฟสของภาพริ้วแสงขนาดต่างๆ มาทำการหาค่าเฉลี่ย และแสดงเป็นภาพสามมิติ ดังภาพที่ 97



(ก) ภาพริ้วแสงที่มีขนาดต่างกัน



(ข) ภาพค่าเฟสของภาพริ้วแสงที่มีขนาดต่างกัน

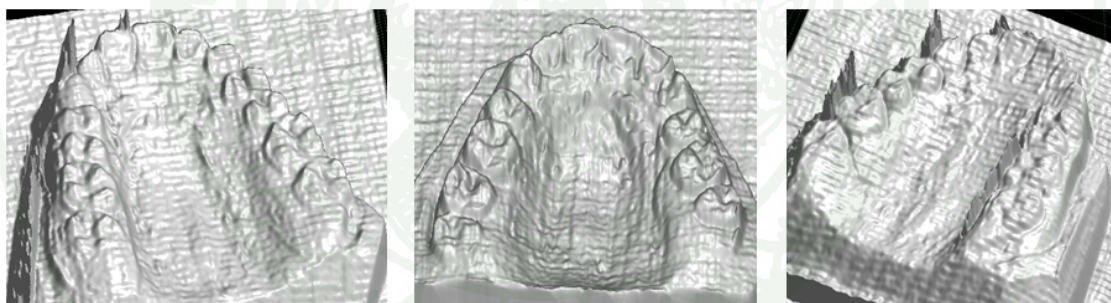


(ค) ภาพสามมิติผ่านการทำ Image Fusion

ภาพที่ 97 ภาพสามมิติที่ได้จากค่าเฟสหลายระดับ (Multiresolution)

สำหรับงานในอนาคต การพัฒนาโปรแกรมประยุกต์ของขั้นตอนวิธีที่นำเสนอในงานวิจัยนี้ สามารถพัฒนาต่ออยอด ได้ด้วยหลายภาษา ออาทิเช่น ภาษาซี ซึ่งมีไลบรารีที่เป็นโอเพ่นซอร์ส (Open Source) ให้เลือกใช้มากมาย เช่น OpenCV เป็นไลบรารีสำหรับคอมพิวเตอร์วิทัศน์ (Computer Vision) ในการพัฒนาต่ออยอดจะใช้ฟังก์ชันของไลบรารีนี้สำหรับรับข้อมูลภาพนำเข้าและบันทึก ข้อมูลภาพในรูปแบบ (Format) ต่างๆ ได้ เป็นไลบรารีที่มีความนิยมและมีมาตรฐานที่ใช้กันทั่วโลก GNU Scientific Library (GSL) เป็นไลบรารีสำหรับการคำนวณทางวิทยาศาสตร์ เลือกใช้ฟังก์ชัน การคำนวณ Discrete Wavelet Transform เพื่อการปรับปรุงภาพที่เกิดปัญหาสกรีนดอร์อฟเฟคและ Spline Technique สำหรับเติมเต็มข้อมูลในช่วงค่าหนึ่งๆ ตามที่ต้องการ ในการสร้างภาพสามมิติ สามารถเลือกใช้ Gnuplot ซึ่งเป็นไลบรารีสำหรับการวาดกราฟทั้งในสองมิติและสามมิติ

ในส่วนของการสร้างภาพสามมิติ งานวิจัยชิ้นนี้ได้ทำการเก็บข้อมูลภาพเพียงหนึ่งมุมมอง ซึ่งงานในอนาคตที่จะทำต่อไป คือ การถ่ายภาพหลายมุมมองและนำมาทำการรวมกันในสามมิติ เพื่อให้ได้วัตถุสามมิติที่เป็นรูปทรงสมบูรณ์ขึ้น การทดลองเบื้องต้นของการถ่ายภาพหลายมุมมอง แสดงดังภาพที่ 98



ภาพที่ 98 ภาพสามมิติในหลายมุมมอง

ส่วนงานในอนาคตของการแก้ไขปัญหาแก่มามาไม่เป็นเชิงเส้น คือ จากการสเปคตั้งของ ข้อมูลภาพที่ถูกกระบวนการด้วยสัญญาณรายคานหรือสกรีนดอร์อฟเฟค พบว่าตรงกลางภาพมีจุดอยู่สอง จุด ซึ่งโดยปกติจะเป็นจุดสีขาวเพียงจุดเดียวที่เป็นค่าความถี่ต่ำ จึงเป็นที่น่าสังเกตว่าจุดเหล่านั้นจะมี ส่วนปลองปนของความถี่ที่เป็นของค่าแกมมาที่ไม่เป็นเชิงเส้นอยู่หรือไม่ และสามารถแก้ไขได้ด้วย วิธีการแปลงเวฟเลดหรือไม่ จึงเป็นเรื่องที่น่าสนใจและการศึกษาต่อไป

เอกสารและสิ่งอ้างอิง

ศศิน เทียนดี, น้ำฝน มั่งไคร้ และ ประวีรรัชย์ อินสุราษฎร์. พ.ศ. 2549. การศึกษาวิธีการตรวจสอบรูปทรงของวัตถุสามมิติด้วยเส้นของแสง. ปริญญาโทนิพนธ์, มหาวิทยาลัยกรุงเทพ.

ศศิน เทียนดี, จร. เดิสสุคิชัย, ศรัณย์ สัมฤทธิ์เดชชาร และ จันทร์จิรา สินธนา โยธิน. 2553ก. หลักวิธีการปรับปรุงและวิเคราะห์ภาพสำหรับการฉายแสงคงผล, น. 34-39. ใน **The 7th International Joint Conference on Computer Science and Software Engineering (JCSSE 2010)**.

ศศิน เทียนดี, จร. เดิสสุคิชัย, ศรัณย์ สัมฤทธิ์เดชชาร และ จันทร์จิรา สินธนา โยธิน. 2553ข. หลักวิธีการลดผลกระทบสกรีนดอร์สำหรับเทคนิคการฉายริ้วแสงดิจิตอล, น. 284 - 288. ใน **NECTEC Annual Conference & Exhibition 2010 (NECTEC-ACE 2010)**.

Baker, M. J., Jiangtao Xi, Joe Chicharo and Enbang Li. 2005. A contrast between DLP and LCD digital projection technology for triangulation based phase measuring optical profilometers. **Proceedings of the SPIE** 2005 (Volume 6000): 151-162.

Baker, M. J., J. Xi and J. F. Chicharo. 2008. Elimination of gamma Non-linear Luminance Effects for Digital Video Projection Phase Measuring Profilometers, pp. 496-501. In **4th IEEE International Symposium on Electronic Design, Test and Applications**.

Bradski, Gary and Adrian Kaehler. 2008. **Learning OpenCV**. First ed. O'Reilly, United States of America.

Gokturk, S. Burak, Yalcin Hakan and Bamji Cyrus. 2004. A Time-Of-Flight Depth Sensor - System Description, Issues and Solutions, pp. 35-43. In **Proceedings of the 2004 Conference on Computer Vision and Pattern Recognition Workshop (CVPRW'04) Volume 3**.

Gonzalez, Rafael C. and Richard E. Woods. 2002. **Digital Image Processing.** 2 ed. Prentice Hall, Upper Saddle River, New Jersey .

Guo, Hongwei, Haitao He and Mingyi Chen. 2004. Gamma Correction for Digital Fringe Projection. **Applied Optics** 2004 (Vol. 43, Issue 14): 2906-2914.

Hsieh, Yi-Chih. 2001. Decoding structured light patterns for three-dimensional imaging systems. **Pattern Recognition** (Volume 34, Issue 2): 343-349.

Kreiser, Kevin and Jingyi Yu. 2008. Real-time Projector Depixelation for Videos, *In Proceedings of Computer Graphics International (CGI 2008)* .

Mattoccia Stefano. 2010. **Stereo Vision: Algorithms and Applications.** Available Source: <http://www.vision.deis.unibo.it/smatt/Seminars/StereoVision.pdf>. May 17, 2010.

Miao, H., C. Quan, C.J. Tay, Y. Fu and X.P. Wu. 2005. Optical edge projection for surface contouring. **Optics Communications** (Volume 256, Issues 1-3): 16-23.

Quan, C., W. Chen and C. J. Tay. 2010. Phase-retrieval techniques in fringe-projection profilometry. **Optics and Lasers in Engineering** 2010 (48): 235-243.

Quan, C., X. Y. He, C. F. Wang, C. J. Tay and H. M. Shang. 2001. Shape measurement of small objects using LCD fringe projection with phase shifting. **Optics Communications** (Volume 189, Issues 1-3): 21-29.

Schreiber, Horst and John H. Bruning. 2007. Phase Shifting Interferometry, p. 547 – 665. *In Daniel Malacara, ed. **Optical Shop Testing.*** Wiley, New York.

Skocaj, D. and Leonardis, A. 2000. Range Image Acquisition of Objects with Non-Uniform Albedo Using Structured Light Range Sensor, pp. 778 - 781. *In Pattern Recognition, 2000. Proceedings. 15th International Conference on .*

The MathWorks, Inc. **Analyzing the Texture of an Image.** Available Source:

<http://www.mathworks.com/help/toolbox/images/f11-27972.html>. 2010.

Tiendee, Sasin and Charay Lerdsudwichai. 2010a. Depixelation Artifact for Digital Fringe Projection, pp. 458-461. *In The 25th International Technical Conference on Circuits/Systems, Computers and Communications (ITC-CSCC 2010) .*

Tiendee, Sasin, Charay Lerdsudwichai, Sarun Sumriddetchkajorn and Chanjira Sinthanayothin. 2010b. Algorithm for Decreasing Nonlinear Gamma Effect with Digital Fringe Projection Images, pp. 1-4. *In IEEE International Conference on ICT and Knowledge Engineering 2010 (IEEE ICT&KE2010) .*

Valkenburg, R. J. and A. M. McIvor. 1998. Accurate 3D measurement using a structured light system. **Image and Vision Computing** 20 Feb 1998 (Volume 16, Issue 2): 99-110.

Vass, Gergely and Tamás Perlaki. 2003. Applying and removing lens distortion in post production, *In Colorfront Ltd., Budapest .*

Wu, H.B., Y. Chen, C.R. Guan and X.Y. Yu. 2006. 3D measurement technology by structured light using stripe-edge-based gray code, p. 537–541. *In Journal of Physics: Conference Series 48 .*

Yen, Hsu-Nan, Du-Ming Tsai and Jun-Yi Yang. 2006. Full-field 3-D measurement of solder pastes using LCD-based phase shifting techniques. **Electronics Packaging Manufacturing, IEEE Transactions on** (vol.29, no.1): 50-57.

Zhang, Li and Shree Nayar. 2006. Projection defocus analysis for scene capture and image display. **ACM Transactions on Graphics (TOG)** July 2006 (Volume 25, Issue 3): 907-915.

Zhang, Song and Shing-Tung Yau. 2007. Generic nonsinusoidal phase error correction for three-dimensional shape measurement using a digital video projector. **Applied Optics** 2007 (Vol. 46, No. 1): 36-43.

Zhang, Song and Huang, Peisen S. 2005. Phase error compensation for a 3-D shape measurement system based on the phase-shifting method, pp. 133-142. *In Proceedings of SPIE, the International Society for Optical Engineering*.

ประวัติการศึกษาและการทำงาน

ชื่อ – นามสกุล	นายศศิน เที่ยนดี
วัน เดือน ปี ที่เกิด	วันที่ 8 เมษายน 2528
สถานที่เกิด	กรุงเทพมหานคร ประเทศไทย
ประวัติการศึกษา	วิศวกรรมศาสตรบัณฑิต สาขาวิศวกรรมคอมพิวเตอร์ เกียรตินิยมอันดับหนึ่ง มหาวิทยาลัยกรุงเทพ ประเทศไทย
ตำแหน่งหน้าที่การงานปัจจุบัน	-
สถานที่ทำงานปัจจุบัน	-
ผลงานเด่นและรางวัลทางวิชาการ	<ol style="list-style-type: none">รางวัลผลงานโดดเด่นด้าน Health Care ประเภท บุคคลทั่วไป รางวัลเจ้าฟ้าไオที รัตนราชสุดา สารสนเทศครั้งที่ 4 ประจำปี 2552 หัวข้อเรื่อง "AlignBracket3D โปรแกรมคอมพิวเตอร์ ช่วยวางแผนการติดเหล็กจัดฟันและจำลองผลการ จัดเรียงฟันใน 3 มิติ"รางวัลผลงานประดิษฐ์คิดค้น ระดับชมเชย ด้าน การแพทย์และสาธารณสุข ประจำปี 2552 สำนักงาน คณะกรรมการวิจัยแห่งชาติ (วช.) ประเทศไทย หัวข้อเรื่อง "AlignBracket3D โปรแกรมคอมพิวเตอร์ ช่วยวางแผนการติดเหล็กจัดฟันและจำลองผลการ จัดเรียงฟันใน 3 มิติ"
ทุนการศึกษาที่ได้รับ	ทุนบัณฑิตศึกษา ระดับปริญญาโท จากสถาบันบัณฑิต วิทยาศาสตร์และเทคโนโลยีไทย (TGIST) สำนักงาน พัฒนาวิทยาศาสตร์และเทคโนโลยีแห่งชาติ ประเทศไทย